

JAERI-M

7 5 6 7

NEANDC(J)-54/AL  
INDC(JAP)-40/G

Evaluation of Gamma-Ray Intenstities

by Y. Yoshizawa et al.

ガンマ線強度の評価  
(委託調査)

1978年3月

吉沢康和・井上 光・星 正治  
静間 清・岩田洋世

日本原子力研究所  
Japan Atomic Energy Research Institute

この報告書は、日本原子力研究所が JAERI-M レポートとして、不定期に刊行している研究報告書です。入手、複製などのお問合せは、日本原子力研究所技術情報部（茨城県那珂郡東海村）あて、お申しこしください。

JAERI-M reports, issued irregularly, describe the results of research works carried out in JAERI. Inquiries about the availability of reports and their reproduction should be addressed to Division of Technical Information, Japan Atomic Energy Research Institute, Tokai-mura, Naka-gun, Ibaraki-ken, Japan.

ガンマ線強度の評価

日本原子力研究所東海研究所シグマ研究委員会

吉沢康和\*

広島大学理学部

井上 光・星 正治・静間 清・岩田洋世

( 1 9 7 8 年 1 月 3 1 日受理 )

本報告は、ガンマ線の崩壊あたりの強度と相対強度に関する文献調査と評価を行った結果をまとめたものである。評価した核種は、 $^{22}\text{Na}$ ,  $^{24}\text{Na}$ ,  $^{46}\text{Sc}$ ,  $^{48}\text{Sc}$ ,  $^{48}\text{V}$ ,  $^{54}\text{Mn}$ ,  $^{57}\text{Co}$ ,  $^{60}\text{Co}$ ,  $^{86}\text{Sr}$ ,  $^{88}\text{Y}$ ,  $^{95}\text{Nb}$ ,  $^{95}\text{Zr}$ ,  $^{108m}\text{Ag}$ ,  $^{134}\text{Cs}$ ,  $^{137}\text{Cs}$ ,  $^{144}\text{Ce}$ ,  $^{144}\text{Pr}$ ,  $^{203}\text{Hg}$ ,  $^{207}\text{Bi}$  である。このうち 8 つの核種については半減期の評価値も求めた。

---

この報告書は、昭和 50 年度及び 51 年度に日本原子力研究所より広島大学に委託した調査の報告書を改めて一つの報告書にまとめたものである。

\* 広島大学理学部

Evaluation of Gamma-Ray Intensities

Yasukazu YOSHIZAWA\*

Japanese Nuclear Data Committee, Tokai, JAERI  
and

Hikaru INOUE, Masaharu HOSHI, Kiyoshi SHIZUMA and Yosei IWATA  
Faculty of Science, Hiroshima University, Hiroshima

(Received January 31, 1978)

Results of literature survey and evaluation of relative intensities and intensities per decay of gamma rays are presented. Evaluations were made for  $^{22}\text{Na}$ ,  $^{24}\text{Na}$ ,  $^{46}\text{Sc}$ ,  $^{48}\text{Sc}$ ,  $^{48}\text{V}$ ,  $^{54}\text{Mn}$ ,  $^{57}\text{Co}$ ,  $^{60}\text{Co}$ ,  $^{85}\text{Sr}$ ,  $^{88}\text{Y}$ ,  $^{95}\text{Nb}$ ,  $^{95}\text{Zr}$ ,  $^{108\text{m}}\text{Ag}$ ,  $^{134}\text{Cs}$ ,  $^{137}\text{Cs}$ ,  $^{144}\text{Ce}$ ,  $^{144}\text{Pr}$ ,  $^{203}\text{Hg}$ , and  $^{207}\text{Bi}$ . For eight of the nuclides, the half-lives were also evaluated.

Keywords: Decay, Gamma Ray, Gamma-Ray Intensity, Intensity Evaluation, Half-Lives

---

This report combines the two reports of Hiroshima University on the works entrusted by JAERI in fiscal 1975 and 1976.

\* Faculty of Science, Hiroshima University, Hiroshima

**Summary:** Relative intensities and intensities per decays of gamma rays for 21 nuclides were evaluated. For some of them intensities per decays are nearly 100 % and the source strengths can be accurately determined by the  $\beta$ - $\gamma$  or X- $\gamma$  coincidence method. These gamma-ray intensities are almost independent of the gamma-ray intensity measurement. Therefore, these gamma rays are the best basic standards and are listed in the following table of the primary standards.

Intensities of other gamma rays which were in requests of the nuclear fuel investigation are evaluated by using observed intensities.

Half-lives of eight nuclides were also evaluated in Appendix.

Table 1 Gamma-ray intensities of primary standards

Nuclide	Energy (keV)	Relative intensity (%)	Intensity per decay (%)
<sup>22</sup> Na	1275		99.94 $\pm$ 0.02
<sup>24</sup> Na	1368.6	100.0000	99.9922 $\pm$ 0.0010
	2754	99.8836 $\pm$ 0.0035	99.8758 $\pm$ 0.0034
<sup>48</sup> Sc	889	99.9953 $\pm$ 0.0020	99.9829 $\pm$ 0.0017
	1120	100.0000	99.9875 $\pm$ 0.0011
<sup>48</sup> Sc	983	99.9968 $\pm$ 0.0015	99.9876 $\pm$ 0.0012
	1037	97.53 $\pm$ 0.16	97.52 $\pm$ 0.16
	1312	100.0000	99.9908 $\pm$ 0.0009
<sup>48</sup> V	983	100.00	99.9826 $\pm$ 0.0013
	1312	97.22 $\pm$ 0.33	97.20 $\pm$ 0.33
<sup>54</sup> Mn	834		99.976 $\pm$ 0.003
<sup>57</sup> Co	122.06		85.4 $\pm$ 0.6
<sup>60</sup> Co	1173	99.91 $\pm$ 0.02	99.89 $\pm$ 0.02
	1332	100.00	99.9813 $\pm$ 0.0015
<sup>85</sup> Sr	514.0		99.0 $\pm$ 0.3
<sup>18</sup> Y	1836		99.24 $\pm$ 0.07
<sup>95</sup> Nb	766		99.80 $\pm$ 0.02
<sup>108m</sup> Ag	434.0	99.36 $\pm$ 0.09	90.6 $\pm$ 0.6
	614.4	99.88 $\pm$ 0.04	91.1 $\pm$ 0.6
	723.0	100.00	91.2 $\pm$ 0.6
<sup>134</sup> Cs	605	100.00	97.50 $\pm$ 0.07
	796	87.26 $\pm$ 0.43	85.08 $\pm$ 0.42
<sup>130</sup> Ce	165.85		79.83 $\pm$ 0.20
<sup>203</sup> Hg	279		81.48 $\pm$ 0.08
<sup>207</sup> Bi	569.7		97.71 $\pm$ 0.03

Table 2 Other gamma-ray intensities

Nuclide	Energy (keV)	Relative intensity (%)	Intensity per decay (%)
<sup>22</sup> Na	511	178.6 ± 0.1	178.5 ± 0.1
	1275	100.0 ± 0.02	99.94 ± 0.02
<sup>57</sup> Co	14.41	10.64 ± 0.22	9.09 ± 0.18
	122.06	100.0	85.4 ± 0.6
	136.47	12.6 ± 0.6	10.8 ± 0.5
	898.0	95.0 ± 0.5	94.3 ± 0.5
<sup>88</sup> Y	1836	100.0	99.24 ± 0.07
	724	80.6 ± 0.8	44.04 ± 0.24
<sup>95</sup> Zr	757	100.00	54.62 ± 0.24
	512	100	20.5 ± 0.6
<sup>106</sup> Ru	616	3.64 ± 0.23	0.75 ± 0.05
	622	48.1 ± 1.1	9.85 ± 0.31
	874	2.10 ± 0.06	0.431 ± 0.017
	1050	7.36 ± 0.21	1.51 ± 0.06
	1128	1.94 ± 0.05	0.398 ± 0.015
	1562	0.772 ± 0.023	0.158 ± 0.007
	242	0.020 ± 0.010	0.020 ± 0.010
<sup>134</sup> Cs	326	0.020 ± 0.010	0.020 ± 0.010
	475	1.56 ± 0.06	1.52 ± 0.08
	563	8.88 ± 0.29	8.48 ± 0.33
	569	15.7 ± 0.5	15.3 ± 0.7
	605	100.0 ± 3.2	97.50 ± 0.07
	796	89.1 ± 2.7	85.08 ± 0.42
	802	9.03 ± 0.33	8.81 ± 0.43
	1038	1.04 ± 0.04	1.01 ± 0.05
	1168	1.97 ± 0.04	1.92 ± 0.07
<sup>137</sup> Cs	1365	3.36 ± 0.10	3.28 ± 0.14
	662		85.2 ± 0.4
<sup>144</sup> Ce	80.12	15.0 ± 1.0	1.5 ± 0.1
	133.53	100	10.1 ± 0.7
<sup>144</sup> Pr	696.5	100	1.51 ± 0.06
	1489	20.0 ± 0.6	0.30 ± 0.05
	2186	50.2 ± 1.3	0.76 ± 0.04
<sup>207</sup> Bi	569.7	100.0	97.71 ± 0.03
	1064	76.8 ± 2.0	75.0 ± 2.0

## 目 次

1. 序 論 .....	1
1. 1 概 要 .....	1
1. 2 1次標準と2次標準 .....	2
1. 3 評価方法 .....	3
1. 4 平均値と誤差 .....	4
1. 5 記 号 .....	5
2. $^{23} \text{Na}$ .....	5
3. $^{46} \text{Sc}$ .....	8
4. $^{48} \text{Sc}, ^{48} \text{V}$ .....	10
5. $^{54} \text{Mn}$ .....	14
6. $^{60} \text{Co}$ .....	15
7. $^{95} \text{Zr}, ^{95} \text{Nb}$ .....	18
8. $^{106} \text{Ru}$ .....	23
9. $^{134} \text{Cs}$ .....	27
10. $^{137} \text{Cs}$ .....	34
11. $^{203} \text{Hg}$ .....	36
12. $^{24} \text{Na}$ .....	40
13. $^{57} \text{Co}$ .....	43
14. $^{85} \text{Sr}$ .....	47
15. $^{88} \text{Y}$ .....	49
16. $^{108m} \text{Ag}$ .....	52
17. $^{138} \text{Ce}$ .....	56
18. $^{144} \text{Ce}, ^{144} \text{Pr}$ .....	58
19. $^{207} \text{Bi}$ .....	64
付録A 半減期 .....	67

## Contents

1.	Introduction .....	1
1.1	Summary .....	1
1.2	Primary and Secondary Standards .....	2
1.3	Method of Evaluation .....	3
1.4	Average Values and Errors .....	4
1.5	Notation .....	5
2.	$^{22}\text{Na}$ .....	5
3.	$^{46}\text{Sc}$ .....	8
4.	$^{48}\text{Sc}$ , $^{48}\text{V}$ .....	10
5.	$^{54}\text{Mn}$ .....	14
6.	$^{60}\text{Co}$ .....	15
7.	$^{95}\text{Zr}$ , $^{95}\text{Nb}$ .....	18
8.	$^{106}\text{Ru}$ .....	23
9.	$^{134}\text{Cs}$ .....	27
10.	$^{137}\text{Cs}$ .....	34
11.	$^{203}\text{Hg}$ .....	36
12.	$^{24}\text{Na}$ .....	40
13.	$^{57}\text{Co}$ .....	43
14.	$^{85}\text{Sr}$ .....	47
15.	$^{88}\text{Y}$ .....	49
16.	$^{108\text{m}}\text{Ag}$ .....	52
17.	$^{139}\text{Ce}$ .....	56
18.	$^{144}\text{Ce}$ , $^{144}\text{Pr}$ .....	58
19.	$^{207}\text{Bi}$ .....	64
	Appendix A. Half-lives .....	67

## 1. 序 論

### 1.1 概 要

これは原子力研究所の委託により、ガンマ強度に関する文献の調査と評価の結果をまとめた報告書である。ガンマ線の強度の測定は次第に精度がよくなつて来たが、最近、核燃料計量をはじめ原子力に関係した分野において基本量として非常な精度が要求されるようになった。また、ガンマ線強度の精度がよくなると、これらの分野のみならず、核分裂、核反応、核構造の研究、放射化分析などの分野にも大きく貢献することができる。このようにガンマ線強度測定の重要性が増してきた。

現在、ガンマ線強度の測定は、3～5%程度のものが多く、その上、測定の誤差を越えて値がおたがいにずれていることもしばしばである。要求されている精度は1%以下であるが、発表されている値を平均し、評価値を求ることでは、とうてい満足すべき精度をえることはできない。

ガンマ線の測定器には広いエネルギー範囲で感度が100%のものも、感度がエネルギーに関係しないものもない。また、ガンマ線と物質の相互作用は、十分確立された理論ではあるが、測定器の感度を1%以下の精度で理論的に求められる程の精度の計算はないようである。それ故、ガンマ線強度の精度をよくするためには、測定方法を改良しなければならないことは勿論であるが、基礎となる信頼できる標準線源の評価値が必要である。

この報告では、この考え方方にそつて1次標準と2次標準に分け、ガンマ線の崩壊あたりの強度と相対強度を求めた。そのため、核燃料計量の立場から要求されている核種は少なくなつてしまつたが、これらは今後の測定が進めば評価値を求める予定である。

## 1.2 1次標準と2次標準

先にのべたように、ガンマ線の強度を標準線源なしに1%以下の精度で測定することは不可能であるから、1次標準はガンマ線の測定をせずに、あるいはガンマ線測定の精度にあまり関係しないで決められるものでなければならない。それ故、崩壊形式がよく研究されていて崩壊あたりの強度が主に90%以上のものをえらぶ。崩壊数は $\beta$ - $\gamma$ またはX- $\gamma$ 同時計数法で1%以下の精度で決定されるものでなければならない。これを1次標準としてTable 1.1にしめす。

その他に、半減期が短いか、崩壊あたりの強度があまりよい精度で評価できないが、相対強度は信頼できるカスケードガンマ線を1次線源に加えることができる。 $^{24}\text{Na}$ ,  $^{108\text{m}}\text{Ag}$ などTable 1.2にしめしたもののがこれに属する。1次標準ガンマ線の崩壊あたりの強度または相対強度を求めるためには、内部変換係数、基底状態への弱い $\beta$ 転移、他の弱いガンマ線強度などのデータが必要である。

測定器の効率を決めるためには、これら1次標準を使うより数本から十数本のガンマ線を放出する線源を利用する方が便利なことが多い。このようなガンマ線は1次標準線源を使って強度を精密に測定しておけば、標準線源として利用することができる。測定は未だそこまで進んでいないので、とりあえず、2, 3の線源について手に入るデータを使って評価した値をしめしておく。これは近い将来、改訂されるべきものである。これらのガンマ線を2次標準とよぶことにする。

この他に、1本のガンマ線を放射するもので崩壊あたりの強度が小ささく、1次線源として評価できないもので単一ガンマ線として利用価値の高いものがある。 $^7\text{Be}$ ,  $^{51}\text{Cr}$ ,  $^{65}\text{Zn}$ ,  $^{137}\text{Cs}$ などがこれに属する。これらも1次線源で校正した測定器により測定しておけば、2次標準として利用することができる。要するに、2次標準はガンマ線測定により決められたものと言うことができる。

残念ながら現在行われているGe(Li)検出器による測定は、人によって使用している標準線源も異なるし、そのガンマ強度の値もまちまちである。その上、測定方法や検出器の効率曲線も一定でなく、見かけ以上に誤差が大きいことが多い。現在行われている測定をくりかえしても信頼性が高くなるわけでもない。いくつか

Table 1.1 Primary standards for intensities per decays

Nuclide	Half-life	Gamma-ray energy (keV)
$^{57}\text{Co}$	270 d	122
$^{139}\text{Ce}$	140 d	166
$^{203}\text{Hg}^*$	46.59 d	279
$^{85}\text{Sr}$	64.5 d	514
$^{207}\text{Bi}$	38 y	570
$^{134}\text{Cs}^*$	2.06 y	605
$^{93}\text{Nb}^*$	35.1 d	766
$^{54}\text{Mn}^*$	312.5 d	835
$^{46}\text{Sc}^*$	84 d	889
$^{46}\text{Sc}^*$	84 d	1121
$^{60}\text{Co}^*$	5.26 y	1173
$^{22}\text{Na}^*$	2.60 y	1275
$^{60}\text{Co}^*$	5.26 y	1332
$^{140}\text{Ba}$	13 d	1596
$^{98}\text{Y}$	107 d	1836

Table 1.2 Primary standards for relative intensities. Cascade gamma rays

Nuclide	Half-life	Gamma-ray energy (keV)
$^{24}\text{Na}$	15.00 h	1369 2754
$^{48}\text{Sc}^*$	1.8 d	983 1037 1312
$^{93\text{m}}\text{Mo}$	6.85 h	685 1477
$^{108\text{m}}\text{Ag}$	127 y	434 614 722
$^{178}\text{Ta}$	2.2 h	214 326 427
$^{180\text{m}}\text{Hf}$	5.5 h	215 333

の測定がからみあって何が正しいのか明らかでない場合すらある。それ故、信頼性の高い標準線源を定め、これから出発する以外に 1%以下の精度の測定を行うことはできないであろう。

### 1.3 評価方法

今回評価した核種は、Table 1.1 と Table 1.2 の \* 印を付したものと核燃料計量から要求されている  $^{95}\text{Zr}$ ,  $^{106}\text{Ru}$ ,  $^{134}\text{Cr}$ ,  $^{137}\text{Cs}$  である。1 次標準は、ガンマ線の崩壊あたりの強度が 100% に近いものであるから、内部変換係数、弱い  $\beta$  転移の分岐比、弱いガンマ線の存在が重要で、もっぱらこれらの値を求めるこことにより、ガンマ線の崩壊あたりの強度と相対強度の評価値をえた。

核燃料計量からの要求として取り上げたもののなかで、 $^{134}\text{Cs}$  の 1 部のガンマ線と  $^{137}\text{Cs}$  のガンマ線はガンマ線標準として利用することができる。 $^{106}\text{Ru}$ ,  $^{134}\text{Cs}$  のガンマ線の相対強度の測定値は、後にしめすように系統的なずれをしめすものがあり、平均値を取ると危険である。今後の精密な測定が期待される。

評価にあたって用いた量について次に説明する。

#### a) 内部変換係数

1 次標準において、もっとも重要なものは内部変換係数である。特に 300 keV 以下のガンマ線では内部の変換係数が大きく、その精度のためガンマ線強度を精密に見積ることができなくなる。また、内部変換係数を決定する方法は、X-e 同時計数法、ベータ線スペクトルによる強度測定などガンマ線の強度と直接関係なく測定する方法もあるが、ガンマ線強度と内部変換電子の強度比から定める場合など、あまり精度がよくない場合も多い。

内部変換係数の理論値は、1 ~ 3% 程度の精度で計算されているが、実験値との一致は必ずしもよくない。これは、実験値に誤差以上の不確かさがあることと、理論値が原子核構造による影響が無視されているためである。それ故、精度の高い多くの実験値がある場合は実験値を取り、実験値の精度があまりよくないと思われるときは理論値を採用した。また、多極混合があるときは実験値を使用した。理論値の K と L 内部変換係数  $\alpha_K$ ,  $\alpha_L$  は Hager and Seltzcr (68HaSe) および Trusov (72Tr) の値を L/MNO は Dragoun (75Dr) を使用した。なお、Z の小さいものは  $Z^3$  に比例するとして外挿した。理論値は変形核などでは 20% あるいはそれ以上ずれることが指摘されているが、1 次標準には変形核が少ないので理論値には一歩 10% の誤差をつけた。

#### b) 内部電子対発生

ガンマ線のエネルギーが 1.02 MeV 以上のときは、内部電子対発生を考慮に入れねばならない。原子番号の小さい核では 1.3 MeV 付近で、内部電子対発生の確率は内部変換係数に近づくので、これを無視することはできない。

$^{60}\text{Co}$  など内部電子対発生の実験があるものは実験値を用い、その他のものは、理論値を使用した。理論値には Rose (49Ro) および Jaeger and Hulme (34JaHu) を用いた。E2 転移のエネルギーの低いところは  $(E_r - 1.02)^2$  に比例するとして内挿した値を用いた。

なお、内部コンプトン効果は内部変換にくらべて小さいので、すべて無視した。

#### c) 弱いガンマ線

弱いガンマ線は実験値を用いて崩壊形式を考慮に入れ、評価するガンマ線への影響を算出した。弱いガンマ線の場合、必要に応じて親核が別のものをも利用した。例えば、 $^{60}\text{Co}$  の場合、 $^{60}\text{Cu}$  の崩壊のガンマ線の相対強度を参考にした。

測定されていないものも近くの核の傾向と Weisskopf unit と enhancement を考慮し見積ったものもあるが、弱く考慮にあたないしないので採用しなかった。

#### d) 弱いベータ転移

基底状態への弱いベータ転移など実験値があるものは、その値を採用した。実験が上限をあたえているものは、その上限が他の量にくらべて小さいときは無視した。しかし、必要に応じ上限  $A$  があるとき、 $J/2 \pm J/2$  として計算に組み入れたものもある。

<sup>87</sup>Sr の基底状態への転移などのように電子捕獲で実験もなく、実験することも不可能なようでは、近傍の同じ禁止度の転移の  $\log \mu / I$  値を仮定し、その分岐  $\varepsilon$  を  $\pm \varepsilon$  として採用したものもある。

以上のべた量とガンマ線の相対強度の測定を使って評価値が求められる。評価値を求めるには次の 2 種類の方法がある。第 1 は 1 次標準で使われた方法で弱転移の強度を見積ることにより、100% に近いガンマ線を非常な精度で求める方法である。この場合、崩壊形式の信頼性が大切であることは言うまでもない。第 2 は、通常行われているようにガンマ線の相対強度の測定値を平均して求めるものである。平均値を求めるにあたっては、誤差が小さく信頼性の高いもののみをえらんで、他のものは採用しない方針で進めた。

第 1 の方法は、次のような場合にも拡張することができる。基底状態へのガンマ線が 2 本のみで、その 1 本が弱いとき、強い方のガンマ線の崩壊あたりの強度の誤差は小さくなる。例えば、強い方が 95%，弱い方が 5% で、その相対強度が 10% で測定されておれば、強いガンマ線の崩壊あたりの強度は 0.5% の精度で決定されることになる。これは弱い方がベータ線、内部変換電子であっても同じである。

同じ考え方が相対強度にも適用されることがある。<sup>134</sup>Cs のような場合、第 1 励起状態へのガンマ線は、796 keV の 1 本が 80% 以上で、他のガンマ線は弱い。第 1 励起状態へのガンマ線の相対強度が 5% で測定されれば、第 1 励起状態からの 605 keV ガンマ線の強度に関係なく、796 keV と 605 keV のガンマ線の相対強度は 1% の精度で決定されることになる。少々奇妙であるが、<sup>60</sup>Co などの評価を出すときと同じ論理である。

それぞれのガンマ線の評価方法は核種別にしめした。一番はじめに崩壊形式をしめし、次に測定値の一覧表、内部変換係数の理論値をしめした。各項の最後に評価値をまとめ、必要に応じて評価方法または評価に必要なデータを記した。

#### 1.4 平均値と誤差

平均値と内部誤差、外部誤差は、次の式により求めた。

$$\text{平均値 } \bar{x} = \frac{\sum x_i w_i}{\sum w_i}$$

$$\text{内部誤差 } \varepsilon_{\text{int}} = \sqrt{\frac{\sum \varepsilon_i^2 w_i}{\sum w_i}}$$

$$\text{外部誤差 } \varepsilon_{\text{ext}} = \sqrt{\frac{\sum (x_i - \bar{x})^2 w_i}{(n-1) \sum w_i}}$$

ここに  $x_i$  はそれぞれの測定値、 $\varepsilon_i$  はその誤差、 $w_i$  は荷重、 $n$  は測定値の数である。荷重を 1 としたときと、誤差の自乗の逆数のときの 2 種類を計算した。

$$w_i = 1 \text{ のとき}, \quad \bar{x} = \frac{1}{n} \sum x_i$$

$$\varepsilon_{\text{int}} = \sqrt{\frac{1}{n} \sum \varepsilon_i^2}$$

$$\varepsilon_{\text{ext}} = \sqrt{\frac{\sum (x_i - \bar{x})^2}{n(n-1)}}$$

$$w_i = 1/\varepsilon_i^2 \text{ のとき}, \quad \bar{x} = \frac{\sum x_i / \varepsilon_i^2}{\sum 1 / \varepsilon_i^2}$$

$$\varepsilon_{\text{int}} = \sqrt{\sum 1 / \varepsilon_i^2}$$

$$\varepsilon_{\text{ext}} = \sqrt{\frac{\sum (x_i - \bar{x})^2 / \varepsilon_i^2}{(n-1) \sum 1 / \varepsilon_i^2}}$$

本来は測定者のつけた誤差を標準ガンマ線の誤差、統計的誤差に分けて処理すべきであるが、それが明ら

かでないことが多いので、 $\varepsilon_i$  は測定者のしめす最終誤差を用いた。測定者のしめす誤差が相対的に測定値の精度、信頼性を表していると考えられるときは  $w_i = 1/\varepsilon_i^2$  を取ればよいが、一般に測定値の精度があまり違わないと思われるのに誤差が大きく違っていることが多い。それ故、よい測定のみを取り上げ、 $w_i = 1$  として求めたものを採用値としたものが多い。

ガンマ線の相対強度から崩壊あたりの強度を求めることができるものがある。その場合は、 $r'_1 + r'_2 + \dots =$  全崩壊数として、

$$r_i = \frac{r_i^+}{r_1^+ + r_2^+ + \dots}$$

を求めた。ここに  $r'_i = r_i^+(1 + \alpha_i + \Gamma_i)$ ,  $r_i^+$  は  $\gamma$  線の相対強度、 $\alpha_i$  は全内部変換係数、 $\Gamma_i$  は内部電子対発生係数である。また、転移の間に  $r'_1 + r'_2 + \dots = r'_p$  の関係があるとき、

$$\frac{r_i}{r_p} = \frac{r_i^+(1 + \alpha_i + \Gamma_i)}{r_1^+ + r_2^+ + \dots}$$

として求めることができる。誤差はこの関係から統計的扱いにより求めた。

## 1.5 記号

$r_1, r_2$	1) $\gamma$ 線を指示する。 2) $\gamma$ 線の崩壊あたりの強度
$r_1^+, r_2^+$	$\gamma$ 線の相対強度
$r_1^0, r_2^0$	$\gamma$ 線の分岐比
$r'_1, r'_2$	転移の分岐比（内部変換、内部電子対発生を含む）などをしめす。表脚註にしめす。
$\beta_1, \beta_2$	$\beta$ 線の分岐比
$\alpha_K$	内部変換係数
$\alpha$	全内部変換係数 $\alpha = \alpha_K + \alpha_L + \alpha_N + \dots$
$\Gamma'$	内部電子対発生係数
*	採用値をしめす。

参考文献の記号は Nuclear Data Sheet に準じる。

## References

- 34JaHu J. C. Jaeger and H. R. Hulme, Proc. Roy. Soc. 148 (1935) 708
- 49Ro M. E. Rose, Phys. Rev. 76 (1949) 678
- 68HaSe R. S. Hager and E. C. Seltzer, Nuclear Data A4 (1968) 1
- 72Tr V. F. Trusov, Nuclear Data Tables 10 (1972) 477
- 75DrBr O. Dragoun and V. Brabec, Atomic Data and Nuclear Data Tables 15 (1975) 49

## 2. $^{22}\text{Na}$

$^{22}\text{Na}$  は陽電子崩壊をして 100% に近い 1275 keV の  $\gamma$  線を放出する。また、陽電子が消滅して 511 keV  $\gamma$  線を発生する。この両者の  $\gamma$  線を評価した。

- a) 基状底態への弱い  $\beta$  転移の強度は Wright の測定したものが唯一である (Table 2.6)。陽電子転移と 1275 keV レベルへの電子捕獲の比は、3つの測定値があり (Table 2.1) よい一致を示している。
- b) 先ず、1275 keV  $\gamma$  線の評価値を求めるために、陽電子転移と 1275 keV レベルへの電子捕獲の比  $\varepsilon_2/(\beta_1 + \beta_2)$  の測定値をもとに、基底状態への陽電子転移と、電子捕獲の比  $\varepsilon_1/\beta_1$  の理論値 (70Ma) で補正して 1275 keV レベルへの陽電子転移と、電子捕獲の比  $\varepsilon_2/\beta_2$  を求めた (Table 2.6)。
- c) 1275 keV  $\gamma$  線の内部電子対発生による補正には理論値を使った。また内部変換電子の補正には実験値

(Table 2.5) の平均値を使った。内部変換係数の理論値を Hager and Seltzer の表から  $Z^3$  に比例するとして外挿したものを Table 2.6 に示した。実験値との一致はよいが、 $Z=10$  まで外挿して求めた値は誤差が大きいので、内部変換電子の補正には実験値を使った。

- d) 消滅  $\gamma$  線の強度は銅での消滅の場合について求めた。陽電子強度の 2 倍に、3  $\gamma$  消滅と走りながらの消滅の補正をした。
- e) 1275 keV の  $\gamma$  線の崩壊あたりの強度は 0.02% の精度で求めることができた。しかし、消滅  $\gamma$  線については、3  $\gamma$  消滅と走りながらの消滅の補正は小さいが、その理論値と実験値の吟味が不足している。そのため、その誤差を見積ることができなかったので、将来 1 ~ 2 % の修正が生ずる恐れがある。

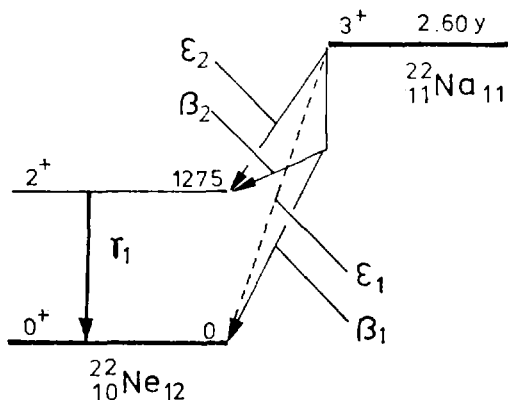
Fig. 2.1 Decay scheme of  $^{22}\text{Na}$ 

Table 2.1 Experimental values of electron capture to positron emission ratio

$\epsilon_2/(\beta_1 + \beta_2)$	Reference
$0.1041 \pm 0.0007^{\text{a)}$	64Wi04
$0.1048 \pm 0.0007$	67Le07
$0.1042 \pm 0.0010$	68Va13

a) Quadratic sum of statistical error (0.45%) and systematic error (0.5%)

Table 2.2 Average values of electron capture to positron emission ratio

$w = 1/\epsilon^2$			$w = 1$		
Average	Error		Average	Error	
value	Int.	Ext.	value	Int.	Ext.
0.1044	0.0004	0.0002	0.1044*	0.0005*	0.0002

Table 2.3 Theoretical values of electron capture to positron emission ratio

$\epsilon_2/\beta_2$	Reference
a)	b)
$0.1138 \pm 0.0025$	$0.100 \pm 0.006$
$0.1118 \pm 0.0025$	$0.0974$

a) Omitting the electron exchange corrections

b) Including the electron exchange corrections

Table 2.4 Theoretical values of internal conversion coefficients

Gamma-ray energy (keV)	Multipolarity	$\alpha_K$	$K/L$	$\alpha$
1274.51	E2	$6.3 \times 10^{-6}$	12	$6.8 \times 10^{-6}$

Table 2.5 Experimental values of internal conversion coefficients

Gamma-ray energy (keV)	$\alpha \times 10^6$	
	Leamer, Hinman 54Le	Nakayama, Hirata 63Na
1274.51	$6.74 \pm 0.67$	$6.77 \pm 0.45$

Table 2.6 Evaluation of intensities per decay

Item	Value	Reference
$\varepsilon_2/(\beta_1 + \beta_2)$	$0.1044 \pm 0.0005$	
$\beta_1/\beta_2$	$0.0006 \pm 0.0002$	53Wr13
$\varepsilon_1/\beta_1$ (Theoretical)	0.0023	70Ma
$\varepsilon_2/\beta_2$	$0.1045 \pm 0.0005^{(a)}$	
$\alpha_1$	$(6.76 \pm 0.37) \times 10^{-6 \pm 0}$	
$I'_1$	$0.25 \times 10^{-4}$	
$3\gamma$ decay	0.27% <sup>(c)</sup>	
Annihilation in flight	0.99% <sup>(d)</sup>	
Annihilation radiation	$178.5 \pm 0.1\%$ <sup>(e)</sup>	
$\gamma_1$	$99.94 \pm 0.02\%$ <sup>(f)</sup>	

- a) Obtained from the equation  $\varepsilon_2/\beta_2 = \{\varepsilon_2/(\beta_1 + \beta_2)\} \times (1 + \beta_1/\beta_2)$
- b) Weighted average of the two values in Table 2.5 ( $w = 1/\varepsilon^2$ )
- c) Cross section ratio of  $3\gamma$  to  $2\gamma$  decay (67 Ka)
- d) Ratio of annihilation in flight to total annihilation in copper (67 Ka)
- e) Ambiguities of annihilation in flight and  $3\gamma$  decay are not included.
- f) Obtained from the equation  $\gamma_1(1 + \alpha_1 + I'_1) + \beta_1 + \varepsilon_1 = 100$

Table 2.7 Evaluated values of beta branch

Beta branch	Branching ratio (%)
$\beta_1$	$0.05 \pm 0.02$
$\beta_2$	$90.49 \pm 0.04$
$\varepsilon_1$	$< 0.0002$
$\varepsilon_2$	$9.46 \pm 0.05$

### References

- 53Wr13 B. T. Wright, Phys. Rev. 90 (1953) 159  
 54Le R. D. Leamer and G. W. Hinman, Phys. Rev. 96 (1954) 1607  
 63Na Y. Nakayama and H. Hirata, Nucl. Phys. 40 (1963) 396

- 64Wi04 A. Williams, Nucl. Phys. 52 (1964) 324  
 67Le07 H. Leutz and H. Wenninher, Nucl. Phys. A99 (1967) 55  
 67Ka W. R. Kane and M. A. Mariscotti, Nucl. Instr. Meth. 56 (1967) 189  
 68Va13 E. Vatai, D. Varga and J. Uchrin, Nucl. Phys. A116 (1968) 637  
 70Ma M. J. Martin and P. H. Blichert-toft, Nuclear Data Tables, A8 (1970) 18

### 3. $^{46}\text{Sc}$

$^{46}\text{Sc}$  の崩壊においては、ほとんど 100% に近い、889 keV と 1120 keV の 2 本の  $\gamma$  線が放出される。この 2 本の  $\gamma$  線の崩壊あたりの強度を評価した。

- $^{46}\text{Ti}$  の基底状態への  $\beta$  崩壊の分岐は、実験値もないし、第 4 禁止転移であるので、無視した。第 1 励起状態への  $\beta$  崩壊の分岐がわずかにある (Table 3.1)。第 2 励起状態から、基底状態への転移の上限をおさえた実験値がある (Table 3.2)。1120 keV の転移については内部電子対発生による補正も行なった。
- 内部変換係数は Hager and Seltzer の値を  $Z^3$  に比例するものとして、外挿により求めた。889 keV と 1120 keV のガンマ線の強度をよい精度で求めることができた。

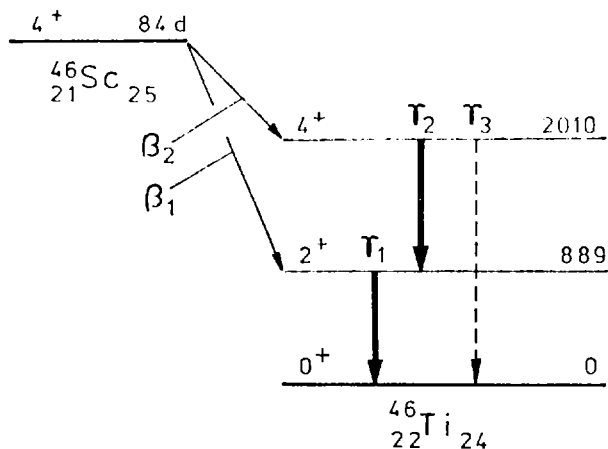


Fig. 3.1 Decay scheme of  $^{46}\text{Sc}$

Table 3.1 Experimental values of beta-ray branching ratios

Beta ray	Maximum energy (keV)	Branching ratio (%)	Reference
$\beta_1$	1475	$0.0036 \pm 0.0007^*$	56Wo09
		$0.096 \pm 0.001$	54Ke04
		$\leq 0.1$	53Wh06
		$\sim 0.05$	50So57
		$\leq 0.06$	50Mo62
$\beta_2$	357		

Table 3.2 Upper limit of crossover gamma ray

Gamma-ray energy (MeV)	Intensity (%)	Reference
$1.67 < E_\gamma < 2.22$	$1.2 \times 10^{-5}^*$	48Fl05
$0.05 < E_\gamma < 2.00$	$< 2$	63Ba40

Table 3.3 Theoretical values of internal conversion coefficients

Gamma-ray energy (keV)	$\alpha_K$ $\times 10^4$	$K/L$	$MNO/L$	$\alpha$ $\times 10^4$
889.19	1.55	10.8	0.14	1.71*
1120.49	0.80	10.8	0.14	0.88*

Table 3.4 Experimental values of internal conversion coefficients

Gamma-ray energy (keV)	$\alpha$ $\times 10^4$	Reference
889.19	$1.74 \pm 0.08$	50Mo62
	1.9	53Wh06
	$1.86 \pm 0.25^a)$	54St08
	$2.60 \pm 0.50^b)$	54St08
	$1.55 \pm 0.16$	54Ke28
1120.49	$0.98 \pm 0.05$	50Mo62
	0.88	53Wh06
	$1.00 \pm 0.06^{a)}$	54St08
	$1.34 \pm 0.15^{b)}$	54St08
	$0.82 \pm 0.08$	54Ke28

a) Beta-ray spectrometer

b) Compton electron method

Table 3.5 Evaluation of intensities per decay

Item	Value	Reference
$\beta_1$	$0.0036 \pm 0.0007\%$	56Wo09
$\gamma_3$	$1.2 \times 10^{-5}\%$	48K105
$\alpha_1$ (Theoretical)	$1.71 \times 10^{-4}$	
$\alpha_2$ (Theoretical)	$0.88 \times 10^{-4}$	
$I_2$ (Theoretical)	$0.4 \times 10^{-6}$	
$\gamma_1$	$99.9829 \pm 0.0017\%^{a)}$	
$\gamma_2$	$99.9875 \pm 0.0011\%^{b)}$	

a) Obtained from the equation  $\beta_1 = \gamma_1(1 + \alpha_1)$ b) Obtained from the equation  $\beta_1 + \gamma_2(1 + \alpha_2 + I_2) + \gamma_3 = 100$ 

## References

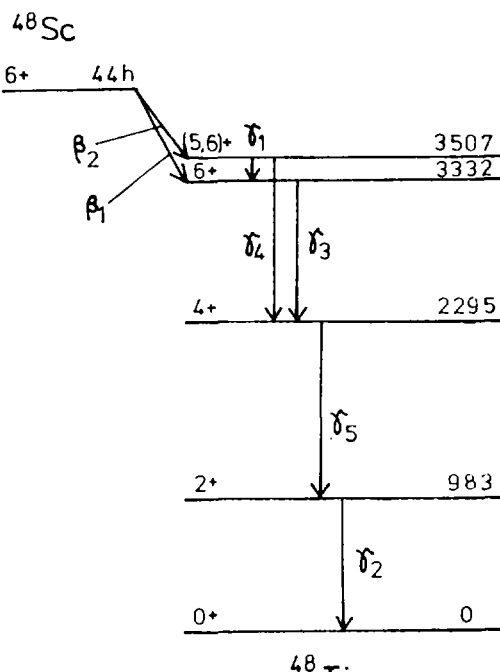
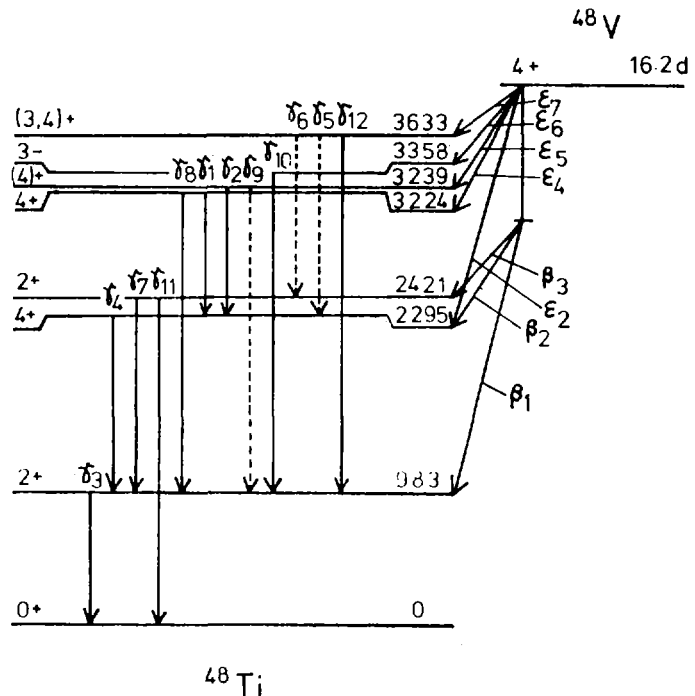
- 49Fl05 R. G. Fluharty and M. Deutsch, Phys. Rev. 76 (1948) 182  
 50Mo62 M. L. Moon, M. A. Waggoner and A. Roberts, Phys. Rev. 79 (1950) 905  
 50So57 B. N. Sorenson, B. M. Dale and J. D. Kurbatov, Phys. Rev. 79 (1950) 1007  
 53Wh06 J. A. Whalen, F. T. Porter and C. S. Cook, Phys. Rev. 89 (1953) 902  
 54St08 E. E. Sturcken, Z. O'Friel, O. F. M., and A. H. Weber, Phys. Rev. 93 (1954) 1053  
 54Ke04 G. L. Keister and F. H. Schmidt, Phys. Rev. 93 (1954) 140  
 54Ke28 G. L. Keister, Phys. Rev. 96 (1954) 855  
 56Wo09 J. L. Wolfson, Can. J. Phys. 34 (1956) 256  
 63Ba40 A. A. Bartlett, J. R. Keith and W. D. King, Bull. Am. Phys. Soc. 8 (1963) 482

4.  $^{48}\text{Sc}$ ,  $^{48}\text{V}$ 

$^{48}\text{Sc}$  は  $\beta^-$  崩壊して、5本の $\gamma$ 線を出す。このうち 984 keV, 1038 keV, 1312 keV の $\gamma$ 線は、崩壊あたりの強度がほぼ 100% に近い値で、良い精度の評価を求めることができた。

$^{48}\text{V}$  は、 $\beta^+$  崩壊して、2本の崩壊あたりの強度が 100 に近い $\gamma$ 線と、多数の弱い強度の $\gamma$ 線を出す。ここでは、2本の強度の強い $\gamma$ 線について、崩壊あたりの強度を求めた。

- a)  $^{48}\text{Sc}$  の実験値は、NaI による測定は除けば、Table 4.1 に示す3つの実験がある。
- b)  $^{48}\text{Sc}$  の 984 keV と 1312 keV の $\gamma$ 線については、内部変換係数の補正 (Table 4.6, Table 4.7) をし、崩壊あたりの強度を求めた。1038 keV の $\gamma$ 線については、1213 keV の $\gamma$ 線とこの $\gamma$ 線の転移強度の和を 100 として求めた。評価値は非常に良い精度で決めることができた。
- c)  $^{48}\text{V}$  の実験値を Table 4.2 に示す。
- 内部変換係数については、Table 4.5 に示す2つの実験値がある。
- d)  $^{48}\text{V}$  の 983 keV の $\gamma$ 線強度は、2422 keV との転移の和が 100 として求めた。また 1311 keV の $\gamma$ 線については、第1励起状態への5つの転移と  $\beta$  転移と、この転移の和を 100 として評価値を求めた。誤差は、0.33% である。

Fig. 4.1 Decay scheme of  $^{48}\text{Sc}$ Fig. 4.2 Decay scheme of  $^{48}\text{V}$ Table 4.1 Experimental values of relative intensities in the decay of  $^{48}\text{Sc}$ 

Gamma-ray energy (keV)	Singh* et al. 72Si37	Eisele* Larson 70Ei07	Konijn* et al. 67Ko01
175	$7.8 \pm 0.8$	$6 \pm 1$	$9.4 \pm 0.5$
983	100	100	100
1037	$95 \pm 4$	$98 \pm 2$	$98 \pm 3$
1213	$2.5 \pm 0.3$	$2.2 \pm 0.5$	$2.5 \pm 0.2$
1312	100	100	$100 \pm 3$

Table 4.2 Experimental values of branching ratios in the decay of  $^{48}\text{Sc}$ 

Branch	Level energy (keV)	Branching ratio (%)		
		Singh et al. 72Si37	Eisele Larson 70Ei07	Konijn et al. 67Ko01
$\beta_1$	3333	89.4	95~93	88
$\beta_2$	3508	10.6	5~ 7	11.9

Table 4.3 Evaluated values of relative intensity in the decay of  $^{48}\text{Sc}$ 

Gamma ray	Energy (keV)	$w = 1/\varepsilon^2$			$w = 1$ or 0		
		Evaluated value	Error		Evaluated value	Error	
			Int.	Ext.		Int.	Ext.
$\gamma_1$	175	8.50	0.39	0.88	7.73	0.46	0.98
$\gamma_2$	983	100	—	—	100	—	—
$\gamma_3$	1037	97.6	1.5	0.8	97.0	1.8	1.0
$\gamma_4$	1213	2.47	0.16	0.06	2.40	0.21	0.10
$\gamma_5$	1312	100	1.5	0	100	1.8	0

Table 4.4 Evaluated values in the decay of  $^{48}\text{Sc}$ 

Gamma ray	Energy (keV)	Relative intensity (%)		Intensity per decay (%)	
		Relative intensity (%)	Intensity per decay (%)	Relative intensity (%)	Intensity per decay (%)
$\gamma_1$	175	8.49 $\pm$ 0.39	8.49 $\pm$ 0.39	99.9968 $\pm$ 0.0015	99.9876 $\pm$ 0.0012
$\gamma_2$	983	97.53 $\pm$ 0.16	97.52 $\pm$ 0.16 <sup>a)</sup>	2.47 $\pm$ 0.16	2.47 $\pm$ 0.16
$\gamma_3$	1037	—	—	—	—
$\gamma_4$	1213	—	—	—	—
$\gamma_5$	1312	100.0000	99.9908 $\pm$ 0.0009 <sup>b)</sup>	—	—

- a) Beta-ray feeding to the 2295 keV level is estimated to be less than 0.003% since logft value of a second-forbidden transition is assumed to be larger than 10.  
 b) Beta-ray feeding to the 983 keV level is neglected.

Table 4.5 Experimental values of conversion coefficients in the decay of  $^{48}\text{Sc}$  and  $^{48}\text{V}$ 

Gamma-ray energy (keV)	Konijn et al. 67Ko01		Nooijen et al. 57Vo08	
	$^{48}\text{V}$ $\alpha \times 10^4$	$^{48}\text{Sc}$ $\alpha \times 10^4$	$^{48}\text{V}$ $\alpha \times 10^4$	$^{48}\text{Sc}$ $\alpha \times 10^4$
929	2.0 $\pm$ 1.01	—	—	—
945	1.25 $\pm$ 0.11	—	—	—
983	1.23 $\pm$ 0.06	1.24 $\pm$ 0.12	1.26 $\pm$ 0.04	1.06 $\pm$ 0.07
1037	—	—	—	—
1312	0.59 $\pm$ 0.09	0.69 $\pm$ 0.09	0.63 $\pm$ 0.02	—
2255	—	—	0.151 $\pm$ 0.017	—

Table 4.6 Theoretical values of conversion coefficients<sup>a)</sup> in  $^{48}\text{Ti}$ 

Gamma-ray energy (keV)	E2 conversion coefficients				M1 conversion coefficients			
	$\alpha_K$ $\times 10^5$	$K/L$	$MNO/L$	$\alpha$ $\times 10^5$	$\alpha_K$ $\times 10^5$	$K/L$	$MNO/L$	$\alpha$ $\times 10^5$
175	3180	10.5	0.14	3530	377	10.5	0.14	418
983	11.2	10.8	0.14	12.4				
1037	9.8	10.8	0.14	10.8				
1213	6.5	10.8	0.14	7.2	5.6	10.8	0.14	6.2
1312	5.5	10.8	0.14	6.1				

a) These values are obtained from ref. 68HaSe.

Table 4.7 Theoretical values of internal pair<sup>a)</sup> formation in  $^{48}\text{Ti}$ 

Gamma-ray energy (keV)	Multi- polarity	Internal pair formation coefficient $I \times 10^5$
1037	E2	0.011
1213	E2	1.3
	M1	9
1312	E2	3.1

a) These values are obtained from ref. 34 JaHu and 52Br.

Table 4.8 Experimental values of relative intensities in the decay of  $^{48}\text{V}$ 

Gamma-ray energy (keV)	Ardisson <sup>a)</sup> Ythier 69Ar03	Konijn* et al. 67Ko01	Ristinen et al. 63Ri01
Annihilation		98 $\pm 3$	122 $\pm 4$
929		1.2 $\pm 0.2$	
945		8.0 $\pm 0.5$	9.8 $\pm 0.9^b)$
983		100	100
1312	98	99 $\pm 4$	98.0 $\pm 6.0$
1338		0.06 $\pm 0.06$	
1385 <sup>c)</sup>	< 0.1		
1438	0.11 $\pm 0.04$	0.13 $\pm 0.06$	
2240	2.4 $\pm 0.3$	2.5 $\pm 0.3$	2.6 $\pm 0.8$
2376	0.010 $\pm 0.003^*$		
2255		< 0.2	
2422	0.005 $\pm 0.002^*$		
2650		0.06 $\pm 0.03$	0.04 $\pm 0.02$

a) Intensity of the 1311 keV gamma ray is normalized to 98 by ref. 69Ar03.

b) This value is obtained from external conversion measurement.

c) Uncertain

Table 4.9 Experimental values of branching ratios in the decay of  $^{48}\text{V}$ 

Branch	Level energy (keV)	Branching ratios (%)			
		Metskhvarishvili et al. 74Me	Ardisson Ythier 69Ar03	Konijn et al. 67Ko01	Ristinen et al.
$\beta_1$	983	0.086 $\pm$ 0.012			
$\beta_2$	2295	49.6	49.8	48.5	61
$\epsilon_3$			38.5	47.5	26
$\beta_3$	2421	0.1	< 0.11		
$\epsilon_4$	3224		3.6	3.7	2.9
$\epsilon_5$	3239		8.0	8.0	9.8
$\epsilon_6$	3359		0.01		
$\epsilon_7$	3633			0.3	

Table 4.10 Adopted values of relative intensity in the decay of  $^{48}\text{V}$ 

Gamma ray	Energy (keV)	Adopted value <sup>a)</sup>	
	Annihilation	98 $\pm$ 3	
$\gamma_1$	929	1.1	$\pm$ 0.2
$\gamma_2$	945	8.0	$\pm$ 0.5
$\gamma_3$	983	100	
$\gamma_4$	1312	99	$\pm$ 4
$\gamma_5$	1338	0.06	$\pm$ 0.06
$\gamma_6$	1385	<	0.1
$\gamma_7$	1438	0.13	$\pm$ 0.06
$\gamma_8$	2240	2.5	$\pm$ 0.3
$\gamma_9$	2255	<	0.2
$\gamma_{10}$	2376	0.010	$\pm$ 0.003 <sup>b)</sup>
$\gamma_{11}$	2422	0.005	$\pm$ 0.002 <sup>b)</sup>
$\gamma_{12}$	2650	0.06	$\pm$ 0.03

a) Data are taken from ref. 67Ko01

b) These values are taken from ref. 69Ar03

Table 4.11 Evaluated values in the decay of  $^{48}\text{V}$ 

Gamma ray	Energy (keV)	Relative intensity (%)	Intensity per decay (%)
$\gamma_1$	929	1.2 $\pm$ 0.2	1.2 $\pm$ 0.2
$\gamma_2$	945	8.0 $\pm$ 0.5	8.0 $\pm$ 0.5
$\gamma_3$	983	100.00	99.9826 $\pm$ 0.0013 <sup>a)</sup>
$\gamma_4$	1312	97.22 $\pm$ 0.33	97.20 $\pm$ 0.33 <sup>b)</sup>
$\gamma_8$	2240	2.5 $\pm$ 0.3	2.5 $\pm$ 0.3

a) These values are obtained from the 983 keV and 2422 keV gamma transition intensities.

b) These values are obtained from five gamma transition intensities of the 1311, 1438, 2240, 2376 and 2650 keV, and beta feeding to the first excited state.

## References

- 34JaHu J. C. Haeger and H. R. Hulme, Proc. Roy. Soc. 148 (1935) 708  
 42S01 G. P. Smith, Phys. Rev. 61 (1942) 578  
 52Br S. A. S. Brimberg, Phys. Rev. 87 (1952) 150  
 57V08 B. van Nooijen, J. Konijn, A. Heyligers, J. F. Van der Brugge and A. H. Wapstra, Physica 23 (1957) 753  
 63Hi02 M. Hillman, Phys. Rev. 129 (1963) 2227  
 63Ri01 R. A. Ristinen, A. A. Bartlett and J. J. Kraushaer, Nucl. Phys. 45 (1963) 321  
 67Ko01 J. Konijn, E. W. A. Lingeman and S. A. De Wit, Nucl. Phys. A90 (1967) 558  
 68HaSe R. S. Hager and E. C. Seltzer, Nuclear Data A4 (1968) 1  
 69Ar03 G. Ardisson and C. Ythier, Physica 41 (1969) 510  
 70Ei07 J. A. Eisele and R. E. Larson, Radiochim. Acta 14 (1970) 54  
 72Si37 H. Singh, V. K. Tikku, B. Sethi and S. K. Mukherjee, Radiochim. Radioanal. Lett. 11 (1972) 137  
 74Me R. Ya. Metskhvarishvili, Z. N. Miminoshvili and M. A. Elizbarashvili, Sov. J. Nucl. Phys. 19 (1974) 237

5.  $^{54}\text{Mn}$ 

$^{54}\text{Mn}$  は電子捕獲により  $^{54}\text{Cr}$  に崩壊し、834 keV の  $\gamma$  線を放出する。この  $\gamma$  線は崩壊あたり 100% に近く、他に  $\gamma$  線は発見されていない。

- 基底状態間のエネルギー差は原子質量表がしめすように 1022 keV 以上であるから、もし電子捕獲の転移があれば、わずかながら陽電子放射が存在するはずである。Berenyi et al (68Be01) により上限が測定されている。この転移はスピンからみて一義的第 2 禁止転移 (unique second forbidden) であるから、 $\log ft > 12$  という結果はもっともらしい。 $^{10}\text{Be}$  など一義的第 2 禁止転移の  $\log ft = 12$  であるから、上限から、計算された  $\epsilon_1 < 1 \times 10^{-5}$  を  $\epsilon_1 = (0.5 \pm 0.5) \times 10^{-5}$  として評価値を入れた。
- 834 keV  $\gamma$  線の内部変換係数の測定は少ないが、理論値と実験値は誤差の範囲で一致している。理論値は  $\alpha_K$  が  $Z^3$  に比例するとして、Hager and Seltzer (68HaSe) を外挿したものである。この値は Trusov (72Tr) の値をエネルギーに関して外挿したものと一致している。この付近では理論値と実験値の間に大きな差がないと思われるので理論値を使用した。
- $^{54}\text{Cr}$  の 1375 keV 以下には第 1 励起状態以外の励起状態は存在しないので他の弱い  $\gamma$  線を考える必要はない。

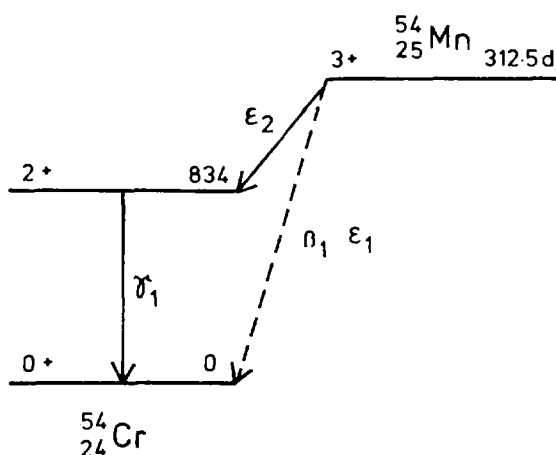
Fig. 5.1 Decay scheme of  $^{54}\text{Mn}$

Table 5.1 Beta transition to the ground state

Author	$\beta_1^+$	logft	$Q_e$ (keV)	$\epsilon_1$	Ref.
Berenyi et al.	$< 8 \times 10^{-7}$	$> 12.0$		$> 1 \times 10^{-5}*$	68Be01
Wapstra, Gove			$1374.9 \pm 3.6$		71Wa

Table 5.2 Internal conversion coefficients

Author	$\alpha_K$ $\times 10^5$	$K/L$	$\alpha$ $\times 10^5$	Ref.
Katoh et al.		$8.5 \pm 0.7$		58Ka34
Rao			$20 \pm 5$	63Ra21
Hamilton et al.	$22.4 \pm 1.0$		$25.1 \pm 1.1$	66Ha07
Theoretical	20.9	10	23.0*	

Table 5.3 Evaluation of the 834 keV gamma-ray intensity

Item	Value
$\epsilon_1$	$(0.5 \pm 0.5) \times 10^{-5}$
$\alpha$ (theoretical)	$(23.0 \pm 2.3) \times 10^{-5}$
$\gamma_1$	$99.976 \pm 0.003\%$

### References

- 58Ka34 T. Katoh, M. Nozawa, Y. Yoshizawa and Y. Koh, J. Phys. Soc. Japan 13 (1958) 1419  
 63Ra21 G. N. Rao, Nuovo Cimento 30 (1963) 507  
 66Ha07 J. H. Hamilton, S. R. Amtey, B. van Nooijen, A. V. Ramayya and J. J. Pinajian, Phys. Letters 19 (1966) 682  
 68Be01 D. Berenyi, D. Varga, B. Vasvari and E. Brucher, Nucl. Phys. A106 (1968) 248  
 71Wa A. H. Wapstra and N. B. Gove, Nucl. Data Tables 9 (1971) 265

### 6. $^{60}\text{Co}$

$^{60}\text{Co}$  は  $\beta$  崩壊して、1173 keV と 1332 keV の 2 本の 100% に近い  $\gamma$  線を放出する。その他には、ごく弱い  $\gamma$  線があるのみである。この 2 本の主な  $\gamma$  線について評価値を求めた。

- a) 実験値は、第 1 励起状態 ( $2^+$ ) への  $\beta$  転移の分岐比 (Table 6.1), 第 2 励起状態 ( $2^+$ ) からの  $\gamma$  線の相対強度 (Table 6.3),  $3^+$  励起状態への  $\beta$  転移の分岐比 (Table 6.1) および  $^{60}\text{Cu}$  からの  $\gamma$  線の分岐比 (Table 6.2) がある。
- b) 第 1, 第 2 励起状態と  $3^+$  励起状態への  $\beta$  崩壊分岐比  $\beta_1, \beta_2, \beta_3$  から 1173 keV と 1332 keV 転移の崩壊あたりの強度を求めた。この値に内部変換係数、電子対発生の補正をして 1173 keV と 1332 keV の評価値を求めた。
- c) 1173 keV の誤差は  $\beta_1$  と  $\beta_3$  の分岐比の誤差から来たものであるが、2 本の  $\gamma$  線の強度は非常な精度で求められる。

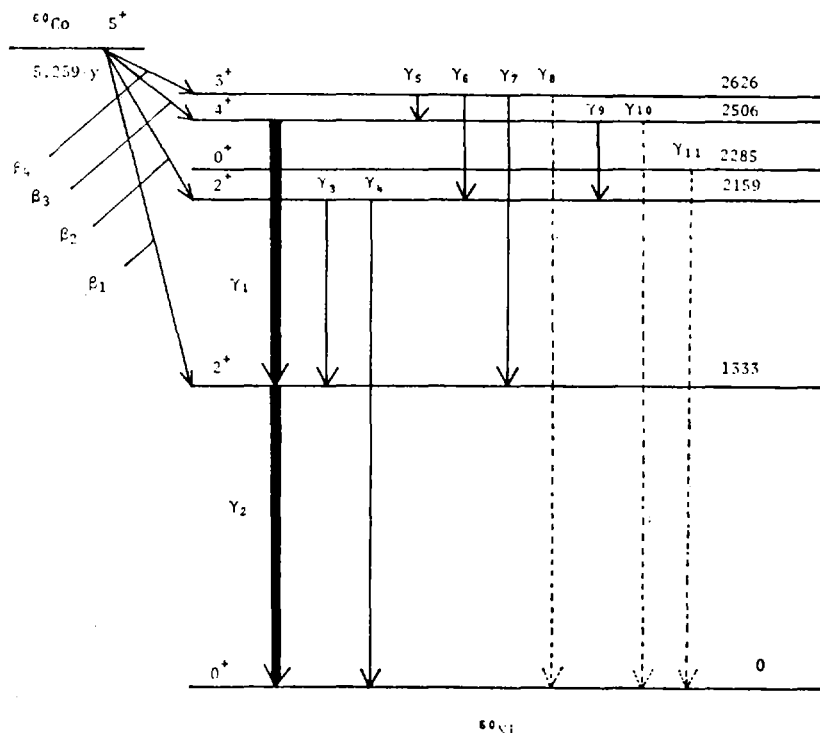
Fig. 6.1 Decay scheme of  $^{60}\text{Co}$ 

Table 6.1 Experimental values of beta-ray branching ratios

Branch	Maximum energy (keV)	Branching ratios (%)	Reference
$\beta_1$	1490	0.15	54Ke04
		$0.01 \pm 0.002$	56Wo09
		0.12	61Ca05
		$0.08 \pm 0.02^*$	68Ha03
$\beta_2$	663	$< 10.5 \times 10^{-3}^{*\text{a}}$	55Wo44
		$0.18 \pm 0.03$	68Ha03
		$< 0.022$	69Ra23
		$< 0.0063^{\text{b}}$	69Va20
		$< 0.012$	70Ri20
		$< 0.01$	70Di01
		99.74 $\pm$ 0.05	68Ha03
$\beta_3$	316	99.862	69Va20
$\beta_4$	196	$< 6 \times 10^{-4}$	69Va20
		$< 0.01^*$	70Di01

a) This upper limit is obtained from the value of  $(9.0 \pm 1.5) \times 10^{-3}$  in Table 6.3.

b) Hise (69Va20) calculated this branching ratio using his gamma-ray intensity  $\gamma_3 = 0.0055$ . We reevaluated this ratio using his  $\gamma_3$  value and the transition branching ratio of  $\gamma_4'$  in Table 6.3.

Table 6.2 Values of internal conversion coefficients, internal pair formation coefficients and branching ratios of transition intensities

Gamma ray	Energy (keV)	Theoretical		$\Gamma$ 65Sp08	$\alpha + \Gamma$	From the decay of $^{60}\text{Cu}$	
		$\alpha_K(\text{E}2)$ 72Tr	$\alpha_K(\text{M}1)$ 72Tr			$\gamma^\dagger$ 69Ra07	$\gamma'^{\text{a})}$ (%)
$\gamma_1$	1173.3	$1.53 \times 10^{-4}$		$(0.15 \pm 0.05) \times 10^{-4}$	$1.83 \times 10^{-4}$		
$\gamma_2$	1332.5	$1.16 \times 10^{-4}$		$(0.47 \pm 0.07) \times 10^{-4}$	$1.75 \times 10^{-4}$		
$\gamma_3$	826.4	$3.30 \times 10^{-4}$	$2.59 \times 10^{-4}$		$3.63 \times 10^{-4\text{b})}$	$24.7 \pm 1.2$	86.7
$\gamma_4$	2158.9	$4.47 \times 10^{-5}$			$4.92 \times 10^{-5}$	$3.8 \pm 0.2$	13.3
$\gamma_5$	120.5	$2.9 \times 10^{-1}$	$3.3 \times 10^{-2}$		$3.2 \times 10^{-1\text{b})}$	$0.22 \pm 0.02$	4.5
$\gamma_6$	467.3	$1.15 \times 10^{-3}$	$7.74 \times 10^{-4}$		$1.27 \times 10^{-3\text{b})}$	$4.0 \pm 0.2$	62.6
$\gamma_7$	1293.7	$1.24 \times 10^{-4}$	$1.09 \times 10^{-4}$		$1.36 \times 10^{-4\text{b})}$	$2.1 \pm 0.2$	32.9
$\gamma_8$	2626.2					$< 0.02^{\text{c})}$	$< 0.31$
$\gamma_9$	346.8						
$\gamma_{10}$	2505.7						
$\gamma_{11}$	2284.9						

a)  $\gamma'$  indicates the branching ratio of the transition intensity,  $\gamma' = \gamma^0(1 + \alpha + \Gamma)$ .

b) Pure E2 Multipole is assumed.

c) Our estimation from F. Rauch et al. (69Ra07).

Table 6.3 Evaluated values of beta-ray branching ratios per decay

Branch	Branching ratio (%)	Estimation (%)	Ref.
$\beta_1$	$0.08 \pm 0.02$		68Ha08
$\beta_2$	$(9.0 \pm 1.5) \times 10^{-3\text{a})}$	$\beta_4 = (1.2 \pm 0.2) \times 10^{-3}$ $\beta_2 = (1.2 \pm 0.2) \times 10^{-3}/\gamma_4'$	55Wo44
$\beta_3$	$99.91 \pm 0.03$	$\beta_3 = 100 - \beta_4 - \beta_2 - \beta_1$	
$\beta_4$	$< 0.01$	$< 6 \times 10^{-4}$ $< 0.01$	69Va20 70Di01

a) This value is obtained from gamma-ray intensity  $\gamma_4$  by assuming no gamma-ray feeding to this initial level.

Table 6.4 Evaluated values of intensities per decay

Gamma-ray	Intensity per decay (%)	Estimation <sup>a)</sup>
$\gamma_1$	$99.89 \pm 0.02$	$(100 - \gamma_7 - \gamma_3 - \gamma_4 - \beta_1)/(1 + \alpha + \Gamma)$
$\gamma_2$	$99.9813 \pm 0.0015$	$(100 - \gamma_4 - \gamma_8 - \gamma_{10} - \gamma_{11})/(1 + \alpha + \Gamma)$
$\gamma_3$	$0.0078 \pm 0.0013$	$\gamma_4 \times (\gamma_8'/\gamma_4')$
$\gamma_4$	$0.0012 \pm 0.0002$	55Wo44
$\gamma_5$	$< 0.00045$	$\beta_4 \times \gamma_5'$
$\gamma_6$	$< 0.0063$	$\beta_4 \times \gamma_6'$
$\gamma_7$	$< 0.0033$	$\beta_4 \times \gamma_7'$
$\gamma_8$	$< 0.000031$	$\beta_4 \times \gamma_8'$
$\gamma_9$	0.0078	69Va20
$\gamma_{10}$	neglected	$T_{1/2}(\text{E}4, \text{W. u.}) = 3 \times 10^{-4} \text{ s}$ $T_{1/2}(\text{E}2, \text{Exp}) < 3.5 \text{ ps}$ $\gamma_{10} < (3.5 \times 10^{-12})/(3 \times 10^{-4}) \times 100 = 1.2 \times 10^{-6}$
$\gamma_{11}$	neglected	Beta-ray branch is unique fourth forbidden, no gamma ray was observed.

a)  $\gamma'$  indicates the branching ratio of the transition intensity,  $\gamma' = \gamma^0(1 + \alpha + \Gamma)$ .

Table 6.5 Evaluated values

Gamma-ray	Energy (keV)	Intensity per decay (%)	Relative intensities	Estimation
$\gamma_1$	1173	99.89 $\pm$ 0.02	99.91 $\pm$ 0.02	a)
$\gamma_2$	1332	99.9813 $\pm$ 0.0015	100.00	b)

a) These values are obtained from intensities of three transitions to the first excited state (826 keV, 1173 keV and 1294 keV).

The error of 0.02 is mainly deduced from the beta-ray intensity to the first excited state.

b) These values are evaluated from intensities of the 1332 keV and the 2159 keV transition. Other gamma transitions to the ground state are neglected.

### References

- 49Ro M. E. Rose, Phys. Rev. 76 (1949) 678  
 54Ke04 G. L. Keister and F. H. Schmidt, Phys. Rev. 93 (1954) 140  
 55Wo44 J. L. Wolfson, Can. J. Phys. 33 (1955) 886  
 56Wo09 J. L. Wolfson, Can. J. Phys. 34 (1956) 256  
 61Ca05 D. C. Camp, L. M. Langer and D. R. Smith, Phys. Rev. 123 (1961) 241  
 65Sp08 E. Spring, Phys. Let. 18 (1965) 132  
 65Mu03 G. Murray, R. L. Graham and J. S. Geiger, Nucl. Phys. 63 (1965) 353  
 67Ra S. Raman, Nuclear Data Sheet B2-5-59  
 68Ha03 H. H. Hansen and A. Spernol, Z. Phys. 209 (1968) 111  
 68HaSe R. S. Hager and E. C. Seltzer, Nuclear Data Tables A4 (1968) 1  
 68Wo02 J. L. Wolfson and A. J. Collier, Nucl. Phys. A112 (1968) 156  
 69Ra07 F. Rauch, D. M. Van Patter and P. F. Hinrichsen, Nucl. Phys. A124 (1969) 145  
 69Ra23 S. Raman, Z. Phys. 228 (1969) 387  
 69Va20 J. R. Van Hise and D. C. Camp, Phys. Rev. Let. 23 (1969) 1248  
 70Di01 W. R. Dixon and R. S. Storey, Can. J. Phys. 48 (1970) 483  
 70Ri20 P. Rice-Evans and Z. Aung, Z. Phys. 240 (1970) 392  
 72Tr V. F. Trusov, Nuclear Data Tables 10 (1972) 477

### 7. $^{95}\text{Zr}$ , $^{95}\text{Nb}$

$^{95}\text{Zr}$  は  $\beta$  崩壊について、724 keV と 757 keV の 2 本の強い  $\gamma$  線を放射する。この他に、 $^{95}\text{Nb}$  の基底状態と第 1 励起状態への弱い  $\beta$  転移がある。 $^{95}\text{Nb}$  は 35 日で  $^{95}\text{Mo}$  に  $\beta$  崩壊する。第 1 励起状態は 3.6 日の異性体で、これから  $^{95}\text{Mo}$  に  $\beta$  崩壊する分岐もある。 $^{95}\text{Zr}$  については、強い 724 keV と 757 keV の  $\gamma$  線の評価値を行なった。

$^{95}\text{Nb}$  は標準線源として有用なので、 $^{95}\text{Nb}$  のみの場合も評価した。 $^{95}\text{Nb}$  の異性体から  $^{95}\text{Mo}$  への  $\beta$  崩壊はわずかであり、半減期も短いので、異性体を無視した場合の 766 keV  $\gamma$  線に関して崩壊あたりの強度を求めた。

- a)  $\beta$  崩壊の分岐比をもとめたもの (Table 7.1) と、 $\gamma$  線の相対強度を求める実験がある。(Table 7.2)。
- b) 先ず、基底状態への  $\beta$  転移  $\beta_1$  と第 1 励起状態への  $\beta$  転移  $\beta_2$  の評価値を求めた (74An 22 を採用)。次に 3 つの  $\gamma$  線相対強度の  $1/\epsilon^2$  荷重の平均値を使って崩壊あたりの強度を求めた。
- c)  $\beta_1$  と  $\beta_2$  が小さいので、724 keV と 757 keV の  $\gamma$  線は精度よく決めることができた。
- d)  $^{95}\text{Nb}$  から  $^{95}\text{Mo}$  への崩壊のうち、基底状態および第 1 励起状態から基底状態への  $\beta$  崩壊の分岐はごくわずかであり、ほとんどが第 3 励起状態から基底状態へ 766 keV の転移をする。また、第 3 励起状態から第 2 励起状態への 562 keV の転移もわずかである。従って 766 keV の  $\gamma$  線の強度は精度よく求め

ることができた。

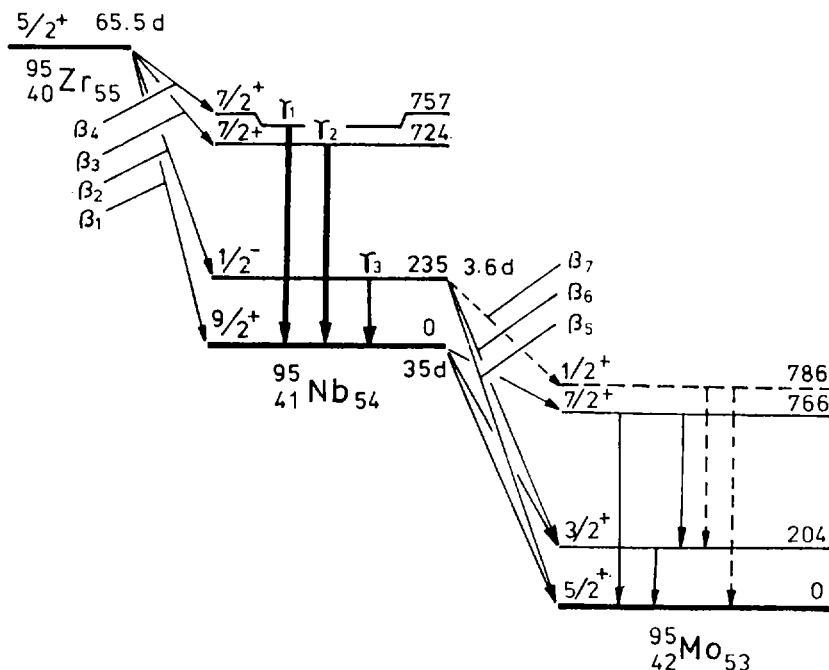


Fig. 7.1 Decay scheme of  $^{95}\text{Zr}$

Table 7.1 Experimental values of beta-ray branching ratios

Beta ray	Maximum energy (keV)	Branching ratio (%)	Reference
$\beta_1$	1120	0.4	54Za05
		$0.10 \pm 0.03^*$	74An22
$\beta_2$	887	0.9	54Za05
		$1.2 \pm 0.5$	69Fo01
		$1.0 \pm 0.1$	69Br29
		$1.1 \pm 0.1^*$	74An22
$\beta_3$	398	$44.7 \pm 0.7$	69Fo01
		$44.2 \pm 0.5$	69Br29
$\beta_4$	366	$54.1 \pm 0.8$	69Fo01
		$54.6 \pm 0.5$	69Br29

Table 7.2 Experimental values of beta-ray branching ratios from  $^{95m}\text{Nb}$

Beta ray	Maximum energy (keV)	Branching ratio (%)	Reference
$\beta_5$	1160	$5.5 \pm 0.4$	74An22
$\beta_6$	956	$1.7 \pm 0.4$	72Er08
$\beta_7$	371	$0.7 \pm 0.3$	72Er08

Table 7.3 Experimental values of relative intensities

Gamma ray	Energy (keV)	Foin et al.	Brahamvar Hamilton	Erten et al.	Suzuki et al. <sup>a)</sup>
		69Fo01	69Br29	72Er08	72Su
$\gamma_1$	756.74	100	100	100	100
$\gamma_2$	724.23	$82.5 \pm 1.6$	$81.0 \pm 1.0$	$77.0 \pm 2.0$	$80.7 \pm 1.0$
$\gamma_3$	234.70	$0.6 \pm 0.2$	$0.34 \pm 0.03$	$0.4 \pm 0.1$	

a) Obtained from intensities per decay ( $54.5 \pm 0.5$ ;  $43.9 \pm 0.4$ )

Table 7.4 Average values of relative intensities

Gamma ray	Energy (keV)	$w = 1/\epsilon^2$			$w = 1$		
		Average value	Error		Average value	Error	
			Int.	Ext.		Int.	Ext.
$\gamma_1$	756.74	100			100		
$\gamma_2$	724.23	80.63*	0.62	0.78*	80.30	0.73	1.17
$\gamma_3$	234.70	0.35	0.03	0.02	0.45	0.08	0.08

Table 7.5 Theoretical values of internal conversion coefficients

Item		Value				
Atomic number	$Z$	41				
Energy (keV)		756.74				
Multipolarity		724.23				
		M1	E2	M1	E2	M4
Conversion coefficients	$\alpha_K$	1.20 (-3)	1.24 (-3)	1.32 (-3)	1.39 (-3)	2.30 (-0)
	$\alpha_{L1}$	1.29 (-4)	1.30 (-4)	1.43 (-4)	1.46 (-4)	3.14 (-1)
	$\alpha_{L2}$	2.72 (-6)	5.66 (-6)	3.09 (-6)	6.68 (-6)	5.21 (-2)
	$\alpha_{L3}$	1.22 (-6)	4.82 (-6)	1.36 (-6)	5.70 (-6)	9.50 (-2)
	$\alpha_L$	1.33 (-4)	1.41 (-4)	1.47 (-4)	1.58 (-4)	4.61 (-1)
	$K/L$	8.99	8.81	8.98	8.78	4.99
Gamma branch	$MNO/L$	0.21	0.20	0.21	0.20	0.21
	$\alpha$	1.36 (-3)*	1.41 (-3)	1.50 (-3)*	1.58 (-3)	2.86
Gamma branch	$1/(1+\alpha)$	0.999	0.999	0.999	0.998	0.259

Table 7.6 Experimental values of internal conversion coefficients

Gamma-ray energy (keV)	$\alpha_K$		$K/L$	$\alpha$
	69Br29	69Fo01		
756.74	$(1.45 \pm 0.15) \times 10^{-3}$			
724.23	$(1.56 \pm 0.14) \times 10^{-3}$			
234.70	2.21 ± 0.27	2.35 ± 0.20	4.6 ± 0.1	2.85 ± 0.25

Table 7.7 Evaluation of intensities per decay

Item	Value	Reference
$\beta_1$	$0.10 \pm 0.03\%$	74An22
$\beta_2$	$1.1 \pm 0.1\%$	74An22
$\alpha_1$ (Theoretical)	$0.00136^a)$	
$\alpha_2$ (Theoretical)	$0.00152^{b)}$	
$\alpha_3$ (Theoretical)	2.86	
$\gamma'_3$	$94.0 \pm 0.5\%$	74An22
$\gamma_2^+$ (Adopted)	$80.6 \pm 0.8\%$	
$\gamma_1$	$54.62 \pm 0.24\%^{b)}$	
$\gamma_2$	$44.04 \pm 0.24\%^{b)}$	
$\gamma_3$	$0.27 \pm 0.02\%^{c)}$	

a) Pure M1 transition is assumed.

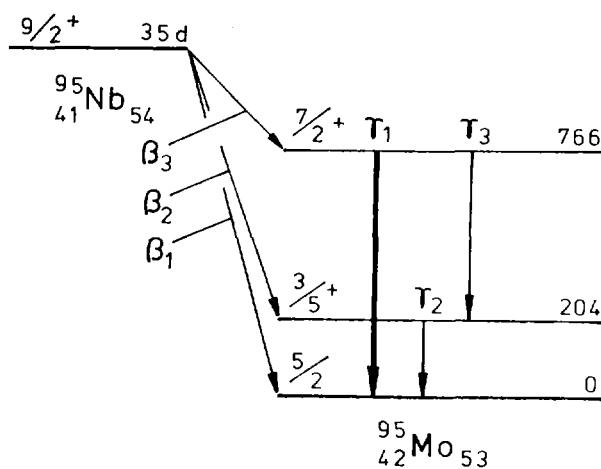
b) Obtained from the equation  $\beta_1 + \beta_2 + \gamma_1(1 + \alpha_1) + \gamma_2(1 + \alpha_2) = 100$ c) Obtained from the equation  $\gamma'_3 = \gamma_3(1 + \alpha_3)$ , while  $\gamma_3$  equals to  $0.19 \pm 0.12$  and  $0.25 \pm 0.06$  for  $w = 1/\varepsilon^2$  and  $w = 1$ , respectively by using relative intensities in Table 7.4.Fig. 7.2 Decay scheme of  $^{95}\text{Nb}$ 

Table 7.8 Experimental values of beta-ray branching ratios

Beta ray	Maximum energy (keV)	Branching ratio (%)	Reference
$\beta_1$	925	$<0.075$ $0.030 \pm 0.005^*$	63La06 74An22
$\beta_2$	721	$0.017 \pm 0.011$	74An22
$\beta_3$	160	$>99.92$ 99.95	63La06 74An22

Table 7.9 Experimental values of relative intensities of conversion electrons and gamma rays

Gamma ray	Energy (keV)	Conversion electron intensity 74An22	$\alpha_K \times 10^3$	Gamma-ray intensity (%)
$\gamma_1$	756.8	100	1.28 <sup>a)</sup>	100
$\gamma_2$	204.1	1.0 ± 0.3	46 <sup>b)</sup>	0.028 ± 0.008
$\gamma_3$	561.7	0.025 ± 0.005	2.9 <sup>a)</sup>	0.011 ± 0.003

a) Theoretical value

b) Obtained from the decay of  $^{95}\text{Tc}$  (72MeHo)

Table 7.10 Theoretical values of internal conversion coefficients

Item	Value
Atomic number	42
Energy (keV)	765.8
Multipolarity	M1
$\alpha_K$	1.28 (-3)
Conversion coefficients	
$\alpha_{L1}$	1.38 (-4)
$\alpha_{L2}$	3.05 (-6)
$\alpha_{L3}$	1.32 (-6)
$\alpha_L$	1.43 (-4)
$K/L$	8.97
$MNO/L$	0.21
$\alpha$	0.00145*
Gamma branch	$1/(1 + \alpha)$
	0.999

Table 7.11 Experimental values of internal conversion coefficient

Gamma-ray energy (keV)	$\alpha$	Reference
765.8	0.0011	63La06
	0.00126 ± 0.00025	67Ei03
	0.00132 ± 0.00013	69Br29

Table 7.12 Evaluation of intensity per decay

Item	Value	Reference
$\beta_1$	$0.030 \pm 0.005\%$	74An22
$\gamma'_2$	$0.028 \pm 0.008$	
$\alpha_1$ (Theoretical)	$1.45 \times 10^{-3}$ a)	
$\gamma_1$	$99.80 \pm 0.02$ b)	

a) Pure M1 transition is assumed.

b) Obtained from the equation  $\beta_1 + \gamma_1(1 + \alpha_1) + \gamma'_2 = 100$

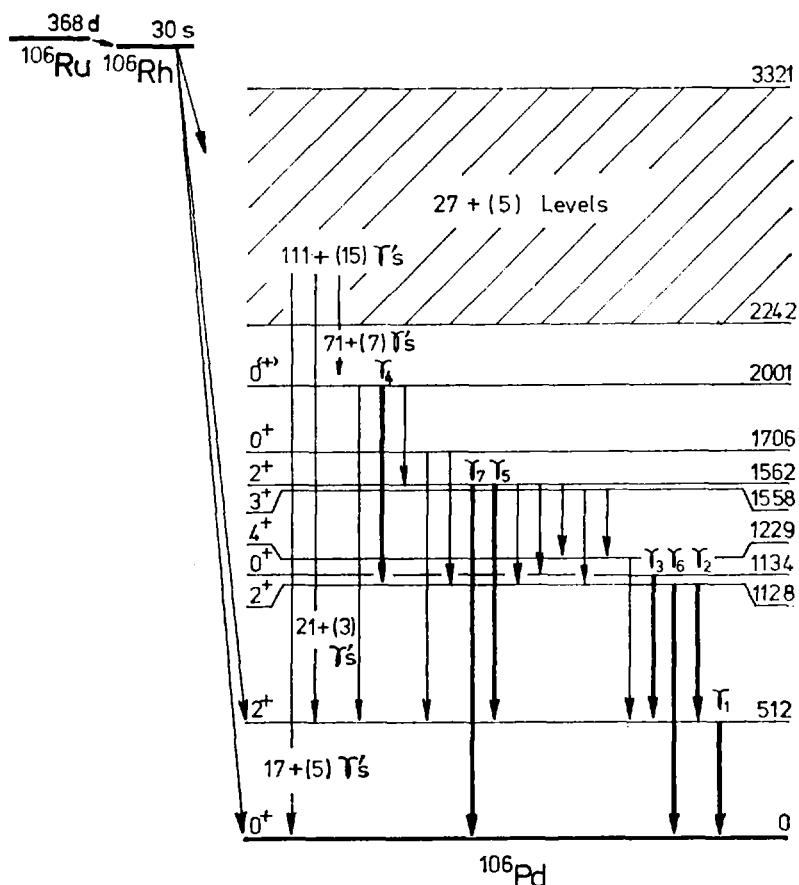
## References

- 54Za05 P. P. Zarubin, Izv. Akad. Nauk. SSSR, Ser. Fiz. 18 (1954) 563  
 63La06 L. M. Langer and D. E. Wortman, Phys. Rev. 132 (1963) 324  
 67Ei03 N. A. Eissa et al. Acta Phys. Acad. Sci. Hung. 23 (1967) 67  
 69Fo01 C. Foin, J. Oms, J. Blachot and J. Crancon, Nucl. Phys. A123 (1969) 513  
 69Br29 S. M. Brahmava and J. H. Hamilton, Phys. Rev. 187 (1969) 1487  
 72MeHo L. M. Medsker and D. J. Horen, Nuclear Data Sheets, B8 (1972) 29  
 72Su T. Suzuki, Y. Nakahara and H. Umezawa, EANDC(J) 26L, I-C-4 (1972) 23  
 72Er08 N. N. Erten and C. D. Corvell, Radiochim. Acta., 18 (1972) 39  
 74An22 N. M. Antoneva, et al., Izv. Akad. Nauk. SSSR, Ser. Fiz. 38 (1974) 1668

8.  $^{106}\text{Ru}$ 

$^{106}\text{Ru}$  は  $\gamma$  線を放出せず  $\beta$  崩壊して  $^{106}\text{Rh}$  となる (Fig. 8.1).  $^{106}\text{Rh}$  はふたたび  $\beta$  崩壊する。この  $\beta$  崩壊の約80%は  $^{106}\text{Pd}$  の基底状態への転移である。崩壊にともなう  $\gamma$  線は100本以上あるが、大部分は弱く、一番強い512 keV  $\gamma$  線の約1%以上のものは7本しかない。これら7本の  $\gamma$  線について評価を行った。

- a) 利用できる測定値は、10組の相対強度 (Table 8.1) となる3本の  $\gamma$  線の崩壊あたりの強度 (Table 8.2) である。  
 b)  $\gamma$  線の相対強度の測定値の間には、かなりのバラつきと系統的なずれが見られた (Fig. 8.2)。また、誤差の大きさにかなりの開きがあり、実験値の信頼性の高いと思われるものに誤差の大きいものがあり、 $1/\varepsilon^2$  の荷重が不適当と思われる。測定値のどれを採用するかに問題があるので、6組のデータ、5

Fig. 8.1 Decay scheme of  $^{106}\text{Ru}$

組のデータ、4組のデータおよび3組のデータに関して平均値をもとめ比較した(Fig. 8.3)。検討の結果、最終的には4組のデータ(750k, 71Ge24, 69St03, 67Ra11)の平均値を採用した(Table 8.4)。

- c)  $\gamma$ 線の崩壊あたりの強度については、 $\gamma_1, \gamma_2, \gamma_3$ の分離に問題があるので、 $\gamma_1 + \gamma_2 + \gamma_3$ の崩壊あたりの強度の平均値を求めた。これを上に求めた相対強度で配分し、あわせて $\gamma_4 \sim \gamma_7$ の崩壊あたりの強度を算出した。

Table 8.1 Experimental values of relative intensities

Author	$\gamma_1$	$\gamma_2$	$\gamma_3$	$\gamma_4$	$\gamma_5$	$\gamma_6$	$\gamma_7$	Reference
Okano et al.	100	$3.59 \pm 0.72$	$47.7 \pm 2.4$	$2.09 \pm 0.13$	$7.27 \pm 0.44$	$1.92 \pm 0.04$	$0.766 \pm 0.015$	75Ok
Gehrke	100	$4.1 \pm 0.4$	$48.8 \pm 3.0$	$2.20 \pm 0.15$	$7.6 \pm 0.5$	$1.98 \pm 0.15$	$0.80 \pm 0.05$	72Ge24
Marsol et al.	100	3.8	47.6	2.5	7.35	1.93	0.74	72Ma71
Azuma and Sato	100	1.6	45.3	1.8	6.4	1.8	0.7	71Az02
Odru	100	$3.2 \pm 0.2$	$47.7 \pm 0.5$	$2.3 \pm 0.1$	$7.35 \pm 0.30$	$2.15 \pm 0.10$	$0.78 \pm 0.04$	69Od01
Strutz et al.	100	$3.37 \pm 0.27$	$47.6 \pm 1.5$	$2.02 \pm 0.08$	$7.06 \pm 0.28$	$1.87 \pm 0.08$	$0.71 \pm 0.03$	69St03
Hattula and Luikkonen	100	$3.5 \pm 0.7$	$48.0 \pm 1.0$	$1.90 \pm 0.12$	$7.2 \pm 0.4$	$1.9 \pm 0.2$	$0.86 \pm 0.10$	68Ha35
Forest et al.	100	5 ± 1	$47.3 \pm 6.0$	$1.80 \pm 0.25$	$6.3 \pm 1.0$	$1.60 \pm 0.25$	$0.72 \pm 0.08$	67Fo
Rao and Fink	100	$3.5 \pm 0.3$	$48.5 \pm 1.0$	$2.1 \pm 0.1$	$7.5 \pm 0.4$	$2.0 \pm 0.1$	$0.81 \pm 0.05$	67Ra11
Vrzal et al.	100	$3.4 \pm 0.4$	$48.5 \pm 1.0$	$2.0 \pm 0.1$	$8.0 \pm 0.5$	2.06	0.80	67Vr05

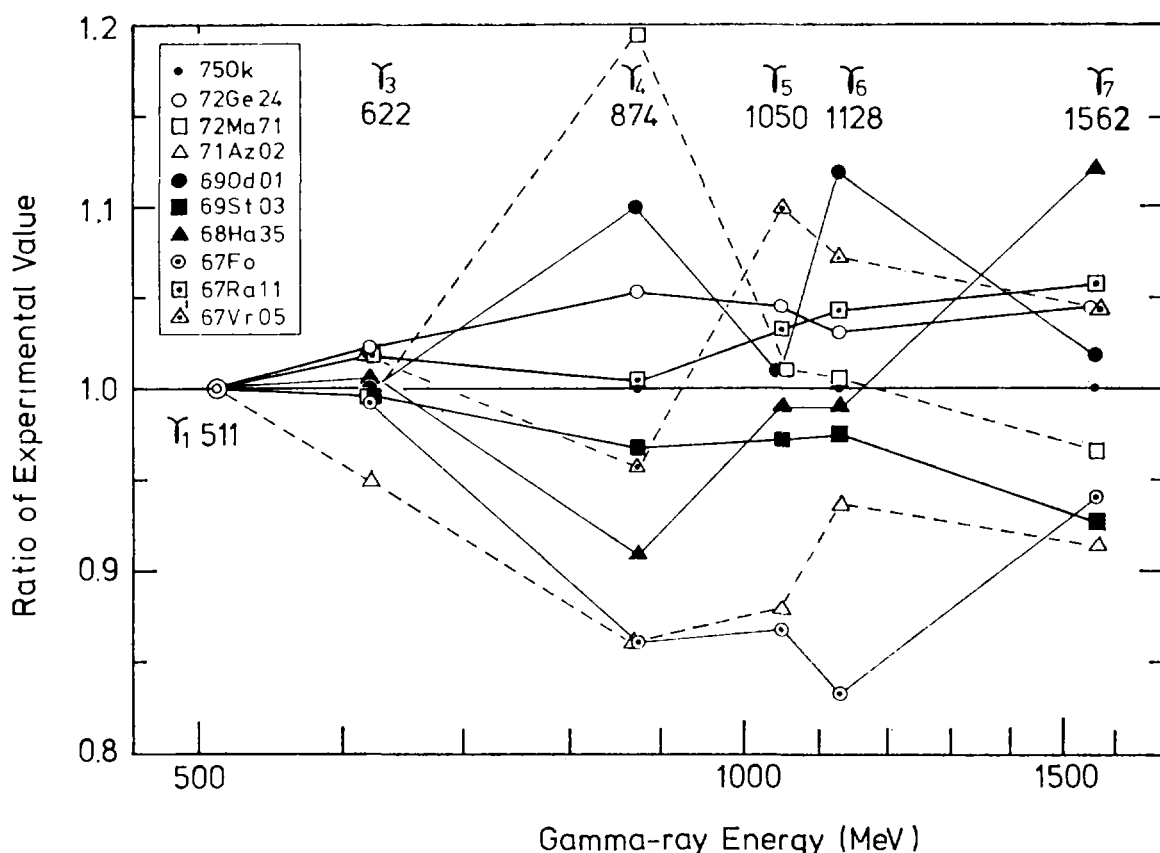


Fig. 8.2 Comparison of experimental values of relative intensities.

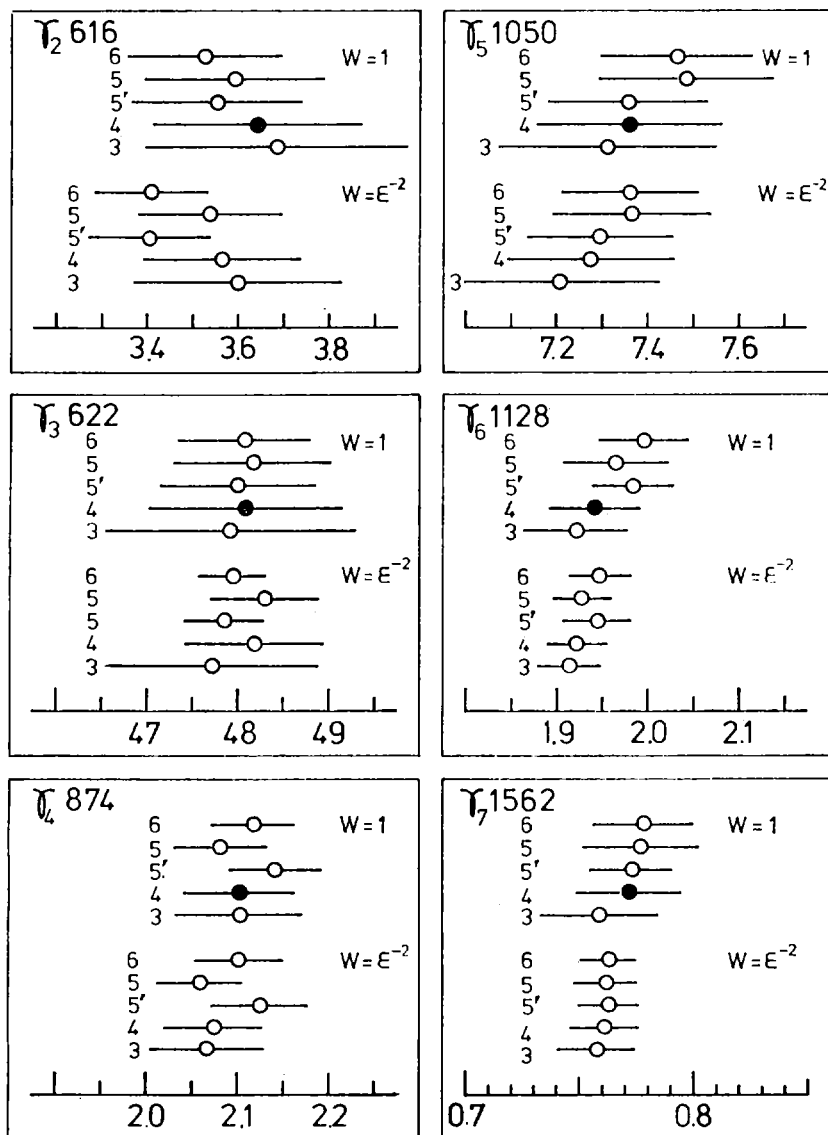


Fig. 8.3 Comparison of average values of relative intensities. The numbers 6, 5, 5', 4 and 3 mean the numbers of used data. The adopted values are indicated with closed circles.

Table 8.2 Experimental values of intensities per decay

Gamma ray	Oduru	Ovechkin et al	Kahn Lyon
	69Od01	66Ov01	53Ka47
$\gamma_1$	$20.6 \pm 0.6$	$21.0 \pm 2.0$	$20.5 \pm 2.0^a)$
$\gamma_2 + \gamma_3$	$10.6 \pm 0.3$	$10.0 \pm 1.0$	$10.4 \pm 1.0^a)$

a) Errors are estimated by us.

Table 8.3 Average values of intensities per decay

Gamma ray	$w=1$			$w=1/\epsilon^2$			$w=1, 2^a)$		
	Intensity	Error		Intensity	Error		Intensity	Error	
		Int.	Ext.		Int.	Ext.		Int.	Ext.
$\gamma_1$	20.70	0.96	0.15	20.62	0.55	0.08	20.68	0.77	0.06
$\gamma_2 + \gamma_3$	10.33	0.48	0.18	10.54	0.28	0.12	10.40	0.38	0.14
$\gamma_1 + \gamma_2 + \gamma_3$	31.03	1.1	0.09	31.16	0.64	0.07	31.08	0.85	0.06

a) Weights for 69Od01, 66Ov01 and 53Ka47 are 2, 1 and 1, respectively.

Table 8.4 Evaluated values

Gamma ray	Energy (keV)	Relative intensity	Intensity per decay (%)
$\gamma_1$	511.9	100	$20.5 \pm 0.6$
$\gamma_2$	616.1	$3.64 \pm 0.23$	$0.75 \pm 0.05$
$\gamma_3$	621.9	$48.1 \pm 1.1$	$9.85 \pm 0.31$
$\gamma_4$	873.5	$2.10 \pm 0.06$	$0.431 \pm 0.017$
$\gamma_5$	1050.4	$7.36 \pm 0.21$	$1.51 \pm 0.06$
$\gamma_6$	1128.1	$1.94 \pm 0.05$	$0.398 \pm 0.015$
$\gamma_7$	1562.2	$0.772 \pm 0.023$	$0.158 \pm 0.007$

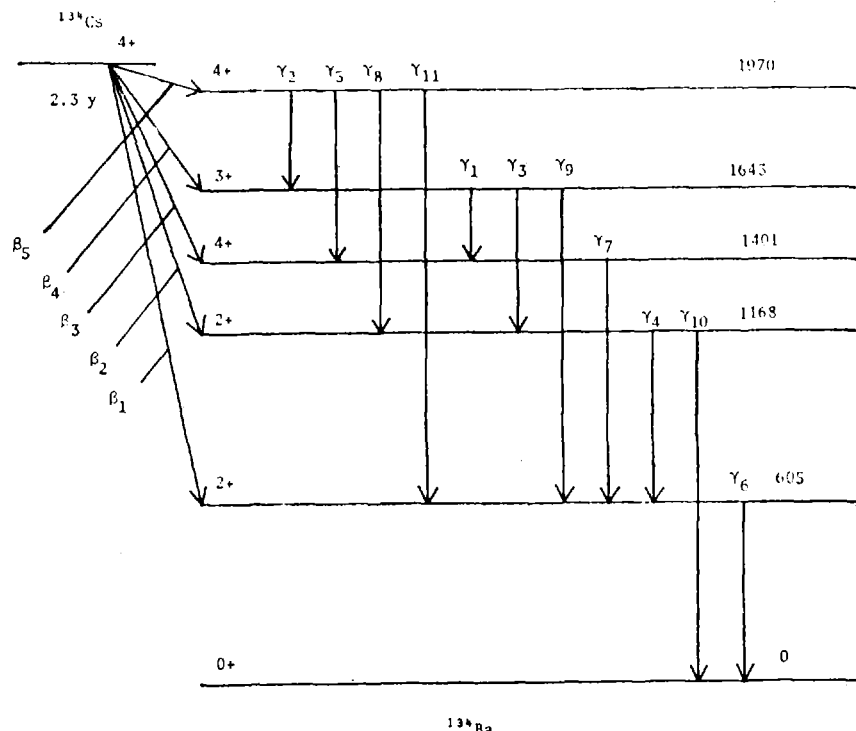
## References

- 53Ka47 B. Kahn and W. S. Lyon, Phys. Rev. 92 (1953) 902  
 66Ov01 V. V. Ovechkin, T. K. Ragimov and D. F. Rau, Soviet J. Nucl. Phys. 4 (1966) 484  
 67Fo H. Forest, M. Huguet et C. Ythier, C. R. Acad. Sc. Paris Ser. B 264 (1967) 1614  
 67Ra11 P. Venugopala Rao and R. W. Fink, Nucl. Phys. A103 (1967) 385  
 67Vr05 Ya. Vrzal, E. P. Grigorev, A. V. Zolotavin, J. Liptak, V. O. Sergeev and J. Urbanets, Izv. Akad. Nauk. SSSR, Ziz. Zemli 31 (1967) 696, Bull. Acad. Sci. USSR, Phys. Ser. 31 (1967) 692  
 68Ha35 J. Hattula and E. Liukkonen, Ann. Acad. Fennicae Ser. A VI. No. 274 (1968)  
 69Od01 P. Odru, Radiochimica Acta 12 (1969) 64  
 69St03 K. D. Strutz, H. J. Strutz und A. Flammersfeld, Z. Phys. 221 (1969) 231  
 71Az02 T. Azuma and Y. Sato, Ann. Rep. Rad. Cent. Osaka 12 (1971) 28  
 72Ge24 R. J. Gehrke, ANCR-1088 (1972) 392  
 72Ma71 C. Marsol, O. Rahmouni et G. Ardisson, C. R. Acad. Sc. Paris B275 (1972) 805  
 75Ok K. Okano, Y. Kawase and S. Yamada, Ann. Rep. Res. Reactor Inst. Kyoto Univ. Vol. 8 (1975) 86

9.  $^{134}\text{Cs}$ 

$^{134}\text{Cs}$  は  $\beta$ 崩壊して、約11本の $\gamma$ 線を放射する。 $^{134}\text{Ba}$  の基底状態への $\beta$ 転移はないので $\gamma$ 線の強度のみから崩壊あたりの強度が求められる。ここでは、9本の $\gamma$ 線の評価値を求めた。

- a)  $\gamma$ 線の相対強度と崩壊あたりの強度の測定値は非常に多い (Table 1, Table 2)。内部変換電子に関しても4つの測定値がある。
- b) 先ず $\gamma$ 線の測定値を相対強度になおして、その評価値を求め、つづいて、K軌道内部変換電子の相対強度の評価値をも求めた。内部変換係数は605 keV  $\gamma$ 線で理論値にあわせた。 $\gamma$ 線の崩壊あたりの強度を求めるためにはスピンの変化が2のときはE2のみであるから理論値を使い、他のときはM1の混合がわからないので実験値を使った。
- c)  $\gamma$ 線の相対強度の評価値を求めるにあたって測定値の信頼性を検討した。平均値と各データの比をFig. 9.2にしめした。各データにかなりの散らばりが認められる。評価値を求めるにあたっては、4つのデータを採用し、 $\varepsilon^{-2}$ 荷重の平均値を求めた。

Fig. 9.1 Decay scheme of  $^{134}\text{Cs}$

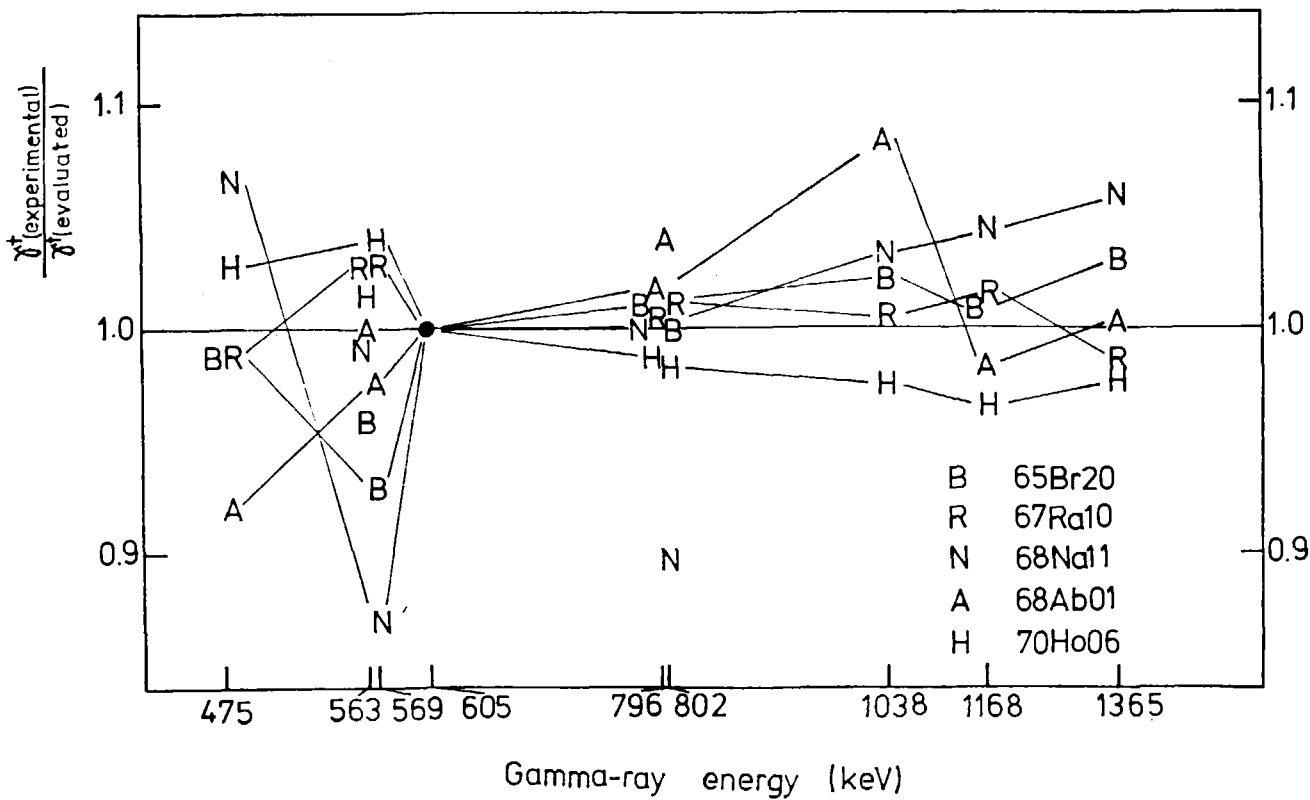


Fig. 9.2 Ratios of relative gamma-ray intensities to the evaluated relative intensities.

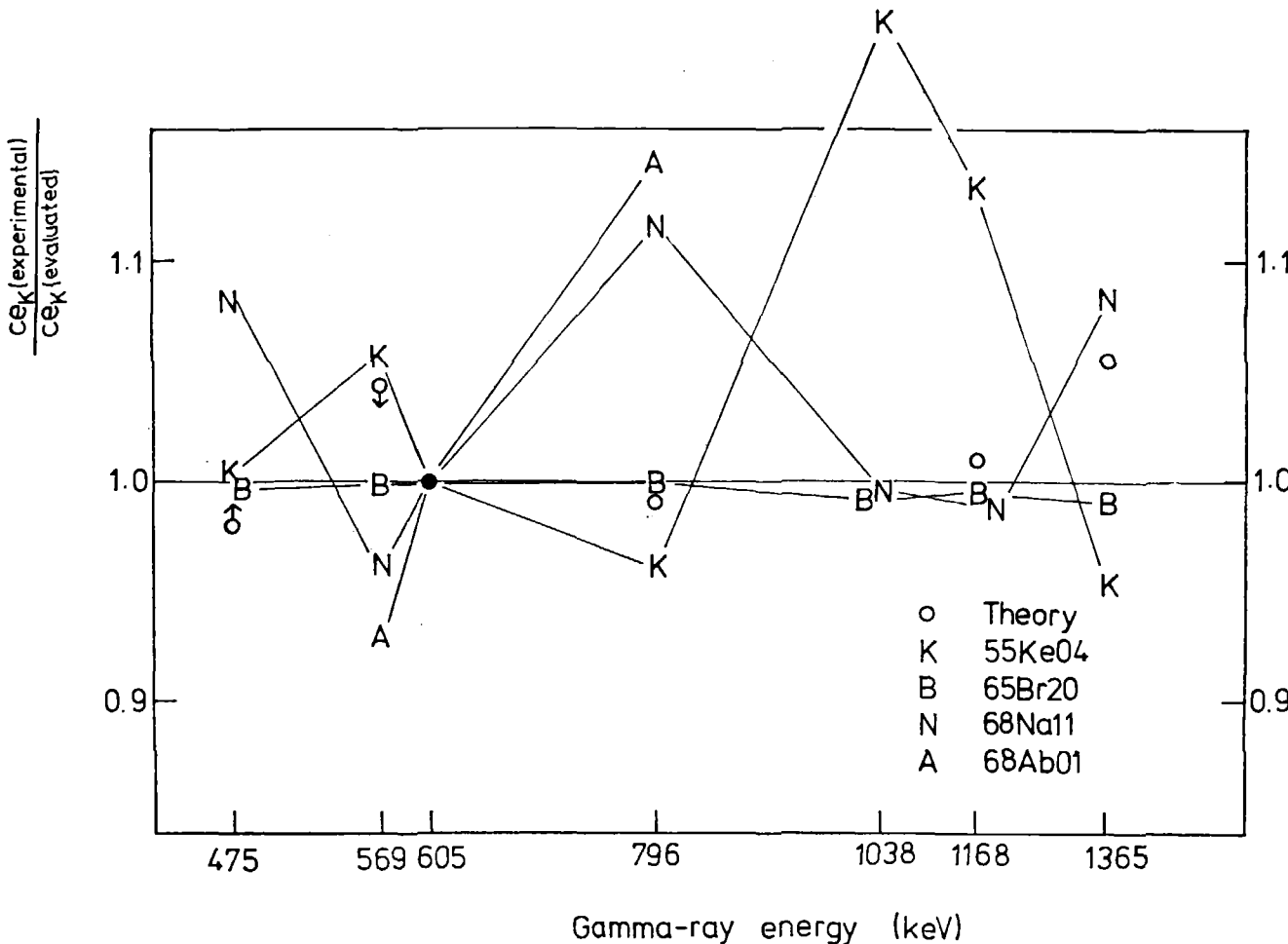


Fig. 9.3 Ratios of relative conversion electron intensities to the evaluated relative intensities. These values are normalized at 605 keV. Theoretical values (68HaSe) are in good agreement with the evaluated values within 5%.

Table 9.1 Experimental values of relative intensities

Energy (keV)	Nagpal 68Nall	Bashaindy Abd El-Haliem 66Ba57	Brown Ewan 65Br20	Segaert et al. 63Se09	Yamamoto 60Ya03	Girgis et al. 59Gi49	Keister et al. 55Ke04	Verhaeghe et al. 54Ve09
106								
200		0.039 ± 0.016						
202		0.022 ± 0.010						
204		0.028 ± 0.010						
206		0.018 ± 0.007						
396		0.88 ± 0.12						
458		0.67 ± 0.10						
472		0.39 ± 0.07						
475	1.67 ± 0.11	0.31 ± 0.05	1.54 ± 0.8	1.4 ± 0.04	1.72	1.3 ± 0.4	1.8 ± 0.5	4
478		0.44 ± 0.07						
505		0.90 ± 0.13						
563	8.83 ± 0.46	8.86 ± 0.83	8.5 ± 0.8		12.2		9 ± 2	15
569	13.61 ± 0.70	14.18 ± 1.12	14.6 ± 1.4	20 ± 5	26.3	24 ± 4	13 ± 2	20
581		0.52 ± 0.08						
605	100 ± 3	100	100 ± 5	100	100	100	100	100
796	89.25 ± 4.47	48.08 ± 3.55	90 ± 9	91 ± 10	46.55	92 ± 7	91 ± 4	100
802	8.12 ± 0.42	1.43 ± 0.25	9.0 ± 1.5		4.85		18 ± 4	15
909		3.93 ± 0.40						
924		2.68 ± 0.29						
962		1.36 ± 0.32						
1038	1.06 ± 0.06	1.55 ± 0.21	1.06 ± 0.10	1.5 ± 0.3	0.36	1.5 ± 0.3	0.9 ± 0.2	4
1168	2.06 ± 0.14	2.31 ± 0.30	1.99 ± 0.17	2.4 ± 0.05	0.44	2.2 ± 0.3	3.0 ± 0.4	4
1365	3.55 ± 0.19	4.76 ± 0.52	3.46 ± 0.30	3.5 ± 0.07	0.57	3.3 ± 0.5	4.6 ± 0.3	4
1402		2.28 ± 0.33						
1567		3.33 ± 0.40	0.01	0.13 ± 0.08		0.12 ± 0.05		
1580	0.025 ± 0.003							
1644		2.92 ± 0.32						
1770		3.05 ± 0.33						
1846		4.88 ± 0.62						
1971		4.89 ± 0.51						

Table 9.2 Experimental values of intensities per decay

Gamma-ray energy (keV)	Hofmann* et al. 70Ho06	Abdul-Malek* Naumann 68Ab01	Nagpal 68Na11	Raeside* et al. 67Ra10	Brown Ewan 65Br20
242	<0.08			0.02±0.01 <sup>a)</sup>	
326	<0.08			0.02±0.01 <sup>a)</sup>	
475	1.57±0.08	1.4±0.2	1.62 ±0.11	1.51±0.16	1.5 ±0.15
563	8.86±0.45	8.7±1.0	8.60 ±0.46	8.96±0.84	8.3 ±0.8
569	16.0 ±1.0	15.0±1.6	13.30 ±0.70	15.81±1.1	14.2 ±1.4
605	98.1 ±6.0	98.0	97.50 ±3.0	98.04	97.5
796	86.0 ±4.3	88.4±9.1	87.00 ±4.47	87.79±6.6	87.8 ±9
802	8.70±0.44	9.2±1.0	7.90 ±0.42	8.94±0.8	8.8 ±1.5
1038	0.99±0.06	1.1±0.6	1.04 ±0.06	1.02±0.08	1.03±0.1
1168	1.86±0.10	1.9±0.2	2.01 ±0.14	1.96±0.22	1.94±0.15
1365	3.23±0.17	3.3±0.3	3.47 ±0.19	3.25±0.32	3.37±0.30
1580			0.025±0.003 <sup>b)</sup>		

a) Intensities are measured with the bend-crystal spectrometer.

b) No gamma ray was found (69Si16).

Table 9.3 Experimental values of conversion electron intensities

Gamma-ray energy (keV)	Nagpal 68Na11 × 10 <sup>3</sup>	Abdul-Malek Naumann 68Ab01 Rel. Int.	Brown Ewan 65Br20 × 10 <sup>4</sup>	Van Wijngaaden Connor 64Va06 Int. per decay	Trehan et al. 63Tr05 α <sub>K</sub> × 10 <sup>3</sup>	Keister et al. 55Ke04 Rel. Int.
475	15.97± 3.2		1.41 ±0.06			3 ±1
563	55.00± 5.50	10.5±0.7	4.65 ±0.2			11.9±0.6
569	117.00±11.70	22.4±1.2	11.62 ±0.5		8.28±1	26 ±1
605	494.00±49.40	98.0	47.3 ±1.0	4.69 × 10 <sup>-3</sup>	5.5 ±0.4	100.
796	252.10±25.21	51.4±2.0	21.6 ±0.8			44 ±1
802	21.90± 4.4	4.5±1.0	2.26 ±0.1		2.6 ±0.3	3.9±0.5
1038	1.75± 0.18		0.167±0.009	(1.82±0.18) × 10 <sup>-5</sup>	1.53±0.2	0.43±0.08
1168	2.11± 0.20		0.204±0.010	(1.82±0.18) × 10 <sup>-5</sup>	0.9 ±0.2	0.49±0.08
1365	2.75± 0.27		0.241±0.010	(2.30±0.20) × 10 <sup>-5</sup>	0.7 ±0.15	0.49±0.08

Table 9.4 Relative intensities obtained from intensities per decay

Gamma-ray energy (keV)	Hofmann* et al. 70Ho06	Abdul-Malek* Naumann 68Ab01	Nagpal 68Na11	Raeside* et al. 67Ra10	Brown* Ewan 65Br20
242	<0.082			0.020 <sub>4</sub> ±0.010 <sup>a)</sup>	
326	<0.082			0.020 <sub>4</sub> ±0.010 <sup>a)</sup>	
475	1.60±0.082	1.43±0.18	1.66±0.11	1.54 ±0.14	1.54±0.15
563	9.03±0.46	8.88±0.79	8.82±0.47	9.14 ±0.71	8.5 ±0.8
569	16.3 ±1.0	15.31±1.19	13.64±0.72	16.13 ±0.72	14.6 ±1.4
605	100 ±6.1	100 ±7.3 <sup>b)</sup>	100 ±3.1	100 ±5.3 <sup>b)</sup>	100 ±7.5
796	87.7 ±4.4	90.2 ±6.6	89.2 ±4.6	89.6 ±4.8	90. ±9
802	8.87±0.45	9.39±0.76	8.10±0.43	9.12 ±0.66	9.0 ±1.5
1038	1.01±0.06	1.12±0.61	1.07±0.06	1.04 ±0.06	1.06±0.10
1168	1.90±0.10	1.94±0.15	2.06±0.14	2.00 ±0.20	1.99±0.17
1365	3.29±0.17	3.37±0.18	3.56±0.20	3.31 ±0.27	3.46±0.30

a) See footnote a) of Table 9.2.

b) Errors are our estimation.

Table 9.5 Average values of relative intensities

Gamma-ray energy (keV)	$w = 1/\epsilon^2$				$w = 1 \text{ or } 0$			
	Average		Error		Average		Error	
	value	Int.	Ext.	value	Int.	Ext.		
242	0.020 <sub>4</sub>	0.010 <sup>a)</sup>						
326	0.020 <sub>4</sub>	0.010 <sup>a)</sup>						
475	1.558	0.057	0.029	1.528	0.067	0.035		
563	8.88	0.29	0.14	8.89	0.32	0.14		
569	15.7	0.46	0.40	15.58	0.50	0.40		
605	100	3.2	0	100	3.3	0		
796	89.0	2.6	0.62	89.4	2.8	0.58		
802	9.03	0.33	0.11	9.10	0.44	0.11		
1038	1.035	0.036	0.012	1.06	0.16	0.023		
1168	1.971	0.042	0.020	1.958	0.069	0.023		
1365	3.363	0.096	0.039	3.36	0.10	0.038		

a) See footnote a) of Table 9.2.

Table 9.6 Experimental values of relative conversion electron intensities

Gamma-ray energy (keV)	Nagpal*	Abdul-Malek*	Brown*	Keister*
	68Na11	Naumann 68Ab01	Ewan 65Br20	et al. 55Ke04
475	3.23 $\pm$ 0.65		2.98 $\pm$ 0.13	3 $\pm$ 1
563	11.1 $\pm$ 1.1	10.71 $\pm$ 0.71	9.83 $\pm$ 0.42	11.9 $\pm$ 0.6
569	23.7 $\pm$ 2.4	22.9 $\pm$ 1.2	24.6 $\pm$ 1.1	26 $\pm$ 1
605	100 $\pm$ 10	100 $\pm$ 4 <sup>a)</sup>	100 $\pm$ 2.1	100 $\pm$ 4 <sup>c)</sup>
796	51.0 $\pm$ 5.1	52.5 $\pm$ 2.0	45.7 $\pm$ 1.7	44 $\pm$ 1 <sup>c)</sup>
802	4.43 $\pm$ 0.89	4.6 $\pm$ 1.0	4.78 $\pm$ 0.21	3.9 $\pm$ 0.5
1038	0.35 $\pm$ 0.036		0.353 $\pm$ 0.019	0.43 $\pm$ 0.08
1168	0.43 $\pm$ 0.041		0.431 $\pm$ 0.021	0.49 $\pm$ 0.08
1365	0.56 $\pm$ 0.055		0.510 $\pm$ 0.021	0.49 $\pm$ 0.08

a) Errors are our estimation

Table 9.7 Evaluated values of relative conversion electron intensities

Gamma-ray energy (keV)	$w = 1/\epsilon^2$				$w = 1 \text{ or } 0$			
	Evaluated		Error		Evaluated		Error	
	value	Int.	Ext.	value	Int.	Ext.		
475	2.99	0.12	0.034	3.07	0.40	0.081		
563	10.59	0.30	0.50	10.89	0.38	0.43		
569	24.61	0.60	0.71	24.28	0.76	0.67		
605	100	1.7	0	100	2.9	0		
796	45.77	0.78	1.75	48.3	1.5	2.0		
802	4.64	0.19	0.18	4.43	0.37	0.19		
1038	0.356	0.017	0.011	0.379	0.030	0.026		
1168	0.433	0.018	0.009	0.449	0.031	0.020		
1365	0.515	0.019	0.012	0.519	0.033	0.020		

Table 9.8 Theoretical values of conversion coefficients<sup>a)</sup>

Gamma-ray energy (keV)	E2 conversion coefficients					M1 conversion coefficients				
	$\alpha_K$ $\times 10^3$	$\alpha_L$ $\times 10^3$	$K/L$	$MNO/L$	$\alpha$ $\times 10^3$	$\alpha_K$ $\times 10^3$	$\alpha_L$ $\times 10^3$	$K/L$	$MNO/L$	$\alpha$ $\times 10^3$
475	9.52	1.45	6.54	0.25	11.3	13.0	1.67	7.77	0.26	15.1
563	6.04	0.88	6.86	0.25	7.14	8.54	1.09	7.83	0.26	9.91
569	5.88	0.85	6.88	0.25	6.94	8.32	1.06	7.83	0.26	9.65
605	5.03	0.72	6.98	0.25	5.93					
796	2.58	0.35	7.38	0.25	3.02					
802	2.54	0.34	7.39	0.25	2.97					
1038	1.43	0.19	7.69	0.25	1.67	2.00	0.25	7.97	0.26	2.32
1168	1.12	0.14	7.80	0.25	1.30					
1365	0.819	0.104	7.91	0.25	0.949					

a) These values are taken from ref. 68HaSe and the ratios of  $MNO/L$  are taken from ref. 75Dr.

Table 9.9 Adopted values of conversion coefficients

Gamma-ray energy (keV)	Conversion coefficient <sup>a),b)</sup> $\alpha_K \times 10^3$
475	$9.65 \pm 0.53$
563	$6.7 \pm 0.35$
569	$7.90 \pm 0.33$
605	5.03
796	2.58
802	2.54
1038	$1.73 \pm 0.10$
1168	1.12
1365	8.19

a) Conversion coefficients with errors are experimental values. These values are normalised to the theoretical values of  $5.03 \times 10^{-2}$  at 605 keV. Others are theoretical values obtained from ref. 68HaSe.

Table 9.10 Evaluated values of beta-ray branching ratios

Branch	Maximum energy (keV)	Branching ratio (%)
$\beta_1$	1454	$<0.005^a)$
$\beta_2$	891	$<0.045^a)$
$\beta_3$	658	$69.9 \pm 0.7$
$\beta_4$	416	$2.5 \pm 0.1$
$\beta_5$	89	$27.6 \pm 0.6$

a) These values are taken from ref. 64Va06.

Table 9.11 Evaluated values

Gamma ray	Energy (keV)	Relative intensity	Intensity per decay
$\gamma_1$	242	$0.020 \pm 0.010^a)$	$0.020 \pm 0.010$
$\gamma_2$	326	$0.020 \pm 0.010^a)$	$0.020 \pm 0.010$
$\gamma_3$	475	$1.56 \pm 0.06$	$1.52 \pm 0.08$
$\gamma_4$	563	$8.88 \pm 0.29$	$8.48 \pm 0.33$
$\gamma_5$	569	$15.7 \pm 0.5$	$15.3 \pm 0.7$
$\gamma_6$	605	$100.0 \pm 3.2$	$97.50 \pm 0.07$
$\gamma_7$	796	$89.1 \pm 2.7$	$85.08 \pm 0.42$
$\gamma_8$	802	$9.03 \pm 0.33$	$8.81 \pm 0.43$
$\gamma_9$	1038	$1.04 \pm 0.04$	$1.01 \pm 0.05$
$\gamma_{10}$	1168	$1.97 \pm 0.04$	$1.92 \pm 0.07$
$\gamma_{11}$	1365	$3.36 \pm 0.10$	$3.28 \pm 0.14$

a) See footnote a) of Table 9.2.

Table 9.12 Evaluated values for primary standard

Gamma ray	Energy (keV)	Intensity per decay (%)	Relative intensity (%)	Estimation
$\gamma_6$	605	97.50 $\pm$ 0.07	100.00	a)
$\gamma_7$	796	85.08 $\pm$ 0.42	87.26 $\pm$ 0.43	b)

- a) Beta transition to the first excited state is neglected. These values are obtained from the 605 keV and 1168 keV gamma-ray intensities.
- b) These values are obtained from the four gamma transition intensities to the first excited stated such as the 563 keV, 796 keV, 1038 keV and 1365 keV gamma rays. In the error estimation of the relative intensity the error of the 1168 keV gamma ray is not included.

### References

- 54Ve09 J. Verhaeghe and J. Demuynk, Compt. Rend. 239 (1954) 1474  
 55Ke04 G. L. Keister, E. B. Lee and F. H. Schmidt, Phys. Rev. 97 (1955) 451  
 59Gi49 R. K. Girgis and R. Van Lieshout, Nucl. Phys. 12 (1959) 672  
 60Ya03 Y. Yamamoto, Thesis, Osaka Univ. (1960)  
 63Se09 O. J. Segael, J. L. Demuunck, L. V. Dorikens-Vanpreat and M. Dorikens, Nucl. Phys. 43 (1963) 76  
 63Tr05 P. N. Trehan, J. D. French and M. Goodrich, Phys. Rev. 131 (1963) 2625  
 64Va06 W. Van Wijngaaden and R. D. Connor, Can. J. Phys. 42 (1964) 504  
 65Br20 R. A. Brown and G. T. Ewan, Nucl. Phys. 68 (1965) 325  
 66Ba57 E. Bashancy and A. Abd El-Haliem, ATKE 11-54 (1966) 316  
 67Ra10 D. E. Raeside, J. J. Reidy and M. L. Wiedenbeck, Nucl. Phys. A98 (1967) 54  
 68Ab01 A. Abdul-Malek and R. A. Naumann, Nucl. Phys. A106 (1968) 225  
 68HaSe R. S. Hager and E. C. Seltzer, Nuclear Data Tables A4 (1968) 1  
 68Na11 T. S. Nagpal, Can. J. Phys. 46 (1968) 2579  
 69Si16 B. Singh, A. H. Kukoc and H. W. Taylor, Can. J. Phys. 47 (1969) 1863  
 70Ho06 S. Hofmann, H. K. Walter and A. Weitsch, Z. Phys. 230 (1970) 37

### 10. $^{137}\text{Cs}$

$^{137}\text{Cs}$  は、 $\beta$ 崩壊して 662 keV の  $\gamma$ 線を放出する。この  $\gamma$ 線の崩壊あたりの強度を求めた。

- a) 実験値を Table 10.1 に示す。測定方法は 2 つあり、ひとつは  $\beta$ 線のスペクトルを解析し、基底状態と第1励起状態との  $\beta$ 転移の割合と、内部変換電子を測定し、 $\gamma$ 線の崩壊あたりの強度を求めたもの、もうひとつは、 $\gamma$ 線と  $\beta$ 線の強度測定により崩壊あたりの強度を求めたものである。
- b)  $\gamma$ 線と  $\beta$ 線の強度測定のうち、 $\beta$ - $\gamma$ 同時計数法により比較した精密な 2 つの実験の重み付平均より崩壊あたりの強度を求めた。 $\beta$ 線のスペクトルを解析する方法とは、系統的な差が、実験結果に見られる。これは、基底状態への  $\beta$ 転移が第2禁止転移でスペクトルが許容型ら大きくずれているためと思われる。

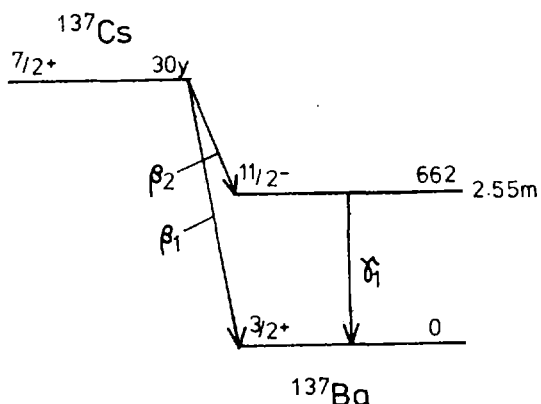
Fig. 10.1 Decay scheme of  $^{137}\text{Cs}$ 

Table 10.1 Experimental values of the gamma-ray intensity per decay

Author	intensity per decay (%)	Reference
Ricci	$84.3 \pm 2.1$	57Ri41
Yoshizawa	$81.4 \pm 0.9$	58Yo01
Daniel, Schmitt	$82.8 \pm 0.3$	62Da05
Merritt, Taylor	$85.7 \pm 0.9^*$	65Me03
Hsue et al.	$82.3 \pm 0.8$	66Hs02
Zarnowiecki	$84.6 \pm 0.6$	67Za
Hansen et al.	$85.1 \pm 0.4^*$	69Ha05

Table 10.2 Average values of the intensity per decay

$w = 1/\epsilon^2$			$w = 1$		
Average	Error		Average	Error	
value	Int.	Ext.	value	Int.	Ext.
85.2*	0.4*	0.2	85.4	0.5	0.3

Table 10.3 Experimental values of conversion coefficients

Author	$\alpha_K$	$K/L$	$K/LMN$	$\alpha$	Ref.
Kelly			$4.57 \pm 0.05$		52Ke02
Maerker, Birkhoff			$4.52 \pm 0.07$		53Ma14
Yoshizawa	$0.097 \pm 0.005$	$5.66 \pm 0.04$			58Yo01
Daniel, Schmitt	$0.093 \pm 0.003$				62Da05
Geiger et al.		$5.21 \pm 0.04^{\dagger}$			62Ge09
Merritt, Taylor	$0.0907 \pm 0.0010$			$0.1100 \pm 0.0011$	65Me03
Hsue et al.	$0.101 \pm 0.007$				66Hs02
Kartashov et al.		$5.29 \pm 0.23$			67Ka24
Baldinger, Haller		$5.25 \pm 0.30$			69Ba53
Hansen et al.	$0.0916 \pm 0.0004$		$4.41 \pm 0.04$	$0.1124 \pm 0.0006$	69Ha05
Planskoy			$4.35 \pm 0.04$		69Pl08
Legrand et al.	$0.0901 \pm 0.0011$			$0.1105 \pm 0.0010$	73Le30

† Calculated from the values of  $K=1 \pm 0.02$   $\Sigma L=0.192 \pm 0.006$ .

Table 10.4 Theoretical values of conversion coefficients

Item	Value	
Atomic Energy	Z	56
Multipolarity	keV	661.64
	M4	
Conversion coefficients	$\alpha_K$	9.26 (-2)
	$\alpha_{L1}$	1.33 (-2)
	$\alpha_{L2}$	1.88 (-3)
	$\alpha_{L3}$	1.54 (-3)
	$\alpha_L$	1.67 (-2)
	K/L	5.55
	MNO/L	0.27
	$\alpha$	0.114
	Gamma branch	$1/(1+\alpha)$
		0.898

Table 10.5 Evaluated value

Gamma ray	Energy (keV)	Intensity per decay	Estimation (%)
$\gamma_1$	662	$85.2 \pm 0.4$	a)

a) This value is obtained from ref. 65Me03 and ref. 68Ha05.

### References

- 52Ke02 W. C. Kelly, Phys. Rev. 85 (1952) 101  
 53Ma14 R. E. Maerker and R. D. Birkhoff, Phys. Rev. 89 (1953) 1159  
 57Ri41 R. A. Ricci, Physica 23 (1957) 693  
 58Yo01 Y. Yoshizawa, Nucl. Phys. 5 (1958) 122  
 62Da05 H. Daniel and H. Schmitt, Z. Phys. 168 (1962) 292  
 62Ge09 J. S. Geiger, R. L. Graham and F. Brown, Can. J. Phys. 40 (1962) 1258  
 63Ku09 T. J. Kurey, Jr. and R. R. Roy, Nucl. Phys. 44 (1963) 670  
 65Me03 J. S. Merritt and J. G. V. Taylor, Anal. Chem. 37 (1965) 351  
 66Hs02 S. T. Hsue, L. M. Langer and S. M. Tang, Nucl. Phys. 86 (1966) 47  
 66Ve01 L. J. Velinsky, M. A. Velinsky and S. K. Haynes, Proc. Intern. Conf. Internal Conversion Process, Nashville, Tenne. (1965)  
 67Ka24 V. M. Kartashov, O. V. Stakhov, A. G. Troitskaya and G. A. Shevelev, Soviet J. Nucl. Phys. 6 (1968) 656  
 67Za K. Zarnowiecki, Nucl. Instr. Methods 55 (1967) 329  
 68HaSe R. S. Hager and E. C. Seltzer, Nuclear Data A4 (1968) 1  
 69Ba53 E. Baldinger and E. Haller, Helv. Phys. Acta 49 (1969) 949  
 69Ha05 H. H. Hansen, G. Lowenthal, A. Spernol, W. van der Eijk and R. Vaninbröukx, Z. Phys. 218 (1969) 25  
 69Pl08 B. Planskoy, Nucl. Instr. Methods 73 (1969) 205  
 73Le30 J. Legrand, J. P. Brenthon and F. Lagoutine, CEA-R-4428 (1973)

### 11. $^{203}\text{Hg}$

$^{203}\text{Hg}$  は陰電子崩壊して、ほとんど 100% が 279 keV の励起状態に転移する。この励起状態から  $\gamma$  線を放出するが、20% 近くは内部変換により電子を放出する。それ故、この内部変換電子の強度または、全内部変換係数  $\alpha$  より崩壊あたりの  $\gamma$  線強度が求められる。幸い多くの内部変換係数の実験がある。

a) 基底状態への  $\beta$  転移の上限が測定されている。それから  $\log ft > 12$  をする。この転移は一義的第 1 禁止転移であり、この  $\log ft$  値は大きいが、この付近で  $^{194}\text{Au}$  の  $\log ft = 11.2$  の例がある。内部変換係数の精度とくらべてこの  $\beta$  転移は無視することができる。

b) K殻内部変換係数の測定は非常に多い。 $L_1, L_{II}, L_{III}, M$ 殻係数の測定もある。この転移は M1 と E2 の混合だけでは、これらの量をすべて説明することはできず、penetration effect を考慮に入れて説明されている (64He19, 74Ha29)。その結果、E2/M1 混合比は  $1.32 \pm 0.11$  ( $E2 = 57 \pm 2\%$ ) である。

$\gamma$  線強度と関係なく求められた内部変換係数と  $\gamma$  線の強度測定により求られたものがある。279 keV 付近に信頼できる標準がないので、 $\gamma$  線強度に関係するものは信頼性が低いと言わざるをえない。

$\gamma$  線強度の校正に関係しない  $\alpha_K$  は Night et al (58Ni28), Croft et al (6Cr14), Herrander and Graham (64He19) などがあり、これらの値は一致している。この3つの値を平均すれば、 $\alpha_K = 0.163 \pm 0.002$  となる。これに Herrlander and Graham の  $\alpha_L, \alpha_M, \alpha_{N+C}$  を使って、 $\alpha_L + \alpha_M + \alpha_{N+C} = 0.0637 \pm 0.0007$  を加えれば、 $\alpha = 0.227 \pm 0.002$  をえる。最近の Hansen and Mouchel (74Ha29) の値は  $\gamma$  線強度に関係しているが、この値とくらべて誤差の範囲程度であるが僅かに大きい。

$\alpha$  を測定した精度の高いものとして、Taylor, Walz et al と Hansen and Mouchel の3つの値がある。Walz et al のものは2つの値をえたがその間に誤差以上のちがいがあり、Hansen and Mouchel の測定は  $\gamma$  線強度に関係するところがある。しかし、これらは精度が高い  $\alpha$  の測定であるから、これら3つの  $\alpha$  の荷重1の平均値を採用し、これから  $\gamma$  線の崩壊あたりの強度を求めた。Walz et al の値は大きい方のみを採用した。

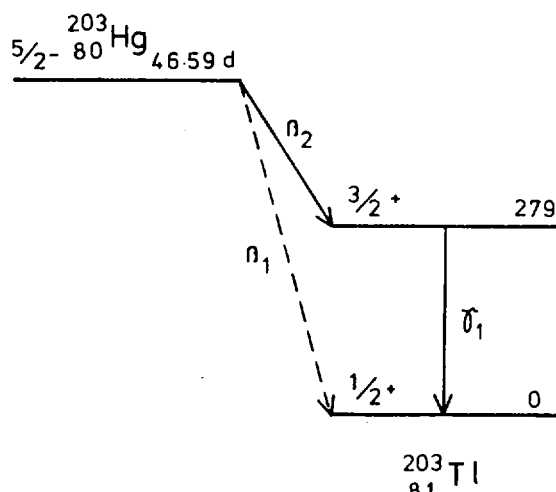


Fig. 11.1 Decay scheme of  $^{203}\text{Hg}$

Table 11.1 Beta transition to the ground state (unique 1st forbidden)

Author	Branch	Intensity (%)	log ft	Ref.
Marty	$\beta_1$	$< 4 \times 10^{-3}$	$< 12$	55Ma40
Wolfson		$< 3 \times 10^{-2}$		56Wo09

Table 11.2 Internal conversion coefficients for  $^{203}\text{Hg}$  279 keV gamma ray

Author	$\alpha_K$ $\times 10^3$	$K/L$	$K/LMN$	$L/MNO$	$\alpha$ $\times 10^3$	Ref.
Saxon	180	3		$\geq 12$		48Sa30
Släts, Siegbahn		3		$\ll 12$	247	49Sl16
Wilson, Curran	185		3.71			51Wi22
Heath, Bell	230 $\pm$ 10					52He18
Johansson	210 $\pm$ 10					52Jo23
Burford	158 $\pm$ 3		$2.59 \pm 0.04$		(219 $\pm$ 4)	53Bu79
Metzger	163 $\pm$ 6	3.5		3.2		54Me08
Thulin, Nyb��	154 $\pm$ 15		$2.78 \pm 0.20$			54Th17
Wapstra et al	141 $\pm$ 15	$3.34 \pm 0.10$	$2.55 \pm 0.05$	$3.5 \pm 0.3$		54Wa12
Marty	205 $\pm$ 20	$3.15 \pm 0.15$		$4.5 \pm 1.5$		55Ma40
Azuma	160			2.80		55Az54
Doerner, Weber	147 $\pm$ 2	3.29				55Do12
Bell, Skarsgard	140					56Be97
Nordling et al	159 $\pm$ 4	$3.24 \pm 0.05$				56No26
O'Friel, Weber	150 $\pm$ 10	3.2				56Of03
Wapstra, Nijgh	164 $\pm$ 5	$3.35 \pm 0.05$				56Wa
Wolfson	130 $\pm$ 10		2.75			56Wo09
Nejgh et al	163 $\pm$ 3	$3.39 \pm 0.06$	$2.60 \pm 0.06$	$3.28 \pm 0.10$	(226 $\pm$ 4)	58Ni28
Peelle	163 $\pm$ 6					60Pe22
Ramaswamy, Jastram	195 $\pm$ 14					60Ra04
Stockendal	160 $\pm$ 15					60St21
Hurley, Ferguson	175 $\pm$ 4					61Hu15
Subba Rao	150 $\pm$ 20	3.1				61Su05
Sujkowski	164 $\pm$ 4	$3.65 \pm 0.26$	$2.75 \pm 0.19$	$3.09 \pm 0.21$	(224 $\pm$ 4)	61Su10
Taylor	163.3 $\pm$ 1.7				226.2 $\pm$ 1.9	62Ta06
Burmeister et al	168 $\pm$ 8					63Bu09
Croft et al	162 $\pm$ 3					63Cr14
Herrlander et al	163 $\pm$ 3	$3.37 \pm 0.08$	$2.56 \pm 0.06$	$3.16 \pm 0.08$	(226.7 $\pm$ 3)	64He19
Taylor	164.2 $\pm$ 2.1				227.3 $\pm$ 2.4*	64He19
Walther et al					222 $\pm$ 15	65Wa13
Rao Jnanananda	158 $\pm$ 24				210 $\pm$ 30	65Ra12
Bosch et al	140 $\pm$ 30		$2.4 \pm 0.3$			67Bo
Andersen	127	$3.28 \pm 0.13$		$3.26 \pm 0.26$		69An
Walz et al					226.7 $\pm$ 0.7*	71Wa
Walz et al					224.0 $\pm$ 0.9	71Wa
Hansen, Mouchel	165.3 $\pm$ 1.7	$3.48 \pm 0.12$	$2.64 \pm 0.03$	$3.14 \pm 0.12$	227.9 $\pm$ 2.4*	74Ha29

Table 11.3 Theoretical internal conversion coefficients

Item		Value	
Atomic number	Z	81	
Energy (keV)		279.19	
Multipolarity		M1	E2
	$\alpha_K$	4.06 (-1)	7.67 (-2)
	$\alpha_{L1}$	6.21 (-2)	1.07 (-2)
Conversion	$\alpha_{L2}$	6.21 (-3)	2.40 (-2)
coefficients	$\alpha_{L3}$	4.68 (-4)	1.23 (-2)
	$\alpha_L$	6.88 (-2)	4.70 (-2)
	$K/L$	5.91	1.63
	$MNO/L$	0.31	0.32
	$\alpha$	0.497	0.139
Gamma branch	$1/(1+\alpha)$	0.668	0.878

Table 11.4 Average values of the total internal conversion coefficient. These values are obtained from three data of Taylor (62Ta06, 64He19), Walz et al. (71Wa) and Hansen and Mouchel (73Ha29).

$\alpha$	$w=1$		$w=1/\epsilon^2$		
	Error		Error		
	Int.	Ext.	Int.	Ext.	
0.2273	0.0003	0.0012	0.2268	0.0006	0.0004

Table 11.5 Evaluation of gamma-ray intensity per decay

Item		Value	
$\beta_1$		neglect	
Other gamma ray		neglect	
Adopted value of $\alpha$		$0.2273 \pm 0.0012$	
Adopted value of $\gamma_1$		$81.48 \pm 0.08\%$	

## References

- 48Sa30 D. Saxon, Phys. Rev. 74 (1948) 849  
 49Sl16 H. Släts and K. Siegbahn, Phys. Rev. 75 (1949) 318  
 51Wi22 H. W. Wilson and S. C. Curran, Phil. Mag. 42 (1951) 762  
 52He18 R. L. Heath and P. R. Bell, Phys. Rev. 87 (1952) 176A  
 52Jo23 S. A. E. Johansson, Ark. Fys. 3 (1952) 533  
 53Bu79 A. O. Burford, Thesis Vanderbilt University, TID 15. 684 (1953)  
 54Me08 F. R. Metzger, Private communication (1954)  
 54Th17 S. Thulin and K. Nubö, Ark. Fys. 7 (1954) 289  
 54Wa12 A. H. Wapstra, D. Maeder, G. J. Nijgh and L. Th. M. Ornstein, Physica 20 (1954) 169

- 55Az54 T. Azuma, Bull. Naniwa University 3A (1955) 327  
 55Do12 R. K. Doerner and A. H. Weber, Phys. Rev. 99 (1956) 672  
 55Ma40 N. Marty, Compt. rend. 240 (1955) 291  
 56Be97 R. E. Bell and H. M. Skargard, Can. J. Phys. 34 (1956) 745  
 56No26 C. Nordling, K. Siegbahn, E. Sokolowski and A. H. Wapstra, Nucl. Phys. 1 (1956) 326  
 56Of03 Z. O'Friel and A. H. Weber, Phys. Rev. 101 (1956) 1076  
 56Wa A. H. Wapstra and G. J. Nijgh, Nucl. Phys. 1 (1956) 245  
 56Wo09 J. L. Wolfson, Can. J. Phys. 34 (1956) 256  
 58Ni28 G. J. Nijgh, A. H. Wapstra, L. Th. M. Ornstein, N. Salomons-Grobben, J. R. Huisenga and O. Almen, Nucl. Phys. 9 (1958) 528 & 545  
 60Pe22 R. W. Peelle, ORNL-3016 (1960) p. 116  
 60Ra04 M. K. Ramaswamy and P. S. Jastram, Nucl. Phys. 15 (1960) 510  
 60St21 R. Stockendar, Ark. Fys. 17 (1960) 579  
 61Hu15 J. P. Hurley and J. M. Ferguson, Nucl. Phys. 27 (1961) 75  
 61Su05 B. N. Subba Rao, Proc. Ind. Acad. Sci. Sec. A53 (1961) 244  
 61Su10 Z. Sujkowski, Ark. Fys. 20 (1961) 243  
 62Ta06 J. G. V. Taylor, Can. J. Phys. 40 (1962) 383  
 63Bu09 R. Burmeister, H. Graber, J. Schintlmister and R. Weibrech, Nucl. Phys. 42 (1963) 56  
 63Cr14 W. L. Croft, B.-G. Pettersson and J. H. Hamilton, Nucl. Phys. 48 (1963) 267  
 64He19 C. J. Herrlander and R. L. Graham, Nucl. Phys. 58 (1964) 544  
 65Ra12 M. Raja Rao and S. Jnanananda, Nucl. Inst. Meth. 36 (1965) 261  
 65Wa13 A. Walther, E. Baumgartner and P. Huber, Helv. Phys. Acta 38 (1965) 514  
 67Bo H. E. Bosch, E. Szichman, A. Baseggio and R. Dolinkue, Nucl. Inst. Meth. 52 (1967) 289  
 69An V. Andersen, Risø report no. 195 (1969)  
 71Wa K.-F. Walz, H. M. Weiss and E. Funck, Jahresbericht der PTB (1971) p. 150  
 74Ha29 H. H. Hansen and D. Mouchel, Z. Physik 267 (1974) 371

## 12. $^{24}\text{Na}$

$^{24}\text{Na}$ は $\beta$ 崩壊し、1369keV および 2754keV の $\gamma$ 線を放出する。これらの $\gamma$ 線の崩壊あたりの強度は 100%に近く、他に弱い $\gamma$ 線が測定されている。これら 2 つの強い $\gamma$ 線の強度を評価した。

- a)  $^{24}\text{Na}$ の崩壊で測定されている弱い $\gamma$ 線は 3867keV と 4239keV である。また、 $^{23}\text{Na}(p, \gamma)^{24}\text{Mg}$ などの核反応で 5236keV および 4239keV の励起状態から放射される弱い $\gamma$ 線が観測されている (Table 12. 2)。なお、 $^{24}\text{Mg}$ の第 1 励起状態への弱い $\beta$ 転移が測定されている。
- b) 1369keV および 2754keV の $\gamma$ 転移では、内部変換係数より内部電子対発生係数の方が大きい。内部電子対発生係数については多くの測定値がある。内部変換係数については理論値を、内部電子対発生係数については実験値を採用した。
- c) 評価を行った 2 つの $\gamma$ 線の誤差は、主に  $r_0$  と  $r_s$  の相対強度と内部電子対発生係数の誤差によるものである。

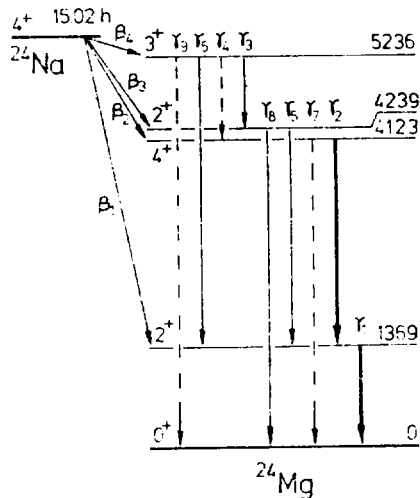
Fig. 12.1 Decay scheme of  $^{24}\text{Na}$ 

Table 12.1 Experimental values of relative intensities

Gamma ray	Energy (keV)	Artamonova et al. 60Ar	Monahan et al. 62Mo	VanKlinken et al. 68Va06	Lebowitz et al. 70Le12	Raman et al. 72Ra21
$\gamma_1$	1368.6	(100)	(100)	(100)	(100)	(100)
$\gamma_2$	2754	100	100	100	100	100
$\gamma_6$	3867	0.09 ± 0.02	0.075 ± 0.020	0.063 ± 0.006	0.0489 ± 0.0025*	
$\gamma_7$	4123					
$\gamma_8$	4239	0.0015 ± 0.0005	{ 0.008 ± 0.003 <sup>a</sup>		{ 0.0033 <sup>a</sup>	0.00084 ± 0.00010*
$\gamma_9$	5236	$2 \times 10^{-3}$	$7 \times 10^{-4}$			

a)  $\gamma_7$  and  $\gamma_8$  are not resolved.

Table 12.2 Experimental values of gamma-ray branching ratios in nuclear reactions and in the decay of  $^{24}\text{Al}$ 

Level energy (keV)	Gamma ray	Energy (keV)	Batchelor et al. 60Ba	Cohen Cookson 62Co	Meyer et al. 72Me09	Detraz 72De28
4239	$\gamma_5$	2871.0	1.0	1.00	23 ± 2	1.4 ± 0.4
	$\gamma_8$	4238.9	2.9 ± 0.5	3.44 ± 0.50	77 ± 2 <sup>a</sup>	3.6 ± 0.4 <sup>a</sup>
5236	$\gamma_3$	996.6		3	1.0 ± 0.5 <sup>a</sup>	
	$\gamma_4$	1113.2			1	
	$\gamma_6$	3867.2		92	99.0 ± 0.5 <sup>a</sup>	
	$\gamma_9$	5236		5	8	

a) The values of  $\gamma_8/\gamma_5$  are  $3.35 \pm 0.38$  and  $2.6 \pm 0.8$  for Meyer et al. and Detraz, respectively.

Table 12.3 Average values of gamma-ray branching ratio

Gamma ray	$w = 1/\epsilon^2$			$w = 1$		
	Error			Error		
	Average	Int.	Ext.	Average	Int.	Ext.
$\gamma_0$	1.00			1.00		
$\gamma_3$	3.19*	0.25*	0.16	3.07	0.28	0.39

Table 12.4 Theoretical values of internal conversion coefficients and internal pair formation coefficients

Item	Z	Value	
Atomic number		12	
Energy (keV)		1369	2754
Multipolarity		E2	E2
Conversion coefficient			
$\alpha_K$		9.43(-6)	2.58(-6)
$\alpha_L$		0.617(-6)	0.169(-6)
$K/L$		15.2	15.3
$M/L$		~0.05	~0.05
$\alpha$		10.1(-6)	2.76(-6)
Pair formation coefficient	$I'$	0.3(-4)	6.9(-4)
Gamma branch	$1/(1 + \alpha + I')$	0.99996	0.99931

Table 12.5 Experimental values of internal pair formation coefficients

Author	$I' \times 10^4$		Remarks	Reference
	1369 keV	2754 keV		
Rae		11.6 ± 1.0	$e^+/\beta$	49Ra
Mims et al.		7.6 ± 1.9	Ann./decay	50Mi
		8.25 ± 1.05	Ann./decay	50Mi
Cleland et al.		6.7 ± 1.0	Ann./decay	51Cl
Släts and Siegbahn	0.30	8.0 ± 0.5	$e^+/\beta$	52Sl
Bloom	0.6 ± 0.1*	7.1 ± 0.2*	$e^+/\beta$	52Bl
Spring	0.4 ± 0.3	6.6 ± 0.7	Triple coinc.	65Sp08

Table 12.6 Evaluation of intensities per decay and relative intensities

Item	Value	Remarks
$\beta_1/\beta_2$	$3 \times 10^{-5}$ <sup>a)</sup>	51Tu
$r'_1$	$99.9470 \pm 0.0027\%$	$1/\left[1 + \frac{\beta_1}{\beta_2} + \frac{I'_1}{I'_2} + \left(\frac{I'_1}{I'_2} + 1\right) \frac{I'_2}{I'_1}\right]$
$r'_1$	$99.99916 \pm 0.00010\%$	$1 - \frac{I'_2}{I'_1} r'_2$
$r'_1$	$99.9922 \pm 0.0010\%$	$r'_1/(1 + \alpha_1 + I'_1)$
$r'_2$	$99.8758 \pm 0.0034\%$	$r'_2/(1 + \alpha_2 + I'_2)$
$I'_1$	100.0000	$r'_2$
$I'_2$	$99.8836 \pm 0.0035\%$	$r'_1$

a) The error is estimated to be  $1 \times 10^{-3}$ .

### References

- 49Ra E. R. Rae, Phil. Mag. 40 (1949) 1155  
 50Mi W. Mims, H. Halban and R. Wilson, Nature 166 (1950) 1027  
 51Cl M. R. Cleland, J. Townsend and A. L. Hughes, Phys. Rev. 84 (1951) 298  
 51Tu J. F. Turner and P. E. Cavanagh, Phil. Mag. 42 (1951) 636  
 52Bl S. D. Bloom, Phys. Rev. 88 (1952) 312  
 52Sl H. Slatis and K. Siegbahn, Ark. Fys. 4 (1952) 485  
 60Ar K. P. Artamonova, L. V. Gustova, Yu. N. Podkopaev and O. V. Chubinskii JETP 12 (1961) 1109  
 60Ba R. Batchelor, A. J. Ferguson, H. E. Gove and A. E. Litherland, Nucl. Phys. 16 (1960) 38  
 62Co A. V. Cohen and J. A. Cookson, Nucl. Phys. 29 (1962) 604  
 62Mo J. E. Monahan, S. Raboy and C. C. Trail, Nucl. Phys. 33 (1962) 633  
 65Sp08 E. Spring, Phys. Lett. 18 (1965) 132  
 68Va06 J. VanKlinken, F. Pleiter and H. T. Dijkstra, Nucl. Phys. A112 (1968) 372  
 70Le12 J. Lebowitz, A. R. Sayres, C. C. Trail and B. Weber, Nuovo Cim. A65 (1970) 675  
 72De28 C. Detraz, Nucl. Phys. A188 (1972) 513  
 72Me09 M. A. Meyer, J. P. L. Reinecke and D. Reitmann, Nucl. Phys. A185 (1972) 625  
 72Ra21 S. Raman, N. B. Gove, J. K. Dickens and T. A. Walkiewicz, Phys. Lett. 40B (1972) 89

### 13. $^{57}\text{Co}$

$^{57}\text{Co}$  は電子捕獲により  $^{57}\text{Fe}$  に崩壊する。主な 14.4keV, 122keV, 136keV の  $\gamma$  線について評価値を求めるが、標準  $\gamma$  線として利用できるのは、122keV  $\gamma$  線のみである。707keV 動起状態への崩壊により、7 本の弱い  $\gamma$  線が観測されている。

- a) 14.4keV 動起状態への電子捕獲は観測されていないので、この近傍の第2禁止転移のうち、 $\log ft$  の一番小さい転移  $^{56}\text{Fe}(3/2^-) \rightarrow ^{57}\text{Co}_{30}(7/2^-)$  ( $\log ft = 10.9$ ) と  $\log ft$  が同じであるとして、電子捕獲の分岐比を求めた。この分岐比  $34 \times 10^{-3}$  となるので無視した。
- b) 内部変換係数は、14.4keV の  $\gamma$  線については実験値を使った。122keV 転移では M1-E2 混合比の実験値と M1, E2 の理論値から内部変換係数を求めた。136keV, 707keV 転移は E2, 他の転移は M1 として理論値を使用した。理論値の誤差は 10%とした。
- c) 122keV  $\gamma$  線の評価値の誤差は、内部変換係数の誤差と、弱い  $\gamma$  線による誤差によるものである。

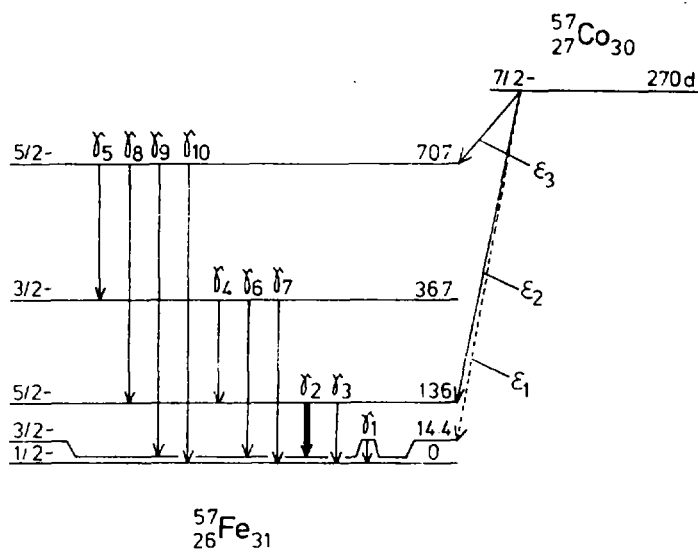
Fig. 13.1 Decay scheme of  $^{57}\text{Co}$ 

Table 13.1 Experimental values of relative intensities

Gamma ray	Energy (keV)	Feebiger et al. 62Fi05	Thomas et al. 63Th04	Kistner Sunyar 65Ki03	Mathiesen Hurley 65Ma38	Konijn Lingeman 71Ko19
$\gamma_1$	14.41				$10^6$	$11410 \pm 500$
$\gamma_2$	122.06		$900 \pm 20$	$800 \pm 50$	$(9.98 \pm 0.10) \cdot 10^5$	$10^5$
$\gamma_3$	136.47	100	100	100	$(1.20 \pm 0.01) \cdot 10^5$	$13000 \pm 400$
$\gamma_4$	230.2				$2 \pm 2$	$0.5 \pm 0.5$
$\gamma_5$	339.7				$29 \pm 3$	$4.5 \pm 0.4$
$\gamma_6$	352.5				$20 \pm 2$	$3.7 \pm 0.4$
$\gamma_7$	366.8				$7 \pm 1$	$1.5 \pm 0.4$
$\gamma_8$	570.1				$160 \pm 10$	$19.4 \pm 1.1$
$\gamma_9$	692.1	$1.24 \pm 0.20$			$1880 \pm 50$	$183 \pm 11$
$\gamma_{10}$	706.6				$55 \pm 6$	$6.2 \pm 0.6$

Table 13.2 Experimental values of intensities per decay

Gamma ray	Energy (keV)	Kistner Sunyar 65Ki03	Sprouse Hanna 65Sp06	Żarnowiecki 67Za	Konijn Lingeman 71Ko19
$\gamma_1$	14.41		8.370	$10.7 \pm 0.3$	$9.7 \pm 0.4$
$\gamma_2$	122.06		85.310	$85.3 \pm 1.5$	$85.2 \pm 0.4$
$\gamma_3$	136.47		10.740	$8.4 \pm 0.5$	$11.1 \pm 0.3$
$\gamma_4$	230.2	0.0005	0.0005		$0.0004 \pm 0.0004$
$\gamma_5$	339.7	0.0042	0.0048		$0.0038 \pm 0.0003$
$\gamma_6$	352.5	0.0032	0.0037		$0.0032 \pm 0.0003$
$\gamma_7$	366.8	0.0006	0.0007		$0.0013 \pm 0.0003$
$\gamma_8$	570.1	0.0132	0.0144		$0.0165 \pm 0.0009$
$\gamma_9$	692.1	0.137	0.159		$0.156 \pm 0.009$
$\gamma_{10}$	706.6	0.0057	0.0067		$0.0053 \pm 0.0005$

Table 13.3 Experimental values of conversion coefficients

Author	$\gamma_1$ 14.4 keV		$\gamma_2$ 122 keV		$\gamma_3$ 136 keV		Ref.
	$K/LMN$	$\alpha$	$\alpha_K$	$K/LMN$	$\alpha_K$	$K/LMN$	
Alburger Grace				$8.2 \pm 0.8$		$7.7 \pm 0.8$	54Al06
Lemmer et al.		$15 \pm 1$					55Le30
Cork et al.				$9.5 \pm 1.0^*$		$10 \pm 1.0^*$	55Co31
Belliard Moussa	$8.05 \pm 0.14^*$			$6.7 \pm 0.6$		$8.2 \pm 0.5$	57Be45
Thomas et al.		$9.94 \pm 0.60$					63Th04
Muir et al.		$9.5 \pm 0.5$					63Mu02
Hanna Preston		$8.9 \pm 0.7^*$					65Ha34
Nussbaum Housley		$9.0 \pm 0.4^*$					65Nu01
Kistner Sunyar		$8.9 \pm 0.6^*$					65Ki03
Kistner Sunyar		$9.0 \pm 0.5^*$					65Ki03
Moreau Ambrosino		$8.5 \pm 1.0^*$		$9.5 \pm 0.3$		$10.0 \pm 0.3$	65Mo22
Isaak Isaak		$9.2 \pm 0.5^*$					65Is02
Hall Albridge	$10.2 \pm 0.9$	$0.0214 \pm 0.0012$	$8.3 \pm 0.6$	$0.122 \pm 0.013$	$8.4 \pm 0.4$		67Ha06
Mukerji et al.		$0.0245 \pm 0.0030$			$0.151 \pm 0.018$		67Mu02
Rubinson Gopinathan		$8.17 \pm 0.26^*$					68Ru04

a) Errors are estimated by us.

b) Obtained from the values of  $K/L = 8.93 \pm 0.14$  and  $L/M = 9.1 \pm 0.5$ .

Table 13.4 Experimental values of E2/M1 mixing ratio for the 122 keV gamma ray

Author	$\delta(E2/M1)$	E2(%)	Ref.
Fox et al.	$0.120 \pm 0.002$	$1.42 \pm 0.05$	72Fo05
Schoeters et al.	$0.116 \pm 0.001$	$1.33 \pm 0.02$	73Sc15

Table 13.5 Theoretical values of conversion coefficients for Z = 26

Gamma-ray energy (keV)	M1				E2			
	$\alpha_K$ $\times 10^3$	$K/L$	$MNO/L$	$\alpha$ $\times 10^3$	$\alpha_K$ $\times 10^3$	$K/L$	$MNO/L$	$\alpha$ $\times 10^3$
122.06	18.8	10.1	0.15	20.9*	206	9.53	0.15	231*
136.47	14.1	10.1	0.15	15.7	134	9.64	0.15	150*
570.1	0.458	1.04	0.15	0.964*	0.819	10.3	0.15	0.910
692.1	0.302	1.04	0.15	0.636*	0.464	10.4	0.15	0.515

Table 13.6 Estimated errors for relative intensities

Gamma ray	Energy (keV)	Mathiesen* Hurley 65Ma38	Sprouse <sup>a)*</sup> Hanna 65Sp06	Konijn* Lingeman 71Ko19
$\gamma_1$	14.41		77.9 $\pm$ 5.1	87.8 $\pm$ 3.9
$\gamma_2$	122.06	832 $\pm$ 54	794 $\pm$ 52	769 $\pm$ 42 <sup>a)</sup>
$\gamma_3$	136.47	100 $\pm$ 6.5	100 $\pm$ 6.5	100.0 $\pm$ 5.5 <sup>a)</sup>
$\gamma_4$	230.2	0.0017 $\pm$ 0.0017		0.0038 $\pm$ 0.0038
$\gamma_5$	339.7	0.024 $\pm$ 0.003	0.045 $\pm$ 0.005	0.035 $\pm$ 0.003
$\gamma_6$	352.5	0.017 $\pm$ 0.002	0.034 $\pm$ 0.004	0.028 $\pm$ 0.003
$\gamma_7$	366.8	0.0058 $\pm$ 0.0008	0.0065 $\pm$ 0.0007	0.012 $\pm$ 0.003
$\gamma_8$	570.1	0.133 $\pm$ 0.017	0.134 $\pm$ 0.015	0.149 $\pm$ 0.009
$\gamma_9$	692.1	1.57 $\pm$ 0.17	1.48 $\pm$ 0.16	1.41 $\pm$ 0.09
$\gamma_{10}$	706.6	0.046 $\pm$ 0.006	0.062 $\pm$ 0.007	0.048 $\pm$ 0.005

a) Errors are estimated by us.

Table 13.7 Average values of relative intensities

Gamma-ray energy (keV)	$w = 1/\varepsilon^2$			$w = 1$		
	Average* value	Int.	Error Ext.	Average value	Int.	Error Ext.
14.41	84.2*	3.1	4.7*	82.9	3.2	4.9
122.06	793*	28*	18	798	29	18
136.47	100.0*	3.5*	0	100.0	3.6	0
230.2				0.0038 <sup>a)*</sup>	0.0038 <sup>a)*</sup>	
339.7	0.0320*	0.0020	0.0052*	0.0345	0.0022	0.0059
352.5	0.0232*	0.0016	0.0052*	0.0265	0.0018	0.0052
366.8	0.0063*	0.0005	0.0007*	0.0080	0.0011	0.0018
570.1	0.1436*	0.0068*	0.0053	0.1389	0.0081	0.0052
692.1	1.446*	0.069*	0.042	1.485	0.084	0.046
706.6	0.0504*	0.0032	0.0046*	0.0520	0.0034	0.0052

a) This value is adopted from Table 13.6 (71Ko19).

Table 13.8 Average values of the conversion coefficient and the mixing ratio

Gamma-ray energy (keV)	Item	$w = 1/\varepsilon^2$			$w = 1$		
		Average value	Int.	Error Ext.	Average value	Int.	Error Ext.
14.41	$\alpha$	8.63*	0.17	0.17*	8.81	0.23	0.13
122.06	$\delta$	0.117	0.001	0.016	0.118*	0.001	0.002*

Table 13.9 Adopted values of conversion coefficients

Gamma ray	Energy (keV)	Multi-polarity	$\alpha_K \cdot 10^3$	$K'L$	$MNO/L$	$\alpha \cdot 10^3$
$\gamma_1$	14.41	M1 + E2				8630 $\pm$ 170
$\gamma_2$	122.06	M1 + E2	21.4	10.02	0.15	23.8
$\gamma_3$	136.47	E2	134	9.64	0.15	150

Table 13.10 Evaluated values

Gamma ray	Energy (keV)	Gamma-ray intensity per decay (%)
$\gamma_1$	14.41	9.09 ± 0.18
$\gamma_2$	122.06	85.4 ± 0.6
$\gamma_3$	136.47	10.8 ± 0.5

## References

- 54Al06 D. E. Alburger and M. A. Grace, Proc. Phys. Soc. (London) 67A (1954) 280  
 55Le30 H. R. Lemmer, O. J. A. Segaert and M. A. Grace, Proc. Phys. Soc. (London) 68A (1955) 701  
 55Co31 J. M. Cork, M. K. Brice and L. C. Schmid, Phys. Rev. 99 (1955) 703  
 57Be45 J. B. Bellicard and A. Moussa, J. Phys. radium 18 (1957) 115  
 62Fi05 N. F. Fiebiger, W. R. Kane and R. E. Segel, Phys. Rev. 125 (1962) 2031  
 63Th04 H. C. Thomas, C. F. Griffin, W. E. Phillips and E. C. Davis Jr., Nucl. Phys. 44 (1963) 268  
 63Mu02 R. H. Muir, Jr., E. Kankeleit and F. Boehm, Phys. Letters 5 (1963) 161  
 65Ha34 S. S. Hanna and R. S. Preston, Phys. Rev. 139 (1965) A722  
 65Nu01 R. H. Nussbaum and R. M. Housley, Nucl. Phys. 68 (1965) 145  
 65Ki03 O. C. Kistner and A. W. Sunyar, Phys. Rev. 139 (1965) B295  
 65Mo22 G. Moreau and G. Ambrosino, Compt. Rend. 261 (1965) 5438  
 65Is02 G. R. Isaak and U. Isaak, Phys. Letters 17 (1965) 51  
 65Ma38 J. M. Mathiesen and J. P. Hurley, Nucl. Phys. 72 (1965) 475  
 65Sp06 G. D. Sprouse and S. S. Hanna, Nucl. Phys. 74 (1965) 177  
 67Ha06 D. C. Hall and R. G. Albridge, Nucl. Phys. A91 (1967) 495  
 67Mu20 A. Mukerji, W. W. Walker and O. B. Dickins Jr., Nuovo Cimento 52B (1967) 225  
 67Za K. Żarnowiecki, Nucl. Instr. Methods 55 (1967) 329  
 68Ru04 W. Rubinson and K. P. Gopinathan, Phys. Rev. 170 (1968) 969  
 71Ko19 J. Konijn and E. W. A. Lingeman, Nucl. Instr. Methods 94 (1971) 389  
 72Fo05 R. A. Fox, W. D. Hamilton and M. J. Holmes, Phys. Rev. C5 (1972) 853  
 73Sc15 E. Schoeters, R. E. Silverans and L. Vanneste, Z. Phys. 260 (1973) 337

14.  $^{85}\text{Sr}$ 

$^{85}\text{Sr}$  は電子捕獲により崩壊し、514keV の  $\gamma$  線を放出する。この  $\gamma$  線は約99%で、他に弱い  $\gamma$  線が観測されている。

- a) 514keV  $\gamma$  線の内部変換係数の測定値は、誤差の範囲で M2 の理論値と一致している。しかし、測定値の精度が悪いのでよくわからないが、E3 混合の可能性がある。それ故、評価には、精度がよくないが、 $\alpha$  の実験値を使用した。
- b) 弱い  $\gamma$  線のうちで、514keV  $\gamma$  線の強度を定める上で必要なのは、869keV  $\gamma$  線である。この  $\gamma$  線は化学分離により減少したという報告 (71Bu08) もあるが、ここではその後の値を採用した。
- c) 514keV  $\gamma$  線の崩壊あたりの強度を決める上で問題になるのは、基底状態への電子捕獲転移である。この転移は  $9/2+ \rightarrow 5/2-$  の一義的第一禁止転移である。この転移強度の測定値はなく、実測することは困難である。 $\log ft$  が 9 程度であれば、1%以下ではあるが補正を要する。近傍の一義的第一禁止転移の  $\log ft$  値は Table 15.4 に示すように 8.0~11.6 である。質量数もスピンも同じ  $^{85}\text{Kr}$ ・ $^{85}\text{Rb}$  の転移が  $\log ft=9.1$  であるから、この値と同じであるとすれば、 $^{85}\text{Sr}$  の基底状態への転移は 0.4% となる。これを  $0.2 \pm 0.2\%$  として評価値に使用した。

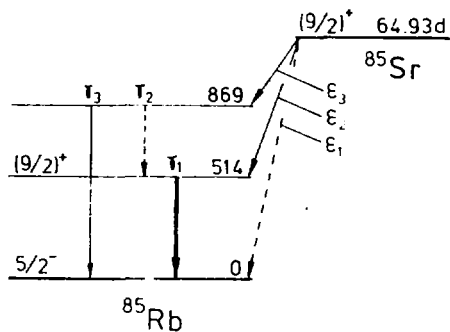
Fig. 14.1 Decayscheme of  $^{85}\text{Sr}$ 

Table 14.1 Experimental values of relative intensities

Gamma ray	Energy (keV)	Sattler 62Sa12	Vartanov et al. 66Va16	Bubb et al. 71Bu08	Vatai et al. 74Va02
$\gamma_1$	514.0	100	100	100	100
$\gamma_2$	356	0.002		no	$10^{-3}$
$\gamma_3$	869	{ 0.017	{ 0.010 $\pm$ 0.002	0.018	0.014 $\pm$ 0.002*
	880			< 0.006	no

Table 14.2 Experimental values of internal conversion coefficients for the 514 keV transition

Author	$\alpha_K \times 10^3$	$K/L$	$\alpha \times 10^3$	Ref.
Emmerich, Kurbatov	7	12 $\pm$ 3		52Em02
Sunyar et al.			8 $\pm$ 1*	52Su29
Alvager et al.		8.4		62Al11

Table 14.3 Theoretical values of internal conversion coefficients for the 514 keV transition

Item	Value		
Atomic number	Z	37	
Energy (keV)		514.0	
Multipolarity	M2	E3	
Conversion coefficients	$\alpha_K$ $\alpha_{L1}$ $\alpha_{L2}$ $\alpha_{L3}$ $\alpha_L$ $K/L$ $MNO/L$ $\alpha$	6.30(-3) 6.73(-4) 2.60(-5) 9.85(-6) 7.09(-4) 8.88 0.18 7.13(-3)	7.92(-3) 8.02(-4) 1.01(-4) 6.66(-5) 9.69(-4) 8.17 0.18 9.06(-3)
Gamma branch	$1/(1 + \alpha)$	0.993	0.991

Table 14.4 Log  $f_t$  values of the unique first forbidden transition for neighbouring nuclei

Nucleus		Spin-parity		log $f_t$
Parent	Daughter	$I_i$	$I_f$	
$^{78}\text{Se}$	$^{79}\text{Br}$	$7/2^+$	$3/2^-$	$\leq 10.8$
$^{81}\text{Kr}$	$^{81}\text{Br}$	$7/2^+$	$3/2^-$	11.6
$^{85}\text{Kr}$	$^{85}\text{Rb}$	$9/2^+$	$5/2^-$	9.1
$^{89}\text{Sr}$	$^{89}\text{Y}$	$5/2^+$	$1/2^-$	8.6
$^{91}\text{Y}$	$^{91}\text{Zr}$	$1/2^-$	$5/2^-$	8.5
$^{84}\text{Rb}$	$^{84}\text{Kr}$	$2^-$	$0^-$	8.7
$^{84}\text{Rb}$	$^{84}\text{Sr}$	$2^-$	$0^-$	9.0
$^{86}\text{Rb}$	$^{86}\text{Sr}$	$2^-$	$0^-$	8.5
$^{86}\text{Y}$	$^{86}\text{Sr}$	$4^-$	$2^-$	9.2
$^{90}\text{Y}$	$^{90}\text{Zr}$	$2^-$	$0^-$	8.0

Table 14.5 Evaluation of intensity per decay

Item	Value (%)	Ref.
$\alpha$ (exp.)	$0.8 \pm 0.1$	52Su29
$\gamma_8^+$	$0.014 \pm 0.002$	74Va02
$\varepsilon_1$	$0.2 \pm 0.2$	Estimated
$\gamma_1$	$99.0 \pm 0.3$	

## References

- 52Em02 W. S. Emmerich and J. D. Kurbatov, Phys. Rev. 85 (1952) 149  
 52Su29 A. W. Sunyar, J. W. Mihelich, G. Scharff-Goldhaber, M. Goldhaber, N. S. Wall and M. Deutsch, Phys. Rev. 86 (1952) 1023  
 62Al11 T. Alvager, H. Ryde and P. Thieberger, Ark. Fysik 21 (1962) 559  
 62Sa12 A. R. Sattler, Phys. Rev. 127 (1962) 854  
 66Va16 N. A. Vartanov, P. S. Samoilov and Yu. S. Tsaturov, Soviet J. Nucl. Phys. 3 (1966) 436; J. Nucl. Phys. (U.S.S.R.) 3 (1966) 598  
 71Bu08 I. F. Bubb, S. I. H. Naqvi and J. L. Wolfson, Nucl. Phys. A167 (1971) 252  
 74Va02 E. Vatal, A. C. Xenoulis, K. R. Baker, F. Tolea and R. W. Fink, Nucl. Phys. A219 (1974) 595

15.  $^{88}\text{Y}$ 

$^{88}\text{Y}$  は電子捕獲により  $^{88}\text{Sr}$  に崩壊し、898keV と 1836keV の  $\gamma$  線を放射する。これらの  $\gamma$  線の強度は約 94% と 99% である。その他にも 4 本の弱い  $\gamma$  線が測定されている。

- a) 1 次標準として使えるのは 1836keV  $\gamma$  線であり、898keV  $\gamma$  線の強度は強度測定によらねばならない。
- b) 1836keV  $\gamma$  線の内部変換係数の測定値があり、理論値より 17% 小さい。理論値の  $\alpha_K$  は Trusov の値を内挿したものであり、 $\alpha_L$  の理論値がないので、Hager and Seltzer の  $K L$  を外挿して求めた。評価値を求めるにあたっては、実験値を採用した。
- c) 弱い  $\gamma$  線のうち、1836keV  $\gamma$  線の評価値を求めるのに必要なものは、基底状態へ転移する 2734keV と 3219keV  $\gamma$  線である。
- d) 基底状態への陽電子転移は測定されていないが、 $4^- \rightarrow 0^+$  転移で、一義的第 3 禁止転移である。 $4^- \rightarrow 0^+$  の例として  $^{40}\text{K}$  があり、 $\log f_t$  は  $^{40}\text{K} \rightarrow ^{40}\text{Ca}$  と  $^{40}\text{K} \rightarrow ^{40}\text{Ar}$  でそれぞれ 18, 21 である。この値から  $^{88}\text{Sr}$  の基底状態への転移の分岐比は  $\leq 10^{-9}$  と推定されるので、これを無視した。

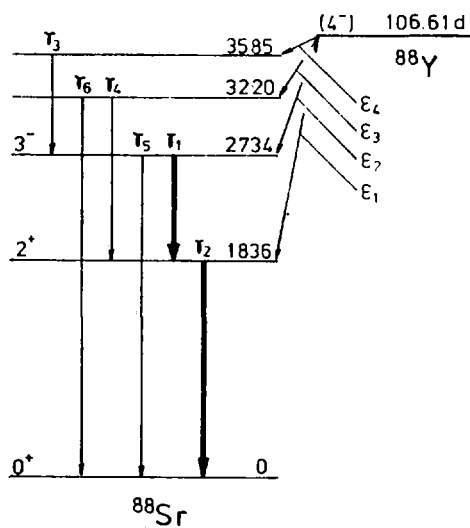
Fig. 15.1 Decay scheme of  $^{88}\text{Y}$ 

Table 15.1 Experimental values of intensities

Gamma ray	Energy (keV)	Relative intensity				Intensity per decay	
		Peelle 60Pe23	Shastry et al. 64Sh16	Sakai et al. 66Sa08	Zarnowiecki 67Za	Schätzig et al. 73Sc40	Ardisson et al. 74Ar12
$\gamma_1$	898.0	94.0 $\pm$ 0.7	91		92	94.3 $\pm$ 0.5*	91.4 $\pm$ 0.7
$\gamma_2$	1836	100	100	100	100		99.4 $\pm$ 0.1
$\gamma_3$	850.6					0.066 $\pm$ 0.013	
$\gamma_4$	1382		3			0.021 $\pm$ 0.006	
$\gamma_5$	2734		0.97	0.63 $\pm$ 0.04	0.63 $\pm$ 0.4	0.72 $\pm$ 0.07*	
$\gamma_6$	3219		0.03	0.0095 $\pm$ 0.003		0.0071 $\pm$ 0.0020*	

Table 15.2 Experimental values of internal conversion coefficients

Gamma-ray energy (keV)	$\alpha_K \times 10^4$	Peacock Jones Pe	Metzger Amacher 52Me50	Hamilton et al. 66Ha07	Allan 71Al06
898.0	$K/LMN$			3.01 $\pm$ 0.21	2.5 $\pm$ 0.3
	$\alpha \times 10^4$			7.0 $\pm$ 0.5	8.0 $\pm$ 0.2
1836	$\alpha_K \times 10^4$	2.7	3.4 $\pm$ 0.7	3.45 $\pm$ 0.24	2.8 $\pm$ 0.3
	$K/LMN$				1.24 $\pm$ 0.16
	$\alpha \times 10^4$				7.8 $\pm$ 0.3
2734	$\Gamma \times 10^4$	1.3	1.7 $\pm$ 0.4		1.40 $\pm$ 0.16*
	$I \times 10^4$				2.3 $\pm$ 0.3*
					3.3 $\pm$ 0.5

Table 15.3 Theoretical values of internal conversion coefficients

Item	Z	Value	
Atomic number		38	
Energy (keV)	898.0		1836
Multipolarity	E1		E2
	$\alpha_K$	2.73(-4)	1.45(-4)
	$\alpha_{L1}$	2.79(-5)	
Conversion	$\alpha_{L2}$	3.23(-7)	
coefficients	$\alpha_{L3}$	6.12(-7)	
	$\alpha_L$	2.89(-5)	
	$K/L$	9.45	9.23
	$MNO/L$	0.18	0.19
	$\alpha$	3.07(-4)	1.64(-4)
Gamma branch	$1/(1-\alpha)$	0.99969	0.99984

Table 15.4 Evaluation of intensities

Item	Value	Reference
$\gamma_5$	0.72 ± 0.07	74Ar12
$\gamma_6$	0.007 ± 0.002	74Ar12
$\alpha_2 \times 10^4$	1.40 ± 0.16	71Al06
$I_2 \times 10^4$	2.3 ± 0.3	71Al06
$\gamma_2$	99.24 ± 0.07	a)
$\gamma_1$	94.3 ± 0.5	73Sc40
$\gamma_1^+$	95.0 ± 0.5	

$$\text{a) } \gamma_1 = (1 - \gamma_5 - \gamma_6) / (1 + \alpha_1 \cdot I_1)$$

## References

- Pe W. C. Peacock and J. W. Jones, A. E. C. Report AECD-1812  
 52Me50 F. R. Metzger and H. C. Amacher, Phys. Rev. 88 (1952) 147  
 60Pe23 P. W. Peele, ORNL-3016 (1960) p. 110  
 64Sh16 S. Shastry and R. Bhattacharyya, Nucl. Phys. 55 (1964) 397  
 66Ha07 J. H. Hamilton, S. R. Amtey, B. van Nooijen, A. V. Ramayya and J. J. Pinajian, Phys. Letters 19 (1966) 682  
 66Sa08 M. Sakai, T. Yamazaki and J. M. Hollander, Nucl. Phys. 84 (1966) 302  
 67Za K. Zarnowiecki, Nucl. Inst. Meth. 55 (1967) 329  
 71Al06 C. J. Allan, Nucl. Inst. Meth. 91 (1971) 117  
 73Sc40 U. Schötzig, K. Debertin and H. M. Weiss, PTB Mitteilungen 83 (1973) 307  
 74Ar12 G. Ardisson, S. Laribi and C. Marsol, Nucl. Phys. A223 (1974) 616

16.  $^{108m}\text{Ag}$ 

$^{108m}\text{Ag}$ は約90%が直接  $^{108}\text{Pd}$  に電子捕獲し、723keV, 614keV および 434keV の3本の $\gamma$ 線を放出する。残りの約10%は  $^{108}\text{Ag}$  の基底状態へ転移する。これら3本の強い $\gamma$ 線の強度の評価値を求めた。

- a) これら3本の $\gamma$ 線はカスケードに転移し、分岐による $\gamma$ 線は観測されていない。したがって、3本の $\gamma$ 線の相対強度は精度よく求められる。434keV  $\gamma$ 線には、 $^{108m}\text{Ag}$ の異性体転移を経由する成分がわずかに混入する。この割合は  $^{108}\text{Ag}$  (半減期2.4分) の崩壊のデータから求めた。
- b)  $^{108m}\text{Ag}$ の異性体転移の割合は、2つの方法で求められる。それは、434keV  $\gamma$ 線に対する633keV  $\gamma$ 線の相対強度から求めるものと 79keV  $\gamma$ 線の相対強度から求める方法である。これらの相対強度からそれぞれ算出した値は誤差の範囲内で一致しているので、その重みつき平均をとって評価値とした。79keV  $\gamma$ 線の内部変換係数には実験値を採用した。
- c) 崩壊あたりの強度の評価値の精度は、異性体転移の分岐比の誤差のため、相対強度のようによい精度で決ることはできなかった。

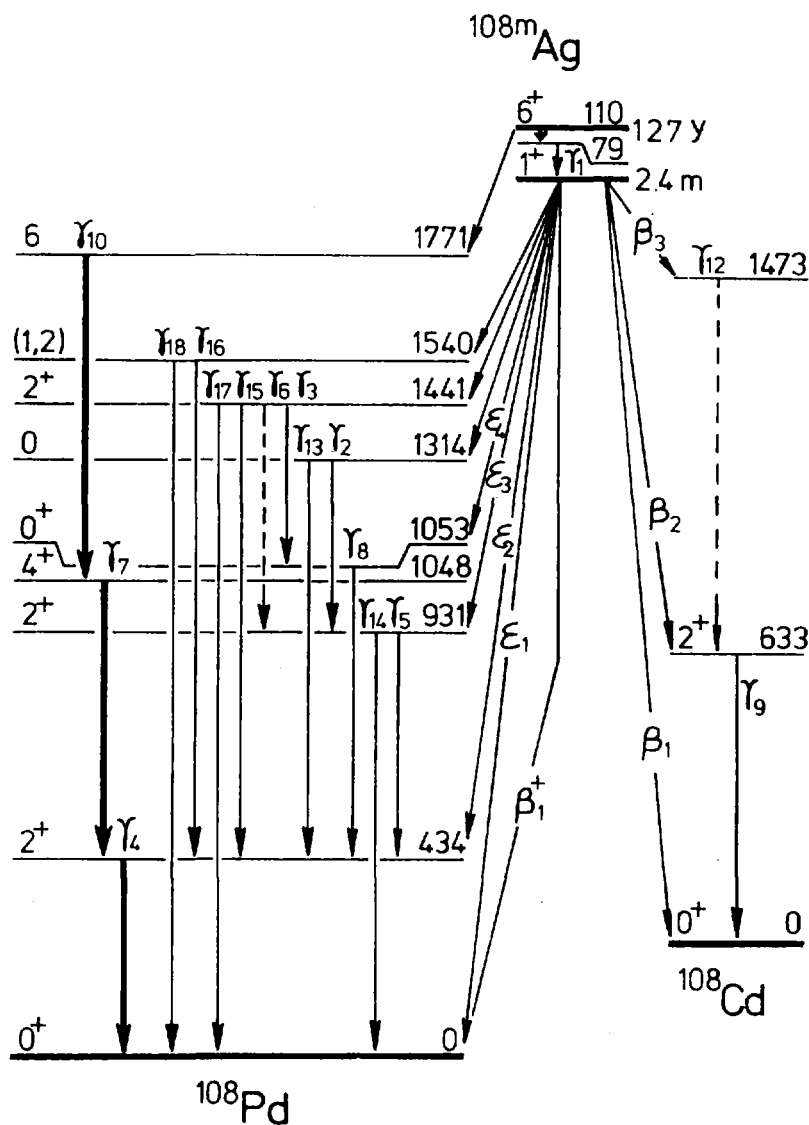
Fig. 16.1 Decay scheme of  $^{108m}\text{Ag}$

Table 16.1 Experimental values of relative intensities of gamma rays in the decay of  $^{106m}\text{Ag}$ 

Gamma ray	Energy (keV)	Wahlgren Meinke 60Wa10	Kistner Sunyar 66Ki03	Kracikova Kracik 68Kr04	Hamilton et al. 71Ha17	
					Vanderbilt	ORNL
$\gamma_1$	79.2	5.9	7.3 $\pm$ 0.8	8.3 $\pm$ 0.9		
	406			0.8 $\pm$ 0.4	0.012	0.011
$\gamma_4$	434.0	100	100	100	100	100
$\gamma_7$	614.4	100	103 $\pm$ 3	105 $\pm$ 10	98.8 $\pm$ 2.8	99.3 $\pm$ 2.0
$\gamma_9$	632.9			0.18 $\pm$ 0.07	0.16 $\pm$ 0.02	0.15 $\pm$ 0.01
$\gamma_{10}$	723.0	100	102 $\pm$ 3	102 $\pm$ 10	97.8 $\pm$ 2.8	100.4 $\pm$ 2.0
$\gamma_{11}$	837			0.06 $\pm$ 0.04	0.01	0.005 $\pm$ 0.003
	1020			1.0 $\pm$ 0.5	0.004	0.003

Table 16.2 Experimental values of relative intensities of internal conversion electrons in the decay of  $^{108m}\text{Ag}$ 

Transition	Energy (keV)	Wahlgren Meinke 60Wa10	Kistner* Sunyar 66Ki03
$\gamma_1$	79.2	$K$	204 $\pm$ 10
		$L$	25 $\pm$ 2
		$M + N$	6.1 $\pm$ 1.3
$\gamma_4$	434.0	$K$	100
		$L + M$	14.8 $\pm$ 2.3
$\gamma_7$	614.4	$K$	37 $\pm$ 3
		$L + M$	5.1 $\pm$ 1.6
$\gamma_{10}$	723.0	$K$	25.0 $\pm$ 1.2
		$L + M$	4.6 $\pm$ 0.8

Table 16.3 Experimental values of electron capture and beta branching in the decay of  $^{108}\text{Ag}$ 

Branch	Perlman et al. 53Pe16	Wahlgren Meinke 60Wa10	Frevert 62Fr02	Frevert* 65Fr01
$\beta_1$	97.3	93.8	95.0 $\pm$ 0.3	95.9 $\pm$ 0.3
$\beta_2$	0.8	1.90	1.73 $\pm$ 0.10	1.75 $\pm$ 0.10
$\beta_3$			$\sim$ 0.02	$\sim$ 0.02
$\beta_1^+$	0.14	0.36	0.28 $\pm$ 0.02	0.28 $\pm$ 0.02
$\epsilon_1$	1.5	3.35	2.49 $\pm$ 0.25	1.73 $\pm$ 0.12
$\epsilon_2$	0.06	0.18	0.19 $\pm$ 0.03	0.19 $\pm$ 0.03
$\epsilon_4$	0.22	0.42	0.26 $\pm$ 0.03	0.27 $\pm$ 0.03

Table 16.4 Experimental values of relative intensities of gamma rays in the decay of  $^{108}\text{Ag}$ 

Gamma ray	Energy (keV)	Johnson et al. 71Jo07	Johnson <sup>a)</sup> et al. 71Jo07	Okano et al. 71Ok01	Singhal et al. 73Si02
$\gamma_2$	383				$0.18 \pm 0.06$
$\gamma_3$	389			0.2	$0.37 \pm 0.12$
$\gamma_4$	434.0	$26.6 \pm 0.06$	100	100	100
$\gamma_5$	497	$0.07 \pm 0.04$	$0.26 \pm 0.15$	$0.25 \pm 0.09$	$0.45 \pm 0.11$
$\gamma_6$	510 <sup>b)</sup>	$25.7 \pm 0.6^c)$			$0.7^d)$
$\gamma_7$	618.9	$14.6 \pm 0.4$	$54.9 \pm 1.6$	$54.1 \pm 2.4$	$52.4 \pm 2.6$
$\gamma_8$	632.9	190	$375.9 \pm 8.5$	$355.1 \pm 14.9$	$349.6 \pm 17.5$
$\gamma_{12}$	841	$\leq 0.04$	$\leq 0.15$	0.1	
$\gamma_{13}$	880	$0.12 \pm 0.02$	$0.45 \pm 0.08$	$0.65 \pm 0.03$	$0.64 \pm 0.05$
$\gamma_{14}$	931	$0.025 \pm 0.012$	$0.094 \pm 0.045$	$0.091 \pm 0.016$	$0.11 \pm 0.01$
$\gamma_{15}$	1007	$0.79 \pm 0.08$	$2.97 \pm 0.33$	$2.71 \pm 0.11$	$2.79 \pm 0.14$
$\gamma_{16}$	1106	$0.13 \pm 0.01$	$0.49 \pm 0.04$	$0.26 \pm 0.02$	$0.33 \pm 0.03$
$\gamma_{17}$	1441	$0.14 \pm 0.02$	$0.53 \pm 0.08$	$0.56 \pm 0.04$	$0.61 \pm 0.04$
$\gamma_{18}$	1540	$0.040 \pm 0.015$	$0.15 \pm 0.06$	$0.20 \pm 0.02$	$0.21 \pm 0.02$

a) Normalized at the 434 keV gamma ray intensity.

b) Energies of 510.8 keV and 510.1 keV are reported by Johnson et al. and by Singhal et al., respectively.

c) Possible composite of annihilation radiation and a weak gamma ray.

d) Derived from intensity balance.

Table 16.5 Average values of relative intensities of gamma rays in the decay of  $^{108}\text{Ag}$ 

Gamma ray	Energy (keV)	$w = 1/\varepsilon^2$		$w = 1$		Remarks		
		Intensity		Error				
		Int.	Ext.	Int.	Ext.			
$\gamma_1$	79.2	7.74	0.60	0.50	7.80*	0.60	0.71*	66Ki03 68Kr04
$\gamma_4$	434.0	100			100			
$\gamma_9$	632.9	0.152	0.009	0.004	0.155*	0.011*	0.007	71Ha17

Table 16.6 Theoretical values of internal conversion coefficients

Atomic number	Z	46		47		48
Transition energy	keV	434.0	614.4	723.0	79.2	632.9
Multipolarity		E2	E2	E2	E1	E2
$\alpha_K$		7.87(-3)	2.92(-3)	1.91(-3)	0.271	3.01(-3)
$\alpha_{L1}$		8.35(-4)	3.15(-4)	2.07(-4)	2.59(-2)	3.29(-4)
$\alpha_{L2}$		9.94(-5)	2.47(-5)	1.33(-5)	3.08(-3)	2.84(-5)
$\alpha_{L3}$		8.37(-5)	1.95(-5)	1.03(-5)	4.62(-3)	2.14(-5)
$\alpha_L$		1.02(-3)	3.59(-4)	2.30(-4)	3.36(-2)	3.79(-4)
$K'L$		7.73	8.12	8.28	8.08	7.95
$MNO, L$		0.22	0.22	0.22	0.23	0.23
$\alpha$		9.11(-3)	3.36(-3)	2.19(-3)	0.312	3.48(-3)
$1/(1-\alpha)$		0.99097*	0.99665*	0.99781*	0.7622	0.99653*

Table 16.7 Evaluated values of internal conversion coefficients

Atomic number Transition energy Multipolarity	Z keV	46	47
		434.0 E2	614.4 E2
		723.0 E2	79.2 E1
$\alpha_K$		7.87(-3) <sup>a)</sup>	0.206 ± 0.030
K/LMN		6.8 ± 1.0	7.3 ± 2.3
$\alpha$			5.4 ± 1.0
$1/(1-\alpha)$			6.56 ± 0.60
			0.237 ± 0.034
			0.808 ± 0.022*

a) Theoretical value.

Table 16.8 Average values of relative intensities of gamma rays in the decay of  $^{108}\text{Ag}$ 

Gamma ray	Energy (keV)	$w = 1/\epsilon^2$			$w = 1$		
		Intensity	Error		Intensity	Error	
			Int.	Ext.		Int.	Ext.
$\gamma_4$	434.0	100			100*		
$\gamma_5$	497	0.32	0.06	0.07	0.32	0.07	0.07
$\gamma_8$	618.9	54.2	1.2	0.7	53.8	1.3	0.7
$\gamma_9$	632.9	367.6	6.8	7.9	360.2*	8.2*	8.0
$\gamma_{13}$	880	0.629	0.025	0.041	0.580	0.033	0.065
$\gamma_{14}$	931	0.104	0.008	0.006	0.098*	0.016*	0.006
$\gamma_{15}$	1007	2.76	0.08	0.05	2.82	0.12	0.08
$\gamma_{16}$	1106	0.312	0.015	0.056	0.360	0.018	0.068
$\gamma_{17}$	1441	0.579	0.027	0.021	0.567*	0.033*	0.023
$\gamma_{18}$	1540	0.202	0.014	0.009	0.187*	0.022*	0.019

Table 16.9 Evaluated values of intensities per decay of two gamma rays in the decay of  $^{108}\text{Ag}$ 

Gamma ray	Energy (keV)	Intensity per decay <sup>a)</sup> (%)
$\gamma_4$	434.0	0.48 ± 0.07
$\gamma_9$	632.9	1.73 ± 0.25

$$a) \quad r_i = \frac{r_i^+(1.0014 - \beta_1 - \beta_1^+ - \epsilon_1)/1.0014}{r_i^+(1+\alpha_4) + r_9^+(1+\alpha_9) + r_{14}^+ + r_{17}^+ + r_{18}^+}$$

Table 16.10 Evaluation of intensities per decay and relative intensities of gamma rays in the decay of  $^{108m}\text{Ag}$

Item	Value	Remarks
$h_1^a)$	$0.090 \pm 0.014$	$(\gamma_8^+(m)/\gamma_4^+(m))/\gamma_9(g)$
$h_2^a)$	$0.096 \pm 0.007$	$(1+\alpha_1)\gamma_1^+(m)/\gamma_4^+(m)$
$h$	$0.095 \pm 0.007$	Weighted average of $h_1$ and $h_2$
$f^b)$	$8.6 \pm 0.6\%$	$[1+(1/h-\gamma_4(g))(1+\alpha_4)]^{-1}$
$\gamma_4(^{108m}\text{Ag})$	$90.6 \pm 0.6\%$	$(1-f)/(1+\alpha_4)+f\gamma_4(g)$
$\gamma_7(^{108m}\text{Ag})$	$91.1 \pm 0.6\%$	$(1-f)/(1+\alpha_7)$
$\gamma_{10}(^{108m}\text{Ag})$	$91.2 \pm 0.6\%$	$(1-f)/(1+\alpha_{10})$
$\gamma_4^+(^{108m}\text{Ag})$	$99.36 \pm 0.09\%$	$[1/(1+\alpha_4)+f\gamma_4(g)/(1-f)](1+\alpha_{10})$
$\gamma_7^+(^{108m}\text{Ag})$	$99.88 \pm 0.04\%$	$(1+\alpha_{10})/(1+\alpha_7)$
$\gamma_{10}^+(^{108m}\text{Ag})$	100.00	

a) Ratio of the isomeric transition intensity to the 434 keV gamma-ray intensity.

b) Isomeric transition branching.

### References

- 53Pe16 M. L. Perlman, W. Bernstein and R. B. Schwartz, Phys. Rev. 92 (1953) 1236  
 60Wa10 M. A. Wahlgren and W. W. Meinke, Phys. Rev. 118 (1960) 181  
 62Fr07 L. Frevert, Z. Phys. 169 (1962) 456  
 64Ta13 H. W. Taylor and T. A. Eastwood, Can. J. Phys. 42 (1964) 2173  
 65Fr01 L. Frevert, R. Schönberg and A. Flammersfeld, Z. Phys. 182 (1965) 439  
 66Ki03 O. C. Kistner and A. W. Sunyar, Phys. Rev. 143 (1966) 918  
 68Kr04 T. I. Kracikova and B. Kracik, Czech. J. Phys. B18 (1968) 143  
 71Ha17 J. H. Hamilton, S. M. Brahmavar, J. B. Gupta, R. W. Lide and P. H. Stelson, Nucl. Phys. A172 (1971) 139  
 71Jo07 N. D. Johnson, J. H. Hamilton, A. F. Kluk and N. R. Johnson, Z. Phys. 243 (1971) 395  
 71Ok01 K. Okano, Y. Kawase, S. Uehara and T. Hayashi, Nucl. Phys. A164 (1971) 545  
 72Sc42 W. D. Schmidt-Ott and R. W. Fink, Z. Phys. 254 (1972) 281  
 73Si02 N. C. Singhal, N. R. Johnson, E. Eichler and J. H. Hamilton, Phys. Rev. C7 (1973) 774

### 17. $^{139}\text{Ce}$

$^{139}\text{Ce}$  は電子捕獲により  $^{139}\text{La}$  に崩壊し, 166 keV の  $\gamma$  線のみを放出する。

- a)  $^{139}\text{La}$  の基底状態への電子捕獲は測定されていないが、第2禁止転移である。この付近の第2禁止転移の  $^{137}\text{Cs}(7/2+) \rightarrow ^{137}\text{Ba}(3/2+)$  の  $\log ft$  が 12.1 であることから、 $\log ft=12$  を仮定すれば分岐比は  $4 \times 10^{-6}$  となるので、この転移を無視した。  
 b) 内部変換係数は実験値の荷重 1 の平均値を採用した。この値は理論値より 5 %ほど小さい。  
 c) 評価値の誤差は内部変換係数の誤差によるものである。

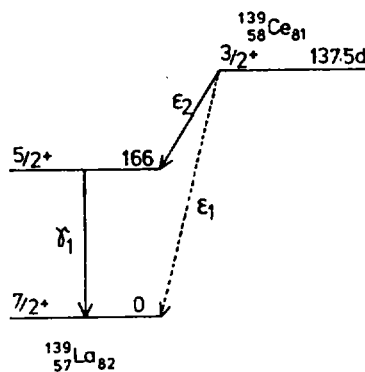
Fig. 17.1 Decay scheme of  $^{139}\text{Ce}$ 

Table 17.1 Experimental values of conversion coefficients

Author	$\alpha_K \times 10^3$	$K/LMN$	$\alpha \times 10^3$	Ref.
Pruett, Wilkinson	$0.20 \pm 0.05$	$6.6 \pm 0.3$		54Pr31
Mitchell, Hebb	0.22	$7.0 \pm 0.3$		54Mi56
Nussbaum, Van Lieshout	$0.20 \pm 0.01$			54Nu12
Kettelle et al.	$0.22 \pm 0.01$			56Ke23
Dzhelepov et al.		$8.1 \pm 0.5$		58Dz10
Jastrzebski		6.7		60Ja02
Taylor, Merritt			$0.2514 \pm 0.0011^*$	62Ta03
Geiger et al.		$5.86 \pm 0.13$		65Ge04
Hansen, Delabaye	$0.209 \pm 0.027$			67Ha45
Aristov, Bazhenov			$0.254 \pm 0.006^*$	71Ar43
Legrand et al.			$0.2446 \pm 0.0012$	73Le27
Morinaga, Hisatake	$0.207 \pm 0.009$			75Mo12

Table 17.2 Theoretical values of internal conversion coefficients

Item	Value		
Atomic number	$Z$	$57$	
Energy (keV)		165.85	
Multipolarity		M1	E2
Conversion coefficients			
$\alpha_K$	2.26(-1)		2.51(-1)
$\alpha_{L1}$	2.79(-2)		2.48(-2)
$\alpha_{L2}$	1.93(-3)		2.30(-2)
$\alpha_{L3}$	4.10(-4)		2.21(-2)
$\alpha_L$	3.03(-2)		6.98(-2)
$K/L$	7.46		3.60
$MNO/L$	0.26		0.26
$\alpha$	0.264		0.339
Gamma branch	$1/(1+\alpha)$	0.791	0.747

Table 17.3 Average values of the total internal conversion coefficient

Average value	$w=1$		$w=1/\epsilon^2$	
	Int.	Ext.	Average value	Error
0.2527*	0.0031*	0.0013	0.2515	0.0011

Table 17.4 Experimental values of E2/M1 mixing ratio

Author	$\delta(E2/M1)$	E2(%)	Reference
Knipper	-0.06	0.36	61Kn02
Grace et al.	$ \delta  < 0.02$	$< 0.040$	62Gr17
Haag et al.	$0.34 \pm 0.34$	$0.12 \pm 0.12$	63Ha07, 64Ha20

Table 17.5 Evaluation of the intensity per decay

Item	Value
$\varepsilon_1$	neglect
Adopted value of $\alpha$	$0.2527 \pm 0.0031$
Adopted value of $\gamma_1$	$79.83 \pm 0.20\%$

## References

- 54Mi56 A. C. G. Mitchell and E. Hebb, Phys. Rev. 95 (1954) 727  
 54Nu12 R. H. Nussbaum and R. van Lieshout, Physica 20 (1954) 440  
 54Pr31 C. H. Pruett and R. G. Wilkinson, Phys. Rev. 96 (1954) 1340  
 56Ke23 B. H. Ketelle, H. Thomas and A. R. Brosi, Phys. Rev. 103 (1956) 190  
 58Dz10 B. S. Dzhelepop, B. K. Preobrazhenskii, I. M. Rogachev and P. A. Tishkin, Izv. Akad. Nauk SSSR, Ser. Fiz. 22 (1958) 931  
 60Ja02 J. Jastrzebski, J. Phys. Radium 21 (1960) 12  
 61Kn02 A. Knipper, Ann. Phys. 6 (1961) 211  
 62Gr17 M. A. Grace, C. E. Johnson, R. G. Scurlock and R. T. Taylor, Phil. Mag. 7 (1962) 1087  
 62Ta03 J. G. V. Taylor and J. S. Merritt, Bull. Am. Phys. Soc. 7 (1962) 352, XA4  
 63Ha07 J. N. Haag, D. A. Shirley and D. H. Templeton, Phys. Rev. 129 (1963) 1601  
 64Ha20 J. N. Haag, Phys. Rev. 134 (1964) B509  
 65Ge04 J. S. Geiger, R. L. Graham, I. Bergström and F. Brown, Nucl. Phys. 68 (1965) 352  
 67Ha45 H. H. Hansen and M. Delabaye, Intern. At. Energy Agency, Vienna (1967) 361; CONF-661012 (1967)  
 71Ar43 E. A. Aristov and V. A. Bazhenov, Meas. Tech. (USSR) 14 (1971) 1883  
 73Le27 J. Legrand, M. Blondel and P. Magnier, Nucl. Instr. Methods 112 (1973) 101  
 75Mo12 A. Morinaga and K. Hisatake, J. Phys. Soc. Japan 38 (1975) 322

18.  $^{144}\text{Ce}$ ,  $^{144}\text{Pr}$ 

$^{144}\text{Ce}$  は主に  $^{144}\text{Pr}$  の基底状態へ  $\beta$  崩壊するが、崩壊にともない 133keV, 80keV のエネルギーの低い  $\gamma$  線を放射する。 $^{144}\text{Pr}$  は  $^{144}\text{Nd}$  に  $\beta$  崩壊し、弱い 696keV, 1489keV, 2185keV の  $\gamma$  線を放射する。また  $^{144}\text{Pr}$  の第1励起状態は7.2分の異性体であり、これから  $^{144}\text{Nd}$  に  $\beta$  崩壊する分岐もわずかにある。 $^{144}\text{Ce}$  の2本の  $\gamma$  線と  $^{144}\text{Pr}$  の3本の  $\gamma$  線について崩壊あたりの強度の評価値を求めた。いずれも、余り良い精度では求めらなかった。

- $^{144}\text{Ce}$  の  $\gamma$  線の相対強度は1970年代の値から求めた。内部変換係数は実験値と理論値が少しずれるので、 $\alpha_K$ ,  $\alpha_L$  については実験値を採用し、 $MNO/L$  比は理論値を採用した。
- $^{144}\text{Pr}$  の異性体から  $^{144}\text{Nd}$  への  $\beta$  崩壊の分岐は Fasching (70Fa03) の測定値があり、 $0.05 \pm 0.03\%$  である。
- $^{144}\text{Pr}$  の崩壊では数多くの  $\gamma$  線が放射されるが主なものは3本である。 $^{144}\text{Nd}$  の基底状態への  $\beta$  崩壊の分岐比からこれらの  $\gamma$  線の崩壊あたりの強度を求めると、約10%の精度でしか決まらない (Table 18.)

11)。 $4\pi\beta-\gamma$  同時計数による崩壊あたりの強度は精度よく観測されている (Table 18.12)。696keV と 2186keV  $\gamma$  線の相対強度を利用して、 $4\pi\beta-\gamma$  同時計数による 2 つの実験値を平均し、評価値を求めた。

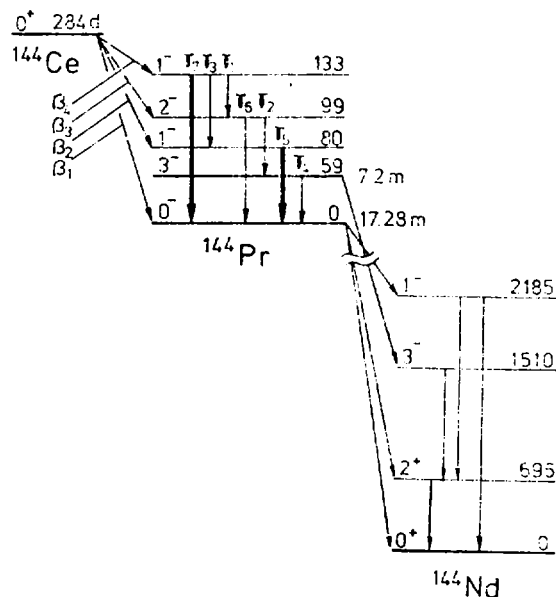


Fig. 18.1 Decay scheme of  $^{144}\text{Ce}$

Table 18.1 Experimental values of beta-ray branching ratios

Beta ray	Maximum energy (keV)	Branching ratio (%)				
		Emmerich et al. 54Em09	Pullman Axel 56Pu24	Hickok et al. 58Hi76	Freeman 59Fr54	Daniel Kaschl 66Da04
$\beta_1$	316	$70.5 \pm 5.0$	$76 \pm 5$	$65 \pm 5$	60	$75.7 \pm 0.8^*$
$\beta_2$	236			$5 \pm 2$	5	$4.6 \pm 0.3$
$\beta_3$	182		$24 \pm 5$	$30 \pm 5$	23	$19.7 \pm 0.5$
$\beta_4$	150				12	

Table 18.2 Experimental values of relative intensities

Gamma ray	Energy (keV)	Potnis et al. 70Po09	Anttila Piiparinne 70An15	Fashng et al. 70Fa03	Rao Rao 75Ra
$\gamma_1$	33.57	$2.3 \pm 0.2$	$2.0 \pm 0.5$	$1.4 \pm 0.5$	a)
$\gamma_2$	40.93	$5 \pm 4$	$4.4 \pm 1.5$	$4.6 \pm 2.3$	$7.2 \pm 0.4$
$\gamma_3$	53.41	$1.1 \pm 0.1$	$1.2 \pm 0.2$	$0.8 \pm 0.4$	$0.7 \pm 0.1$
$\gamma_4$	59.03		$\approx 0.01$	(not observed)	$0.03 \pm 0.02$
$\gamma_5$	80.12	$16 \pm 1$	$14.8 \pm 1.0$	$14.3 \pm 1.2^b$	$15.0 \pm 0.4$
$\gamma_6$	99.95	$0.39 \pm 0.04$	$0.36 \pm 0.05$	$0.35 \pm 0.04$	$0.6 \pm 0.1$
$\gamma_7$	133.53	$100 \pm 6$	$100 \pm 5$	$100 \pm 5^b$	$100 \pm 1$

a) Combined peak with X rays.

b) The error is estimated by us.

Table 18.3 Average values of relative intensities

Gamma ray	Energy (keV)	$w = 1/\epsilon^2$			$w = 1$		
		Average value	Error		Average value	Error	
			Int.	Ext.		Int.	Ext.
$\gamma_2$	40.93	4.5 <sup>a)</sup>	1.2	0.1	4.7 <sup>*a)</sup>	1.6*	0.6
$\gamma_3$	53.41	0.9	0.1	0.04	1.0	0.1	0.1
$\gamma_5$	80.12	15.1	0.3	0.2	15.0*	0.5*	0.5
$\gamma_6$	99.95	0.37 <sup>a)</sup>	0.02	0.01	0.37 <sup>*a)</sup>	0.03*	0.01
$\gamma_7$	133.53	100	3	0	100	3	0

a) The weight for  $^{75}\text{Ra}$  is taken to be zero.

Table 18.4 Experimental values of internal conversion coefficients

Gamma-ray energy (keV)	<i>K/L</i>	<i>L/M</i>	$\alpha_K$		$\alpha_L$
	54Em09	54Em09	58Hi76	70An15	70An15
33.57		3			4.5 $\pm$ 1.2
40.93		11			1.8 $\pm$ 0.6
53.41				6.6 $\pm$ 0.5	0.98 $\pm$ 0.10
59.03	1				$\approx$ 610
81.12	5	9	1.4 $\pm$ 0.24	2.5 $\pm$ 0.5*	0.31 $\pm$ 0.04*
99.95				1.4 $\pm$ 0.5	0.82 $\pm$ 0.30
133.53	8	$\geq 4$	0.76 $\pm$ 0.15	0.54 $\pm$ 0.12*	0.075 $\pm$ 0.015*

Table 18.5 Theoretical values of internal conversion coefficients

Atomic number Energy (keV) Multipolarity	Z	Value	
		59	133.53
		80.12 M1	M1
	$\alpha_K$	2.12	4.93(-1)
	$\alpha_{L1}$	2.67(-1)	6.21(-2)
Conversion coefficients	$\alpha_{L2}$	2.13(-2)	4.62(-3)
	$\alpha_{L3}$	4.29(-3)	9.20(-4)
	$\alpha_L$	2.92(-1)	6.77(-2)
	<i>K/L</i>	7.24	7.29
	<i>MNO/L</i>	0.27*	0.27*
	$\alpha$	2.49	0.579
Gamma branch	$1/(1 + \alpha)$	0.287	0.633

Table 18.6 Evaluation of intensities per decay

Item	Value	Reference
$\beta_1$	$75.7 \pm 0.8\%$	66Da04
$\gamma_2^+$ (Adopted)	$4.7 \pm 1.6\%$	
$\gamma_5^+$ (Adopted)	$15.0 \pm 1.0\%$	
$\gamma_6^+$ (Adopted)	$0.37 \pm 0.03\%$	
$\alpha_5$	$3.7 \pm 0.5^a)$	
$\alpha_7$	$0.64 \pm 0.12^a)$	
$\gamma_7$	$10.1 \pm 0.7\%^{b)}$	
$\gamma_5$	$1.5 \pm 0.1\%^{c)}$	

a) The value is obtained from the adopted values of  $\alpha_K$ ,  $\alpha_L$  in Table 18.4 and  $MNO/L$  in Table 18.5.

b)  $\gamma_7 = (1 - \beta_1) / ((1 + \alpha_7) + \gamma_2^+ + \gamma_5^+ (1 + \alpha_5) + \gamma_6^+)$

c) The value is obtained from the relative intensity  $\gamma_5^+$ .

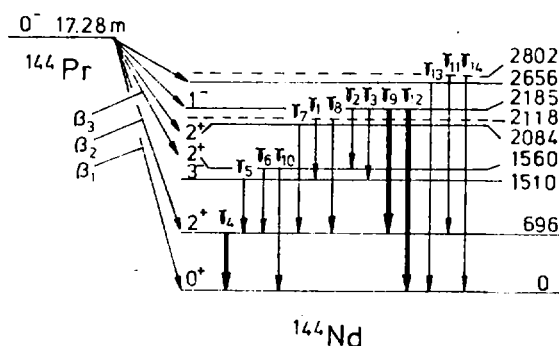
Fig. 18.2 Decay scheme of  $^{144}\text{Pr}$ 

Table 18.7 Experimental values of beta-ray branching ratios

Beta ray	Maximum energy (keV)	Branching ratio (%)	
		Emmerich et al. 54Em09	Hickok et al. 58Hi76
$\beta_1$	2996	$95.5 \pm 2.0$	$95 \pm 4$
$\beta_2$	2300	$1.7 \pm 1.0$	$3 \pm 2$
$\beta_3$	810	$2.8 \pm 1.0$	$2 \pm 1$

Table 18.8 Experimental values of relative intensities

Gamma ray	Energy (keV)	Raman 68Ra01	Mangal Trehan 69Ma24	Fashig et al. 70Fa23	Behar Grabowski 74Be09	Rao Rao 75Ra
$\gamma_1$	609					0.06 $\pm$ 0.02
$\gamma_2$	624.7	0.15 $\pm$ 0.04		0.045 $\pm$ 0.02	0.085 $\pm$ 0.015	0.09 $\pm$ 0.02
$\gamma_3$	675.0	0.23 $\pm$ 0.06		0.172 $\pm$ 0.017	0.207 $\pm$ 0.015	0.23 $\pm$ 0.01
$\gamma_4$	696.5	100	100	100	100	100
$\gamma_5$	814.2	0.29 $\pm$ 0.07		0.228 $\pm$ 0.022	0.245 $\pm$ 0.013	0.23 $\pm$ 0.01
$\gamma_6$	864.5	0.26 $\pm$ 0.07		0.156 $\pm$ 0.015	0.193 $\pm$ 0.012	0.19 $\pm$ 0.01
$\gamma_7$	1388	0.45 $\pm$ 0.11		0.42 $\pm$ 0.042	0.445 $\pm$ 0.016	0.39 $\pm$ 0.03
$\gamma_8$	1421					0.03 $\pm$ 0.01
$\gamma_9$	1489	20.2 $\pm$ 2.0	22 $\pm$ 2	19.5 $\pm$ 1.4	20.3 $\pm$ 0.7	20.0 $\pm$ 0.4
$\gamma_{10}$	1562				$\approx$ 0.017	0.11 $\pm$ 0.01
$\gamma_{11}$	2114	0.03 $\pm$ 0.008		0.016		0.03 $\pm$ 0.01
$\gamma_{12}$	2186	49.5 $\pm$ 5.0	64 $\pm$ 6	49.5 $\pm$ 3.5	52.2 $\pm$ 2.0	49.9 $\pm$ 1.0
$\gamma_{13}$	2655			0.011 $\pm$ 0.003	0.014 $\pm$ 0.002	0.011 $\pm$ 0.002
$\gamma_{14}$	2802					0.004 $\pm$ 0.002

Table 18.9 Average values of relative intensities<sup>a)</sup>

Gamma ray	Energy (keV)	$w = 1/\varepsilon^2$			$w = 1$		
		Average value	Error		Average value	Error	
			Int.	Ext.		Int.	Ext.
$\gamma_4$	696.5	100			100		
$\gamma_9$	1489	20.0	0.3	0.1	20.0*	0.6*	0.2
$\gamma_{12}$	2186	50.3	0.6	0.1	50.2*	1.3*	0.6

a) The weight for 69Ma24 is taken to be zero.

Table 18.10 Theoretical values of internal conversion coefficients

Item		Value		
Atomic number	Z	696.49	60	1489.15
Energy (keV)		E2		E1
Multipolarity				
Conversion coefficients	$\alpha_K$	4.27(-3)		3.96(-4)
	$\alpha_{L1}$	5.08(-4)		4.66(-5)
	$\alpha_{L2}$	7.93(-5)		1.11(-6)
	$\alpha_{L3}$	4.52(-5)		1.55(-6)
	$\alpha_L$	6.32(-4)		4.92(-5)
	$K/L$	6.75		0.805
	$MNO/L$	0.27		0.27
	$\alpha$	0.00507*		0.000459
Gamma branch	$1/(1 + \alpha)$	0.995		0.9995

Table 18.11 Calculation of intensities per decay from relative intensities and the beta-ray branching

Item	Value
$\beta_1$	$95.4 \pm 2.0\%$ <sup>a)</sup>
$\gamma_9^+$ (Adopted)	$20.0 \pm 0.6\%$
$\gamma_{12}^+$ (Adopted)	$50.2 \pm 1.3\%$
$\alpha_4$ (Theoretical)	0.00507
$\gamma_4$	$3.1 \pm 1.3\%$ <sup>b)</sup>
$\gamma_9$	$0.6 \pm 0.1\%$ <sup>c)</sup>
$\gamma_{12}$	$1.6 \pm 0.4\%$ <sup>c)</sup>

- a) The weighted average of the values of 54Em09 and 58Hi76.  
b) Obtained from the equation,  $\gamma_4 = (1 - \beta_1)/(1 + \alpha_4 + \gamma_{12}^+)$ .  
c) Obtained from the relative intensity.

Table 18.12 Experimental values of intensities per decay by means of  $4\pi\beta-\gamma$  coincidence measurements

Gamma ray	Energy (keV)	Porter, Day 59Po77	McIsaac 64Mc23
$\gamma_4$	696.5	$1.49 \pm 0.09\%$	
$\gamma_9$	1489	$0.29 \pm 0.03\%$	
$\gamma_{12}$	2186	$0.68 \pm 0.10\%$	$0.77 \pm 0.04\%$

Table 18.13 Evaluation of the intensity per decay in the decay of  $^{144}\text{Pr}$ 

Item	Value	Reference
$\gamma_4$	$1.49 \pm 0.09\%$	59Po77
$\gamma_{12}$	$0.77 \pm 0.04\%$	64Mc23
$\gamma_{12}^+$ (Adopted)	$50.2 \pm 1.3\%$	
$f$	$0.0151 \pm 0.0006$	a)

- a) Conversion factor  $f$  from the relative intensity to the intensity per decay. This value is the weighted average of  $\gamma_4$  and  $\gamma_{12}/\gamma_{12}^+$ .

Table 18.14 Evaluated values of  $^{144}\text{Pr}$ 

Gamma ray	Energy (keV)	Relative intensity (%)	Intensity per decay <sup>a)</sup> (%)
$\gamma_4$	696.5	100	$1.51 \pm 0.06$
$\gamma_9$	1489	$20.0 \pm 0.6$	$0.30 \pm 0.05$
$\gamma_{12}$	2186	$50.2 \pm 1.3$	$0.76 \pm 0.04$

- a) Obtained from  $\gamma_4 = f$ ,  $\gamma_9 = f\gamma_9^+$  and  $\gamma_{12} = f\gamma_{12}^+$ .

## References

- 54Em09 W. S. Emmerich, W. J. Auth and J. D. Kurbatov, Phys. Rev. 94 (1954) 110  
 56Pu24 I. Pullman and P. Axel, Phys. Rev. 102 (1956) 1366  
 58Hi76 R. L. Hicok, W. A. McKinley and S. C. Fultz, Phys. Rev. 109 (1958) 113  
 59Fr54 N. J. Freeman, Proc. Phys. Soc. (London) 74 (1959) 449  
 59Po77 F. T. Porter and P. P. Day, Phys. Rev. 114 (1959) 1286  
 64Mc23 L. D. McIsaac, IDO-17042, p. 43 (1964)  
 66Da04 H. Daniel and G. Th. Kaschl, Nucl. Phys. 76 (1966) 97  
 68Ra01 S. Raman, Nucl. Phys. A107 (1968) 402  
 69Ma24 P. C. Mangal and P. N. Trehan, J. Phys. Soc. Japan 27 (1969) 1  
 70Po09 V. R. Potnis, G. P. Agin and C. E. Mandevill, J. Phys. Soc. Japan 29 (1970) 539  
 70An15 A. Anttila and M. Piiparinens, Z. Phys. 237 (1970) 126  
 70Fa03 J. L. Fashing, W. B. Walters and C. D. Coryell, Phys. Rev. Cl (1970) 1126  
 74Be09 M. Behar, Z. W. Grabowski and S. Raman, Nucl. Phys. A219 (1974) 516  
 75Ra B. V. N. Rao and G. N. Rao, J. Phys. Soc. Japan 40 (1975) 1

19.  $^{207}\text{Bi}$ 

$^{207}\text{Bi}$  は、ほとんど電子捕獲により崩壊し、約98%の 570keV  $\gamma$  線と約75%の 1064keV の  $\gamma$  線を放射する。この2本の  $\gamma$  線の強度を評価した。

- a)  $^{207}\text{Bi}$  の陽電子崩壊の上限をおさえたものは Miller ら (59Mi19) のものが唯一であり、その値は0.5%である。  
 b) 570keV  $\gamma$  線の崩壊あたりの強度は 897keV  $\gamma$  線の相対強度より求めた。内部変換係数は、多くの実験があり、理論値と良く一致している。評価には Anderson ら (68An04) の実験値を採用した。  
 c) 1064keV  $\gamma$  線の崩壊あたりの強度は、570keV  $\gamma$  線との相対強度の実験値を使って求めたが、余り良い精度は得られなかった。

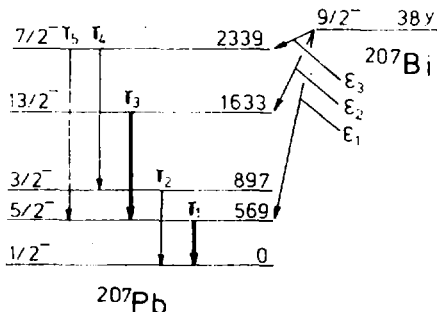
Fig. 19.1 Decay scheme of  $^{207}\text{Bi}$ 

Table 19.1 Experimental values of relative intensities

Gamma ray	Energy (keV)	Alburger Sunyar 55Al26	Monahan 61Mo09	Donnelly et al. 67Do09	Hedin Backlin 69He19	Rao et al. 69Ra13
$\gamma_1$	569.7	100	100	100	100 ± 2.0	100
$\gamma_2$	897.3	0.16				0.150 ± 0.015
$\gamma_3$	1064	87	76 ± 6	78.4 ± 2.4	74.0 ± 2.0	78.7 ± 4.0
$\gamma_4$	1442	0.16				0.150 ± 0.015
$\gamma_5$	1770	8		7.07 ± 0.35		7.5 ± 0.4

Table 19.2 Average values of relative intensities<sup>a)</sup>

Gamma ray	Energy (keV)	$w = 1/\varepsilon^2$				$w = 1$			
		Average value	Error		Average value	Error			
			Int.	Ext.		Int.	Ext.		
$\gamma_1$	569.7	100.0			100.0				
$\gamma_3$	1064	76.8	1.6	1.2	76.8*	2.0*	1.1		

a) The weight for 55Al26 is taken to be zero. Relative intensities of the 569 keV and 1064 keV gamma rays by Hedin et al. (69He19) are estimated to be 100 and  $74.2 \pm 2.8$ , respectively.

Table 19.3 Experimental values of  $K$ -conversion coefficients

Gamma-ray energy (keV)	$\alpha_K \times 10^8$						
	Alburger Sunyar 55Al26	Kleinheinz et al. 67Kl02	Nooijen Krugten 67Va25	Sen Rizvi 67Se15	Anderson Christensen 68An04	Baldinger Hallen 69Ba53	Hedin Backlin 69He19
569.7		1.56 $\pm$ 0.07	1.59 $\pm$ 0.06	1.6 $\pm$ 0.1	1.56 $\pm$ 0.05	1.5 $\pm$ 0.3	1.55 $\pm$ 0.05
897		2.4 $\pm$ 1					
1064			9.0 $\pm$ 0.9		8.5 $\pm$ 0.5	8.40 $\pm$ 0.5*	9.5 $\pm$ 1.4
1442		$(5 \pm 2)$ $\times 10^{-1}$					
1770		$(2.5 \pm 0.5)$ $\times 10^{-1}$					

a) The error is estimated by us.

Table 19.4 Experimental values of  $K/L$  ratios and total conversion coefficients

Gamma-ray energy (keV)	$K/L$			$\alpha$	
	Sen Rizvi 67Se15	Anderson Christensen 68An04	Baldinger Hallen 69Ba53	Anderson Christensen 68An04	Anderson Christensen 68An04
569.7	3.26 $\pm$ 0.09	3.45 $\pm$ 0.35	3.00 $\pm$ 0.15	0.0219 $\pm$ 0.0003*	
1064	3.64 $\pm$ 0.10		3.20 $\pm$ 0.15	0.1085	

Table 19.5 Average values of  $K$ -conversion coefficients in the unit of  $10^{-8}$ 

Gamma-ray energy (keV)	Average value	$w = 1/\varepsilon^2$		$w = 1$	
		Int.	Ext.	Average value	Error
569.7	1.57	0.03	0.01	1.56	0.06
1064	8.57	0.32	0.17	8.85	0.90

Table 19.6 Theoretical values of internal conversion coefficients

Item		Value	
Atomic number	Z	82	
Energy (keV)	569.67		1063.62
Multipolarity	E2		M4
Conversion coefficients	$\alpha_K$ $\alpha_{L1}$ $\alpha_{L2}$ $\alpha_{L3}$ $\alpha_L$ $K/L$ $MNO/L$ $\alpha$	1.58(-2) 2.34(-3) 1.57(-3) 5.42(-4) 4.45(-3) 3.55 0.33 2.17(-2)	9.70(-2) 1.89(-2) 3.84(-3) 1.72(-3) 2.45(-2) 3.96 0.33 1.30(-1)
Gamma branch	$1/(1+\alpha)$	0.979	0.885

Table 19.7 Evaluation of intensities per decay

Item	Value	Reference
$\gamma_2^+$	0.150 $\pm$ 0.015%	69Ra13
$\gamma_3^+$ (Adopted)	76.8 $\pm$ 2.0%	
$\alpha_1$	0.0219 $\pm$ 0.0003	68An04
$\gamma_1$	97.71 $\pm$ 0.03% <sup>a)</sup>	
$\gamma_3$	75.0 $\pm$ 2.0% <sup>b)</sup>	

a)  $\gamma_1 = 1/(1 + \alpha_1 + \gamma_2^+)$ b) Obtained from the relative intensity  $\gamma_3^+$ .

## References

- 55Al26 D. E. Alburger and A. W. Sunyar, Phys. Rev. 99 (1955) 695  
 59Mi19 C. H. Millar, T. A. Eastwood and J. C. Roy, Can. J. Phys. 37 (1959) 1126  
 61Mo09 J. E. Monahan, S. Raboy and C. C. Trail, Phys. Rev. 123 (1961) 1373  
 67Do09 D. P. Donnelly, H. W. Baer, J. J. Reidy and M. L. Wiedenbeck, Nucl. Instr. and Meth. 57 (1967) 219  
 67Kl02 P. Kleinheinz, R. Vukanović, L. Samuelsson, D. Krmpotić, H. Lindström and K. Siegbahn, Nucl. Phys. A93 (1967) 63  
 67Va25 B. Van Nooijen and H. Van Krugten, Phys. Lett. 25B (1967) 510  
 67Se15 S. K. Sen and S. I. H. Rizvi, Nucl. Instr. and Meth. 57 (1967) 227  
 68An04 V. Anderson and C. J. Christensen, Nucl. Phys. A113 (1968) 81  
 69Ba53 E. Baldinger and E. Haller, Helv. Phys. Acta. 42 (1969) 949  
 69He19 G. Hedin and A. Backlin, Ark. Fys. 38 (1969) 593  
 69Ra13 P. V. Rao, R. E. Wood, J. M. Palms and R. W. Fink, Phys. Rev. 178 (1968) 1997

## 付録 A. 半減期

1次標準に使用する8種類の核種<sup>22</sup>Na, <sup>46</sup>Sc, <sup>54</sup>Mn, <sup>60</sup>Co, <sup>85</sup>Sr, <sup>88</sup>Y, <sup>134</sup>Cs, <sup>203</sup>Hg の半減期に関する文献を調査し、半減期の評価値を求めた。半減期の表には、測定期間、生成核反応、化学分離と同位体分離の有無、測定方法をしめした。なお、表中の記号の意味は、下記のとおりである。

chem	Chemical separation
mass	Mass separation
ic	Ionization counter
pc	Proportional counter
GM	Geiger-Müller counter
scin	Scintillation counter

Table A.1 Half-life of <sup>22</sup>Na

Author	Half-life (y)	No. $T_{1/2}$ followed	Production, Separation	Method	Ref.	
Wyatt et al.	2.62 ± 0.2	1.5	Mg( $n, \alpha$ )	chem	ic	61Wy01
Anspach et al.	2.602 ± 0.011*	0.5			$4\pi\gamma$ ic	65An07
Anspach et al.	2.603 ± 0.001*	1.2			$4\pi\gamma$ ic	65An07
Anspach et al.	2.613 ± 0.011*	0.5			$4\pi\gamma$ ic	65An07
Anspach et al.	2.591 ± 0.003*	2.6			$4\pi\gamma$ ic	65An07
Endt et al.	2.602 ± 0.002		61Wy01, 65An07			73En

Table A.2 Evaluation for the half-life of <sup>22</sup>Na

Weight	Average (y)	Error (y)	
		Int.	Ext.
1	2.602	0.004	0.004
$1/\varepsilon^2$	2.602*	0.001	0.002*

Table A.3 Half-life of <sup>46</sup>Sc

Author	Half-life (d)	No. $T_{1/2}$ followed	Production, Separation	Method	Ref.	
Schuman et al.	84.1 ± 0.3*	8	( <sup>46</sup> Ti( $n, p$ ))	chem	pc	56Sc87
Geiger	83.89 ± 0.12*		( <sup>45</sup> Sc( $n, \gamma$ ))		ic	57Ge07
Wright et al.	84.2 ± 0.2*	3.8	( <sup>45</sup> Sc( $n, \gamma$ ))		ic	57Wr37
Hontzeas et al.	84.0 ± 0.9*		( <sup>51</sup> V( $\leq 84$ MeV/p))	chem		63Ho17
Anspach et al.	83.80 ± 0.03*	2.8			$4\pi\gamma$ ic	65An07

Table A.4 Evaluation for the half-life of <sup>46</sup>Sc

Weight	Average (d)	Error (d)	
		Int.	Ext.
1	84.00	0.19	0.07
$1/\varepsilon^2$	83.82*	0.03	0.03*

Table A.5 Half-life of  $^{54}\text{Mn}$ 

Author	Half-life (d)	No. $T_{1/2}$ followed	Production, Separation	Method	Ref.	
Wyatt et al.	313.5 $\pm$ 0.7	2.0	$^{54}\text{Fe}(n, p)$	chem	ic	61Wy01
Anspach et al.	311.9 $\pm$ 0.2	1.5	$^{54}\text{Fe}(n, p)$	chem	$4\pi\gamma$ ic	65An07
Taylor et al.	312.4 $\pm$ 0.6*			chem	ic	65Ta10
Boulanger	312.2 $\pm$ 0.6*	1.3				66Bo33
Anspach et al.	312.1 $\pm$ 0.3*	2.4	$^{54}\text{Fe}(n, p)$	chem	ic	68An01
Lagoutine et al.	312.2 $\pm$ 0.9**	1.3	$^{54}\text{Cr}(d, n)$	chem	ic pc scin $\gamma$	68La10
Zimmer et al.	312.99 $\pm$ 0.10**	6.2	$^{54}\text{Fe}(n, p)$	chem	scin $\gamma$	68Zi01
Martin et al.	312.5 $\pm$ 0.5		61Wy01, 65An07, 65Ta10, 68An01, 68La10, 68Zi01			70MaB1

a) The uncertainty means the 99.7% confidence level.

b) The uncertainty means the 95% confidence level.

Table A.6 Evaluation for the half-life of  $^{54}\text{Mn}$ 

Weight	Average (d)	Error (d)	
		Int.	Ext.
1	312.38*	0.16	0.18*
$1/\epsilon^2$	312.94	0.10	0.05

Table A.7 Half-life of  $^{60}\text{Co}$ 

Author	Half-life (y)	No. $T_{1/2}$ followed	Production, Separation	Method	Ref.
Tobailem	5.27 $\pm$ 0.07	0.02		ic	51To25
Kastner et al.	5.21 $\pm$ 0.04			ic	53Ka21
Evans	5.28 $\pm$ 0.03	1.0		ic	56Ev18
Lockett et al.	5.20 $\pm$ 0.03			electroscope	56Lo31
Perry et al.	5.25 $\pm$ 0.04	1.2		ic	56Pe52
Geiger	5.24 $\pm$ 0.03	1.2	$^{59}\text{Co}(n, \gamma)$	ic	57Ge07
Brosi et al.	5.29 $\pm$ 0.03	0.2			58Bi92
Keene et al.	5.33 $\pm$ 0.04	0.23	$^{59}\text{Co}(n, \gamma)$	ic	58Ke26
Loftus et al.	5.29 $\pm$ 0.02		$^{59}\text{Co}(n, \gamma)$	electroscope	58Lo61
Seliger et al.	5.26 $\pm$ 0.03				58Se53
Gorbics et al.	5.263 $\pm$ 0.003	0.61		ic	63Go03
Anspach et al.	5.242 $\pm$ 0.008	1		$4\pi\gamma$ ic	65An07
Anspach et al.	5.259 $\pm$ 0.003	1.0	$^{59}\text{Co}(n, \gamma)$	ic	68An01
Lagoutine et al.	5.27 $\pm$ 0.02		$^{59}\text{Co}(n, \gamma)$	ic pc scin $\gamma$	68La10
Merritt et al.	5.297 $\pm$ 0.008			$4\pi\gamma$ ic	69Me
Walz et al.	5.2719 $\pm$ 0.0011				70Wa19
Rytz	5.270 $\pm$ 0.003				73Ry
Martin et al.	5.26 $\pm$ 0.01		51To25, 53Ka21, 56Ev18, 56Lo31, 56Pe52, 57Ge07, 58Bi92, 58Ke26, 58Lo61, 58Se53, 63Go03, 68An01, 68La10		70MaB1
Grinberg et al.	5.2721 $\pm$ 0.0024**		68La10, 69Me, 70Wa19, 73Ry		74Gr

a) This value is adopted.

Table A.8 Half-life of  $^{85}\text{Sr}$ 

Author	Half-life (d)	No. $T_{1/2}$ followed	Production, Separation	Method	Ref.
Herrmann et al.	65.0 $\pm$ 0.7		$\text{U}(n, f)$	chem	56He77
Wright et al.	64.0 $\pm$ 0.2	3.3	$^{84}\text{Sr}(n, \gamma)$	chem	57Wr37
Sattler	63.90 $\pm$ 0.27	4	$^{84}\text{Sr}(n, \gamma)$	scin $\gamma$	62Sa12
Anspach et al.	65.19 $\pm$ 0.13*	1.4	$\text{Sr}(n, \gamma)$	$4\pi\gamma$ ic	65An07
Gleason	64.93 $\pm$ 0.22*			scin $\gamma$	67Gl05
Grotheer et al.	66.6 $\pm$ 0.6	0.8		scin $\gamma$	69Gr12
Lagoutine et al.	64.68 $\pm$ 0.23*	3	$^{84}\text{Sr}(n, \gamma)$	pc	72La14
Martin et al.	64.5 $\pm$ 0.5		56He77, 57Wr37, 62Sa12, 65An07, 67Gl05		70MaB1

Table A.9 Evaluation for the half-life of  $^{85}\text{Sr}$ 

Weight	Average (d)	Error (d)	
		Int.	Ext.
1	64.93*	0.11	0.15*
$1/\varepsilon^2$	65.04	0.10	0.14

Table A.10 Half-life of  $^{89}\text{Y}$ 

Author	Half-life (d)	No. $T_{1/2}$ followed	Production, Separation	Method	Ref.
Wyatt et al.	108.1 $\pm$ 0.3	3.1	$\text{Sr}(p, n)$	chem	61Wy01
Anspach et al.	106.52 $\pm$ 0.03	2.6	$\text{Sr}(p, n)$	chem	65An07
Anspach et al.	106.67 $\pm$ 0.03	2.7	$\text{Sr}(p, n)$	$4\pi\gamma$ ic	65An07
Anspach et al.	106.61 $\pm$ 0.02 <sup>a)</sup>	4.3	$\text{Sr}(p, n)$	$4\pi\gamma$ ic	68An01
Grotheer et al.	108.4 $\pm$ 0.9	0.5		scin $\gamma$	69Gr12
Martin et al.	107 $\pm$ 1		61Wy01, 65An07, 68An01		70MaB1
Bunting et al.	106.60 $\pm$ 0.04		65An07, 68An01		76Bu

a) This value is adopted.

Table A.11 Half-life of  $^{134}\text{Cs}$ 

Author	Half-life (y)	No. $T_{1/2}$ followed	Production, Separation	Method	Ref.
Merritt et al.	2.19 $\pm$ 0.02	2.3	Cs( $n, \gamma$ )	$4\pi$ pc	57Me
Geiger	2.07 $\pm$ 0.02			ic	57Ge07
Bayly	2.15 $\pm$ 0.08 — 0.04		Cs( $n, \gamma$ )		58Ba
Edwards	2.26 $\pm$ 0.05	3	Cs( $n, \gamma$ )	mass-spect.	58Ed
Easterday et al.	2.05 $\pm$ 0.02			ic	60Ea
Wyatt	2.07 $\pm$ 0.02			ic	61Wy01
Dietz et al.	2.046 $\pm$ 0.004				63Di
Flynn	1.99 $\pm$ 0.02			pc	65Fl02
Lagoutine et al.	2.058 $\pm$ 0.012	1.5	$^{133}\text{Cs}(n, \gamma)$	$4\pi\beta$ pc	72La14
	2.05 $\pm$ 0.02				73IA
Dietz et al.	2.062 $\pm$ 0.005*	4.9	mass chem	ion-counting	73Di01
Hashizume et al.	2.056 $\pm$ 0.008		57Me, 57Ge07, 58Ba, 58Ed, 60Ea, 61Wy01, 65Fl02, 72La14, 73IA, 73Di01		73Ha

a) This value is adopted. The uncertainty means the 99 % confidence level.

Table A.12 Half-life of  $^{203}\text{Hg}$ 

Author	Half-life (d)	No. $T_{1/2}$ followed	Production, Separation	Method	Ref.
Wilson et al.	45.9 $\pm$ 0.2	2	Hg( $n, \gamma$ )	pc	51Wi22
Cork et al.	47.9 $\pm$ 0.2	1	$^{202}\text{Hg}(n, \gamma)$		52Co01
Eichholz et al.	46.91 $\pm$ 0.14	5	Hg( $n, \gamma$ )	ic	56Ei14
Thiry	47.1 $\pm$ 0.2	3	Hg( $n, \gamma$ )	GM	57Th11
Wright et al.	45.4 $\pm$ 0.5	4	Hg( $n, \gamma$ )	chem	57Wr37
Cali et al.	47.2 $\pm$ 0.7	2~6	Hg( $n, \gamma$ )	pc	59Ca12
Taylor	46.8 $\pm$ 0.2*	2	$^{202}\text{Hg}(n, \gamma)$	scin $\gamma$ pc $\beta$	62Ta06
Anspach et al.	46.56 $\pm$ 0.02	4.8	Hg( $n, \gamma$ )	chem	65An07
Anspach et al.	46.577 $\pm$ 0.008	5.1	Hg( $n, \gamma$ )	chem	65An07
Gleason	46.64 $\pm$ 0.27*	2		scin $\gamma$	67Gl05
Anspach et al.	46.600 $\pm$ 0.010*	3	Hg( $n, \gamma$ )	chem	68An01
Lagoutine et al.	47.0 $\pm$ 0.1		Hg( $n, \gamma$ )	ic pc scin $\gamma$	68La10
Martin et al.	46.59 $\pm$ 0.05		51Wi22, 52Co01, 56Ei14, 57Th11, 57Wr37, 59Ca12, 62Ta06, 65An07, 67Gl05, 68An01, 68La10		70Ma01

Table A.13 Evaluation for the half-life of  $^{203}\text{Hg}$ 

Weight	Average (d)	Error (d)	
		Int.	Ext.
1	46.68*	0.11*	0.06
$1/\epsilon^2$	46.601	0.010	0.007

Table A.14 Adopted values of half-lives

Nuclide	Half-life
$^{23}\text{Na}$	$2.602 \pm 0.002$ y
$^{46}\text{Sc}$	$83.82 \pm 0.03$ d
$^{54}\text{Mn}$	$312.38 \pm 0.18$ d
$^{60}\text{Co}$	$5.2721 \pm 0.0024$ y
$^{85}\text{Sr}$	$64.93 \pm 0.15$ d
$^{89}\text{Y}$	$106.61 \pm 0.02$ d
$^{134}\text{Cs}$	$2.062 \pm 0.005$ y
$^{203}\text{Hg}$	$46.68 \pm 0.11$ d

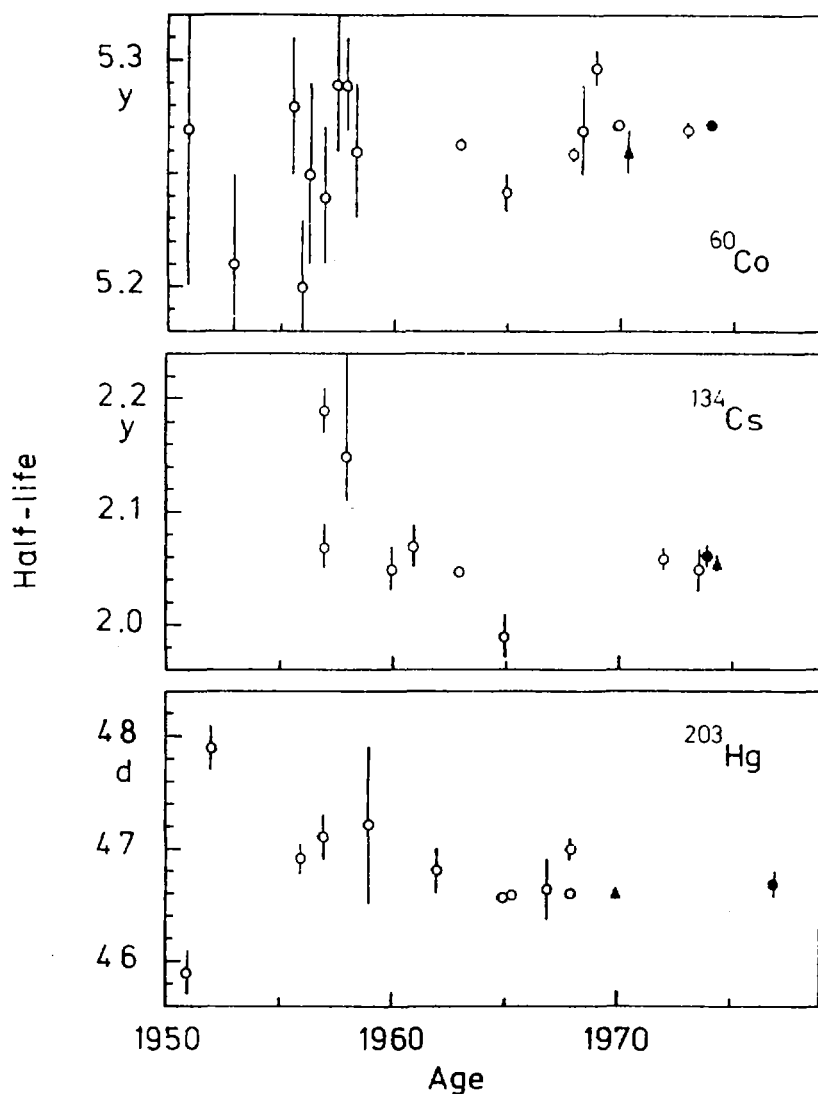


Fig. A.1 Comparison of half-lives. Solid circles and triangles indicate the adopted and evaluated values, respectively.

## References

- 51Ne02 H. M. Neumann and I. Perlman, Phys. Rev. 81 (1951) 958  
 51To25 J. Tobeilem, Comp. rend. 233 (1951) 1360  
 51Wi22 H. W. Wilson and S. C. Curran, Phil. Mag. 42 (1951) 762  
 52Co01 J. M. Cork, D. W. Martin, J. M. LeBlanc and C. E. Branyan, Phys. Rev. 85 (1952) 386  
 53Ka21 J. Kastner and G. N. Whyte, Phys. Rev. 91 (1953) 332  
 56Ei14 G. G. Eichholz and J. V. Krzyzewski, Can. J. Phys. 34 (1956) 1167  
 56Ev18 R. D. Evans, Priv. Comm. (1956)  
 56He77 G. Herrmann and F. Strassmann, Z. Naturforsch. 11a (1956) 946  
 56Lo31 E. E. Lockett and R. H. Thomas, Nucleonics 14, No. 11 (1956) 127  
 56Pe52 W. E. Perry and J. W. Dale, Quoted by 56Lo31  
 56Sc87 R. P. Schuman, M. E. Jones and A. C. Mewherter, J. Inorg. Nucl. Chem. 3 (1956) 160  
 57Ge07 K. W. Geiger, Phys. Rev. 105 (1957) 1539  
 57Me W. F. Merritt et al., Can. J. Phys. 35 (1957) 16  
 57Th11 H. Thiry, Bull. soc. roy. sci. Liege 26 (1957) 29  
 57Wr37 H. W. Wright, E. I. Wyatt, S. A. Reynolds, W. S. Lyon and T. H. Handley, Nucl. Sci. and Eng. 2 (1957) 427  
 58Ba J. G. Bayly, J. Inorg. Nucl. Chem. 5 (1958) 259  
 58Bi92 A. R. Brosi and B. H. Ketelle, Priv. Comm. (1958)  
 58Ed J. E. Edwrds, J. Inorg. Nucl. Chem. 7 (1958) 336  
 58Ke26 J. P. Keene, L. A. Mackenzie and C. W. Gilbert, Phys. In Med. Biol. 2 (1958) 360  
 58Lo61 T. P. Loftus and R. M. Lee, Priv. Comm. (January 1958)  
 58Se53 H. H. Seliger and L. M. Cavallo, Priv. Comm. (January 1958)  
 59Ca12 J. P. Cali and L. F. Lowe, Nucleonics 17, No. 10 (1959) 86  
 59Ha20 G. Harbottle, J. Inorg. Nucl. Chem. 12 (1959) 6  
 59So12 J. Sosniak and R. E. Bell, Can. J. Phys. 37 (1959) 1  
 60Ea H. T. Easterday et al., Nucl. Phys. 20 (1960) 155  
 61Ap01 E. H. Appelman, Phys. Rev. 121 (1961) 253  
 61Wy01 E. I. Wyatt, S. A. Reynolds, T. H. Handley, W. S. Lyon and H. A. Parker, Nucl. Sci. and Eng. 11 (1961) 74  
 62Sa12 A. R. Sattler, Phys. Rev. 127 (1962) 854  
 62Ta06 J. G. V. Taylor, Can. J. Phys. 40 (1962) 383  
 63Di L. A. Dietz, C. F. Pachucki and G. A. Land, Analyt. Chem. 35 (1963) 797  
 63Ho17 S. Hontzeas and L. Yaffe, Can. J. Chem. 41 (1963) 2194  
 63Go03 S. G. Gorbics, W. E. Kunz and A. E. Nash, Nucleonics 21, No. 1 (1963) 63  
 65An07 S. C. Anspach, L. M. Cavallo, S. B. Garfinkel, J. M. R. Hutchinson and C. N. Smith, Natl. Bur. Stand. Misc. Publ. 260-9 (1965)  
 65Fl02 K. F. Flynn, L. E. Glendenin and E. P. Steinberg, Nucl. Sci. and Eng. 22 (1965) 416  
 65Ta10 J. G. V. Taylor and J. S. Merritt, AECL 250 (1965) 26  
 66Bo33 J. P. Boulanger, CEA-R-2991 (1966); UCRL-Trans-10293 (1968)  
 67Gl05 G. I. Gleason, Priv. Comm. (December 1967)  
 68An01 S. C. Anspach, L. M. Cavallo, S. B. Garfinkel, J. M. R. Hutchinson and C. N. Smith, Priv. Comm. (January 1968)  
 68La10 F. Lagoutine, Y. Le Gallic and J. Legrand, Int. J. Appl. Rad. Iso. 19 (1968) 475  
 68Zi01 W. H. Zimmer and R. E. Dahl, Nucl. Sci. and Eng. 32 (1968) 132  
 69Gr12 J. H. Grotheer, J. W. Hammer and K. W. Hoffmann, Z. Physik 225 (1969) 293  
 69Me J. S. Merritt and J. G. V. Taylor, — AECL — 3333 (1969) 32  
 70MaB1 M. J. Martin and P. H. Blichert, Nucl. Data Tables A8 (1970) 149  
 70Wa19 K. F. Walz and H. M. Weiss, Z. Naturforsch. 25a (1970) 921  
 72La14 F. Lagoutine, J. Legrand, C. Perrot, J. P. Brethon and J. Morel, Int. J. Appl. Radiat. Isotop.

- 23 (1972) 219
- 73Di01 L. A. Dietz and C. F. Pachucki, J. Inorg. Nucl. Chem. 35 (1973) 1769
- 73En P. M. Endt and C. Vander Leun, Nucl. Phys. 214 (1973) 42
- 73Ha A. Hashizume and H. Kawakami,
- 73Ry A. Rytz, Procès verbaux des séances du Comité International des Poids et Mesures (1973) 40
- 73IA IAEA/SM-170/12
- 74Gr B. Grinberg, J. P. Brethon, F. Lagoutine, Y. Le Gallic, J. Legrand, A. H. Wapstra, H. M. Weiss, W. Bambynek, E. De Roost, H. H. Hansen and A. Sernol, Atomic Energy Journal (1974) 516
- 76Bu R. L. Bunting and J. J. Kraushaar, Nucl. Data Sheets 18 (1976) 87

(株) 高野高速印刷納